



შპს „ლისი ლეიქ დეველოპმენტი“

ქ. თბილისში, ლისის ტბის მიმდებარედ არსებული
მიწის ნაკვეთების განაშენიანების პროექტის

სკრინინგის ანგარიში



საკონსულტაციო კომპანია: შპს „ტასპაბი“

სარჩევი

შესავალი	4
1 პროექტის აღწერა	5
1.1 წყლით, ელ. ენერგიით და ბუნებრივი აირით მომარავება.....	11
1.2 სამშენებლო სამუშაოები	11
1.3 დასაქმება და სამუშაო გრაფიკი.....	12
2 ტერიტორიის ფონური მდგომარეობა და დაგეგმილი საქმიანობით მოსალოდნელი ზემოქმედების შეფასება.....	13
2.1 ზემოქმედება ატმოსფერულ ჰაერზე	14
2.1.1 ატმოსფერული ჰაერის დაბინძურების მდგომარეობა	14
2.1.2 ემისია საგზაო-სამშენებლო მანქანის (ექსკავატორი) მუშაობისას	15
2.1.3 ემისია საგზაო-სამშენებლო მანქანის (ბულდოზერი) მუშაობისას	18
2.1.4 ემისია საგზაო-სამშენებლო მანქანის (ავტო თვითმცლელების) მუშაობისას	20
2.1.5 ემისია შედევრების სამუშაოებიდან	22
2.1.6 ემისია ინერტული მასალის (ნიადაგი, ინერტული მასალა) შენახვისას.	26
2.2 ხმაურის გავრცელებით მოსალოდნელი ზემოქმედება	27
2.3 ზემოქმედება წყლის გარემოზე	27
2.4 ზემოქმედება ნიადაგის ნაყოფირ ფენაზე და გრუნტზე	27
2.5 ზემოქმედება გეოლოგიურ გარემოზე.....	28
2.5.1 გეომორფოლოგიური პირობები	28
2.5.2 გეოლოგიური აგებულება	28
2.5.3 ტექტონიკა და სეისმურობა	31
2.6 ჰიდროგეოლოგიური პირობები	31
2.6.1 საკვლევი ტერიტორიის დარაიონება გეოლოგიური საფრთხეების გათვალისწინებით	32
2.6.2 სამშენებლო მოედნის ამგები ქანების საინჟინრო გეოლოგიური დახასიათება	38
2.7 ბიოლოგიური გარემო	49
2.7.1 ფლორა	49
2.7.2 ფაუნა	52
2.8 ნარჩენების მართვით მოსალოდნელი ზემოქმედება	55
2.9 ზემოქმედება სოციალურ-ეკონომიკურ გარემოზე	55
2.10 ვიზუალურ-ლანდშაფტური ზემოქმედება	56
2.11 ზემოქმედება სატრანსპორტო ნაკადებზე.....	56
2.12 კუმულაციური ზემოქმედება	56
3 დანართები.....	58
3.1 დანართი 1 საკვლევი ტერიტორიის ფერდობების ექსპოზიციის რუკა.....	58
3.2 დანართი 2 ფერდობის დახრილობის რუკა.....	59
3.3 დანართი 3 კლდოვანი ქანის მასის რეიტინგი და ხარისხი; RMR; Q	60
3.4 დანართი 4. ვარდების დიაგრამა	72
3.5 დანართი 5. ჭაბურღილები	84
3.6 დანართი 6. შეთანხმება სს „თელასთან“	101
3.7 დანართი 7. შეთანხმება შპს „თბილის ენერჯისთან“	102
3.8 დანართი 8. შეთანხმება შპს „ჯორჯიან უოთერ ენდ ფაუნდი“-სთან	103

ცხრილები

ცხრილი 1 საკონსულტაციო და საქმიანობის განმახორციელებელი კომპანიების შესახებ ინფორმაცია	4
ცხრილი 2 ტერიტორიის GPS კოორდინატები	6
ცხრილი 3 ზემოქმედების განხილვიდან ამოღებული საკითხები.....	13
ცხრილი 4 დამაბინძურებელ ნივთიერებათა ემისიის რაოდენობრივი და თვისობრივი მახასიათებლები საგზაო-სამშენებლო მანქანებიდან.....	15
ცხრილი 5 გაანგარიშების საწყისი მონაცემები.....	16
ცხრილი 6 დამაბინძურებელ ნივთიერებათა კუთრი ემისია საგზაო-სამშენებლო მანქანების მუშაობისას, გ/წთ.	17
ცხრილი 7 დამაბინძურებელ ნივთიერებათა კუთრი ემისია საგზაო-სამშენებლო მანქანების მუშაობისას, გ/წთ	19
ცხრილი 8: დამაბინძურებელ ნივთიერებათა ემისიის რაოდენობრივი და თვისობრივი მახასიათებლები ავტოდამტვირთველიდან, ტერიტორიაზე გამოსვლა-შესვლისას	20
ცხრილი 9 დამაბინძურებელ ნივთიერებათა გამოყოფის რაოდენობრივი და თვისობრივი მახასიათებლები.....	22
ცხრილი 10 საწყისი მონაცემები გამოყოფის გაანგარიშები.....	23
ცხრილი 11 ტაქსაციის შედეგები.....	52

რუკები

რუკა 1 საკვლევი ტერიტორიის გეოლოგიური რუკა	30
რუკა 2 სეისმური საშიშროების რუკა	31
რუკა 3 გეოლოგიური საფრთხეების ზონირების რუკა.....	36
რუკა 4 საქართველოს ბოტანიკურ-გეოგრაფიული დარაიონების რუკა	49

ნახაზები

ნახაზი 1 სიტუაციური სქემა	7
ნახაზი 2 საპროექტო ტერიტორიის გეგმა	9
ნახაზი 3 სატრანსპორტო სქემა	10
ნახაზი 4 რისკის ზონები ფართობულად და პროცენტულად	37
ნახაზი 5 გეოლოგიური ჭაბურღილების და ჭრილების მდებარეობა	41
ნახაზი 6 ჭრილები.....	42

სურათები

სურათი 1 საცხოვრებელი სახლების ზოგადი გეგმები.....	8
სურათი 2 საპროექტო ტერიტორიის ზოგადი ხედები	34
სურათი 3 გრუნტის ნორმატიული მაჩვენებლები.....	40

შესავალი

დაგეგმილი საქმიანობა გულისხმობს ქ. თბილისში, ლისის ტბის მიმდებარედ არსებული მიწის ნაკვეთების განაშენიანების პროექტის გახორციელებას, რომლის საერთო ფართიც არის 15,8 ჰა მ². წინამდებარე დოკუმენტი წარმოადგენს დაგეგმილი საქმიანობის შესახებ მომზადებულ სკრინინგის ანგარიშს.

საქართველოს კანონის „გარემოსდაცვითი შეფასების კოდექსი“-ს მე-2 დანართის 9.2 პუნქტით გათვალიწინებული საქმიანობას (10 ჰექტარზე მეტი განაშენიანების ფართობის მქონე ურბანული განვითარების პროექტი (მათ შორის, სავაჭრო ცენტრისა და 1 000 ავტომობილის ტევადობის ავტოპარკის მოწყობა) სკრინინგის პროცედურას დაქვემდებარებულ საქმიანობად მიიჩნევა.

დაგეგმილ საქმიანობას ახორციელებს შპს „ლისი ლეიქ დეველოპმენტი“. წინამდებარე სკრინინგის ანგარიში მომზადებულია შპს „ტასკაბი“-ს მიერ. კონსულტანტის და საქმიანობის განმახორციელებლის

ცხრილი 1 საკონსულტაციო და საქმიანობის განმახორციელებელი კომპანიების შესახებ ინფომრაცია

N	დოკუმენტის სახე	სკრინინგის ანგარიში
1.	საქმიანობის სახე	განაშენიანების პროექტი
2.	საქმიანობის განხორციელების ადგილი	ქ. თბილისი, ლისის ტბის მიმდებარედ
3.	კონსულტანტის შესახებ ინფორმაცია	შპს „ტასკაბი“
4.	საიდენტიფიკაციო კოდი	406265410
5.	დირექტორი	სერგო გიორგაია
6.	ელექტრონული ფოსტა	giorgaiasergi@gmail.com
7.	ტელეფონის ნომერი	593 49 71 71
8.	კომპანიის იურიდიული მისამართი	საქართველო, თბილისი, სამგორის რაიონი, ს. წინუბანი, მერი მდივანის ქ., N 2
9.	საქმიანობის განმახორციელებლის შესახებ ინფორმაცია	შპს „ლისი ლეიქ დეველოპმენტი“.
10.	საკონტაქტო პირი	გივი ლაფაჩიშვილი
11.	ტელეფონის ნომერი	593 56 08 66
12.	ელექტრონული ფოსტა	givi@lisi.ge
13.	კომპანიის საიდენტიფიკაციო ნომერი	404857534
14.	კომპანიის იურიდიული მისამართი	საქართველო, თბილისი, ვაკის რაიონი, ტირიფების ქ., N2, კომერციული ფართი, N1

1 პროექტის აღწერა

საპროექტო ტერიტორია მდებარეობს ქ. თბილისში, ლისის ტბის მიმდებარედ არსებული მიწის ნაკვეთების საპროექტო არეალის ფართობი შეადგენს 15,8 ჰა-ს (აღნიშნული ფართის კორექტირება მოხდება 01.10.18.007.007; 01.10.18.005.062 საკადასტრო კოდების ფარგლებში).

განსახილველი ტერიტორია, როგორც აღინიშნა მდებარეობს ქ. თბილისში ლისის ტბის მიმდებარედ, უახლოესი მჭიდროდ დაახლოებული პუნქტი ვაშლიჯვარი მდებარეობს ჩრდილო ნაწილში, მდ. მტკვარი დაშორებულია დაახლოებით 1700 მ-ით, ხოლო ლისის ტბა დაახლოებით 1100 მ-ით (ტერიტორიის სიტუაციური სქემა და გეგმები მოცემულია ნახაზზე 1).

საპროექტო არეალი განთავსებულია ქალაქის პერიფერიულ ნაწილში, იგი უზრუნველყოფილია სამანქანო გზებით, საინჟინრო ინფრასტრუქტურით. ტერიტორია წარმოადგენს მაჭავარიანისა და ლისის ქუჩებიდან დაწყებული მაღალი კლასის განაშენიანების, „მწვანე ქალაქი ლისი“ და ახალი საცხოვრებელი უბანის პირველი და მეორე ეტაპი ლოგიკურ გაგრძელებას, რომელიც გულისხმობს 80/20 პრინციპს, სადაც მთლიანი ტერიტორიის 80% დათმობილია გამწვანებისათვის და ღია სივრცისათვის, ხოლო მთლიანი ტერიტორიის მხოლოდ 20 %-ზე მოხდება განაშენიანება. დაცულია სივრცით გეგმარებითი სტრუქტურა და კონცეფცია, რომელიც ჩამოყალიბებულია დამტკიცებული განაშენიანების რეგულირების გეგმების მიხედვით.

საპროექტო ინდივიდუალური ერთბინიანი სახლების კომპლექსი შედგება 84 სამშენებლო მიწის ნაკვეთისაგან და 6 ნაკვეთი გამოყოფილია სრულყოფილი საავტომობილო და საფეხმავლო ინფრასტრუქტურისათვის, ხოლო ერთი ნაკვეთი, რომელიც გამოყოფილია ტერიტორიაზე არსებული საინჟინრო კომუნიკაციისათვის (გაზის მილი) წარმოადგენს არასამშენებლოს მიწის ნაკვეთს.

სამშენებლო მიწის ნაკვეთები დაყოფილია ხუთ ძირითად ჯგუფად:

- 1 200 კვადრატულ მეტრამდე - (27 ნაკვეთი)
- 1 200-დან 1 600 კვადრატულ მეტრამდე - (42 ნაკვეთი)
- 1 600-დან 2 000 კვადრატულ მეტრამდე - (9 ნაკვეთი)
- 2 000-დან 2 400 კვადრატულ მეტრამდე - (2 ნაკვეთი)
- 2 400-დან კვადრატულ მეტრიდან ზევით - (4 ნაკვეთი)

ავტოსადგომების რაოდენობა დაანგარიშებულია ერთ საცხოვრებელ ერთეულზე 2 კერძო ავტოსადგომი, ხოლო საზოგადოებრივ სივრცეში გზის გასწვრივ მოეწყობა ავტოსადგომები ერთ საცხოვრებელ ერთეულზე 3 ღია ავტოსადგომი. რაოდენობა ასევე პასუხობს დღევანდელი ნორმით (14-39) განსაზღვრულ, პერიფერიული ზონის შესაბამისს - 1 ადგილი ყოველ 180 მ² - კ²-ზე. საპროექტო ტერიტორიაზე მოეწყობა შიდა გზები, რომელთაგან მთავარი გზა იქნება ორმხრივი მოძრაობის. გზების ორივე მხარეს გათვალისწინებულია ტროტუარების მოწყობა. პროექტით გათვალისწინებულია გზის გარშემო ხეივნის მოწყობა და ხეების დარგვა. პროექტის მთავარი ამოცანა არის ახალი კომფორტული, მაღალი ხარისხის გამწვანებული საცხოვრებელი განაშენიანების შექმნა.

საპროექტო არეალი არის ლოგიკური გაგრძელება ახალი საცხოვრებელი კომპლექსის ლისი ვილას შეთანხმებული გრგ AR1533308 #3820648 (13 02 2017) და ქალაქ თბილისის

მუნიციპალიტეტს საკრებულოს 2021 წლის 15 ივნისის N248 განკარგულებით დამტკიცებული გრგ-ს პროექტის. დაგეგმილი საქმიანობის მიზანს წარმოადგენს დაბალი ინტენსივობის საცხოვრებელი უბნის შექმნა.

პროექტზე მუშაობისას გათვალისწინებული იქნა, მზარდი ეკონომიკური მოთხოვნა დაცულ ტერიტორიაზე განლაგებულ ერთ ბინიანი საცხოვრებელი ერთეულების კომპლექსზე და ასევე მეორეს მხრივ აუთვისებელი და უდაბური ტერიტორია იქნება ინტეგრირებული თბილისის ყოველდღიურ განვითარებაში.

„მწვანე ქალაქი ლისი“ კონცეფციის ფარგლებში, პირველი და მეორე ეტაპის დამტკიცებული პროექტების შესაბამისად ტერიტორიაზე დაწყულია 40 000 მწვანე ნარგავი. შესაბამისად დათქმული კონცეფციიდან გამომდინარე გრძელდება ტერიტორიების გამწვანება და საპროექტოს ტერიტორიაზე დაგეგმილია 10 000-ზე მეტი მწვანე ნარგავის დარგვა, მოვლა/პატრონობა.

საპროექტო ტერიტორიაზე მოქმედი მიწათსარგებლობის გენერალური გეგმით ვრცელდება სამი ფუნქციური ზონა:

- ✓ ზოგადი საცხოვრებელი ზონა;
- ✓ საცხოვრებელი ზონა 3
- ✓ სატყეო ზონა.

საპროექტო წინადადებით დაგეგმილია არსებული ფუნქციური ზონის ცვლილება საცხოვრებელი ზონა 1-ით და სატრანსპორტო ზონა 1-ით.

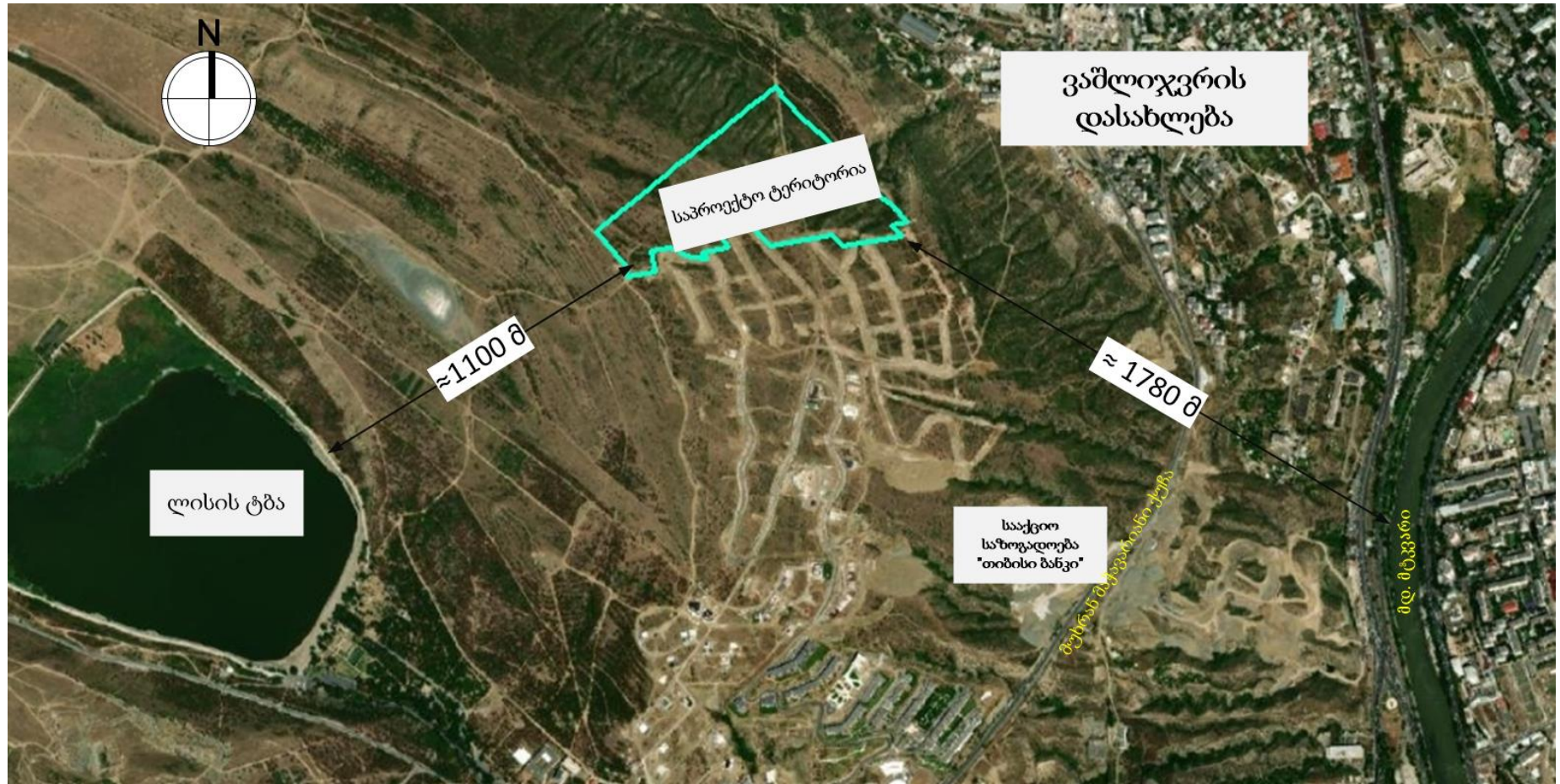
როგორც აღინიშნა, წარმოდგენილი განაშენიანებით დაგეგმილია ინდივიდუალური საცხოვრებელი სახლების განთავსება. მაქსიმალურად არის შეზღუდული სიმაღლეები და კოეფიციენტები. სიმაღლე: მიწის დონიდან 10 მეტრი, ხოლო სართულიანობა: 3 კონსტრუქციული სართული. ქალაქთმშენებლობითი პარამეტრები დასახული კონცეფციიდან გამომდინარე არ არის სრულად ათვისებული: კ-1=0,4-მდე კ-2=0,4-მდე და კ-3=0,4. რელიეფი მაქსიმალურად გათვალისწინებულია და ყველა ნაკვეთს ექნება უნიკალური ხედი.

ასევე, პროექტით დადგენილია განაშენიანების რეგულირების წითელი ხაზები, რომლებიც ნაკვეთებს ზღუდავს ყველა მხრიდან (პერიმეტრზე): საზოგადოებრივი სივრცის, გზის მხრიდან და უკანა ეზოს მხარეს 8-8 მეტრი, ხოლო სამეზობლო მიჯნები 5 – 5 მეტრით, რეგულირების ხაზის მიღმა შესაძლებელია განთავსდეს: აუზი, მსუბუქი კონსტრუქციის პერილა, ფანჩატური, მცირე არქიტექტურული ფორმები, გზა, პერგოლით გადახურული ავტოსადგომი.

ცხრილი 2 ტერიტორიის GPS კოორდინატები

N	X	Y	N	Y	X
1	479032	4621961	3	479377	4622394
2	478954	4622068	4	479688	4622096

ნახაზი 1 სიტუაციური სქემა



სურათი 1 საცხოვრებელი სახლების ზოგადი გეგმები



ნახაზი 2 საპროექტო ტერიტორიის გეგმა



ნახაზი 3 სატრანსპორტო სქემა



1.1 წყლით, ელ. ენერგიით და ბუნებრივი აირით მომარაგება

პროექტის მიხედვით საპროექტო ტერიტორიის წყალმომარაგებისა და წყალარინების სისტემების ჩართვა მოხდება შპს „ჯორჯიან უოთერ ენდ ფაუერი“-ს არსებულ სისტემებში, შესაბამისი ტექნიკური პირობის შესაბამისად (იხ. დანართი 8).

საპროექტო ტერიტორიის ბუნებრივი აირით მომარაგება მოხდება, შპს „ყაზტრანსგაზ-თბილისი“-ს არსებული ბუნებრივი აირის ქსელიდან, შესაბამისი ტექნიკური პირობის მიხედვით (იხ. დანართი 7)

პროექტის მიხედვით საპროექტო ტერიტორიის ელ. მომარაგება, მოთხოვნილი სიმძლავრით 1680 კვტ, მოხდება ს.ს. „თელასი“-ს არსებული ელექტრომომარაგების ქსელიდან შესაბამისი ტექნიკური პირობების მიხედვით (იხ. დანართი 6).

1.2 სამშენებლო სამუშაოები

პროექტის განხორციელება იგეგმება რამდენიმე ეტაპად და გაგრძელდება დაახლოებით 2 წელი. სამშენებლო სამუშაოები გახორციელდება სამ ეტაპად:

- I ეტაპი - გზისა და კომუნიკაციების მოწყობა;
- II ეტაპი - ტერიტორიაზე გამწვანებული ღობეების, პარკებისა და სკვერების მოწყობა;
- III ეტაპი - ნაკვეთების კერძო საკუთრებაში გადაცემა.

სამშენებლო საქმიანობა გულისხმობს პირველ რიგში ტერიტორიის დაგეგმარებას, კერძოდ: ინდივიდუალური ნაკვეთების გამოჯვნას, მისასვლელი და შიდა გზების მოწყობას, ასევე საზოგადოებრივი, სავაჭრო და მომსახურების ზონებისათვის ტერიტორიების გამოყოფას. შემდგომ მიწის სამუშაოებს და ბოლოს სარეკულტივაციო/გამწვანებით ღონისძიებებს. დაგეგმილი საქმიანობა მნიშვნელოვანი მოცულობის სამშენებლო სამუშაოების წარმოებას არ ითვალისწინებს, როგორც ზემოთ აღინიშნა დაგეგმილია ინდივიდუალური განაშენიანებისათვის ტერიტორიის მომზადება, ვინაიდან ნაკვეთები მომავალში იქნება კერძო საკუთრება კომპანია ვერ შეძლებს ზუსტი მშენებლობის რიგითობის დადგენას. ყველა ნაკვეთზე მშენებლობის ნებართვის შეთანხმება და მისი განხორციელება ერთ ბოლო ეტაპად არის განსაზღვრული.

გამომდინარე ზემოთ აღნიშნულიდან, დაგეგმილი საქმიანობის განხორციელებისათვის სამშენებლო ბანაკის მოწყობა დაგეგმილი არ არის, მოწყობილი იქნება მხოლოდ ტექნიკის სადგომი, სადაც განთავსდება მიწის სამუშაოების შესრულებისათვის საჭირო ტექნიკა (ბულდოზერი, ექსკავატორი, თვითმცლელი ავტომანქანები და ამწე მექანიზმი). ტექნიკის სადგომის მოწყობა დაგეგმილია ლისის საავტომობილო გზის მიმდებარედ. საპროექტო ტერიტორიის დაგეგმარება და წინასწარი მოსამზადებელი სამუშაოები (დაგეგმარება, შიდა გზების მოწყობა, ელექტრო და გაზმომარაგების ქსელების, ასევე წყალმომარაგების და კანალიზაციის ქსელების მოწყობა) შესრულდება 6-8 თვის ვადაში. რაც შეეხება ინდივიდუალური საცხოვრებელი სახლების მშენებლობას, ეს პროცესი დროში გახანგრძლივდება, რადგან დამოკიდებული იქნება კერძო პირების მიერ საცხოვრებელი ფართების ან მიწის ნაკვეთების შესყიდვებზე.

მშენებლობის ეტაპი გაგრძელდება მაქსიმუმ 2 წლის განმავლობაში და სამშენებლო სამუშაოების დროს დასაქმებული იქნება დაახლოებით 250-300 ადამიანი, მშენებლობაზე ძირითადად დასაქმებული იქნება ადგილობრივი მოსახლეობა, რომელთაც საცხოვრებელი ფართით უზრუნველყოფა არ დასჭირდებათ. საპროექტო ტერიტორიაზე მუშათა საცხოვრებელი ინფრასტრუქტურის ან ტიპიური სამშენებლო ბანაკის მოწყობა დაგეგმილი არ არის.

სამშენებლო მასალების შემოტანა და მათი უსაფრთხო დასაწყობება მოხდება კანონმდებლობით დადგენილი მოთხოვნების შესაბამისად. სამშენებლო მოედანზე ბეტონის კვანძის ან სხვა სტაციონალური ხმაურის და ემისის წყაროს განთავსება არ იგეგმება, სამშენებლო სამუშაოებისათვის საჭირო ბეტონის ნარევი ბეტონ-მზიდი ავტომანქანებით შემოტანილი იქნება სხვა იურიდიული პირების ბეტონის ქარხნებიდან. ელექტრომომარაგება და წყალმომარაგება მოხდება ტერიტორიაზე არსებული ქსელიდან.

საპროექტო ტერიტორიამდე მისასვლელი გზები დამაკმაყოფილებელ მდგომარეობაშია, შესაბამისად არ იქნება საჭირო ახალი გზების სამშენებლო ან არსებულის სარეაბილიტაციო სამუშაოების ჩატარება.

სამშენებლო სამუშაოების დაწყებამდე აუცილებელია იქ სადაც ნიადაგის ნაყოფიერი ფენის განადგურების საფრთხე იქნება მოიხსნას და დააწყობდეს მიმდებარე ტერიტორიაზე, რათა შემდეგ გამოყენებული იქნეს სარეკულტივაციო სამუშაოებისათვის. ნიადაგის ნაყოფიერი ფენის მოხსნის, შენახვის, გამოყენების და რეკულტივაციის სამუშაოები განხორციელდება „ნიადაგის ნაყოფიერი ფენის მოხსნის, შენახვის, გამოყენების და რეკულტივაციის შესახებ“ საქართველოს მთავრობის 2013 წლის 31 დეკემბრის N424 დადგენილებით დამტკიცებული ტექნიკური რეგლამენტით გათვალისწინებული მოთხოვნების შესაბამისად.

როგორც მშენებლობის, ეტაპზე წარმოქმნილი სახიფათო და არასახიფათო ნარჩენების რაოდენობა არ იქნება მნიშვნელოვანი და მათი მართვა (შეგროვება, შენახვა და განთავსების ან/და აღდგენის მიზნით შესაბამისი ნებართვის მქონე ორგანიზაციაზე გადაცემა) განხორციელდება კანონის მოთხოვნების გათვალისწინებით.

1.3 დასაქმება და სამუშაო გრაფიკი

საპროექტო საცხოვრებელი კომპლექსის პროექტის განხორციელებისათვის საჭირო დრო დაახლოებით იქნება 2 წელი, სადაც დასაქმებული იქნება დაახლოებით 250-300 ადამიანი, მათი სამუშაო გრაფიკი იქნება 8 სთ-იანი.

2 ტერიტორიის ფონური მდგომარეობა და დაგეგმილი საქმიანობით მოსალოდნელი ზემოქმედების შეფასება

წინამდებარე სკრინინგის ანგარიში ეხება ქ. თბილისში, ლისის ტბის მიმდებარედ განაშენიანების პროექტის ფარგლებში მოსალოდნელი ზემოქმედებები გარემოს სხვადასხვა კომპონენტების მიმართ. საქართველოს კანონის „გარემოსდაცვითი შეფასების კოდექსის“ მე-7 მუხლის მე-6 პუნქტის გათვალისწინებით წინამდებარე სკრინინგის ანგარიში მოიცავს შემდეგ ინფორმაციას:

- ა) საქმიანობის მახასიათებლები:
- ა.ა) საქმიანობის მასშტაბი;
- ა.ბ) არსებულ საქმიანობასთან ან/და დაგეგმილ საქმიანობასთან კუმულაციური ზემოქმედება;
- ა.გ) ბუნებრივი რესურსების (განსაკუთრებით – წყლის, ნიადაგის, მიწის, ბიომრავალფეროვნების) გამოყენება;
- ა.დ) ნარჩენების წარმოქმნა;
- ა.ე) გარემოს დაბინძურება და ხმაური;
- ა.ვ) საქმიანობასთან დაკავშირებული მასშტაბური ავარიის ან/და კატასტროფის რისკი;
- ბ) დაგეგმილი საქმიანობის განხორციელების ადგილი და მისი თავსებადობა:
- ბ.ა) ჭარბტენიან ტერიტორიასთან;
- ბ.ბ) შავი ზღვის სანაპირო ზოლთან;
- ბ.გ) ტყით მჭიდროდ დაფარულ ტერიტორიასთან, სადაც გაბატონებულია საქართველოს „წითელი ნუსხის“ სახეობები;
- ბ.დ) დაცულ ტერიტორიებთან;
- ბ.ე) მჭიდროდ დასახლებულ ტერიტორიასთან;
- ბ.ვ) კულტურული მემკვიდრეობის ძეგლთან და სხვა ობიექტთან;
- გ) საქმიანობის შესაძლო ზემოქმედების ხასიათი:
- გ.ა) ზემოქმედების ტრანსსასაზღვრო ხასიათი;
- გ.ბ) ზემოქმედების შესაძლო ხარისხი და კომპლექსურობა.

ცხრილი 3 ზემოქმედების განხილვიდან ამოღებული საკითხები

N	ზემოქმედების სახე	ზემოქმედების განხილვიდან ამოღების საფუძველი
1	ზემოქმედება ჭარბტენიან ტერიტორიასთან	ჭარბტენიანი ტერიტორიების დაშორების მანძილს გათვალისწინებით, ამ მხრივ ზემოქმედება არ არის მოსალოდნელი.
2.	ზემოქმედება შავი ზღვის სანაპირო ზოლთან	შავი ზღვის სანაპირო ზოლის დაშორების მანძილს გათვალისწინებით, ამ მხრივ ზემოქმედება არ არის მოსალოდნელი.
3.	დაცულ ტერიტორიებთან	უახლოესი მიღებული დაცული ტერიტორია საგურამო „GE0000047“- 10 კმ-ზე მეტი მანძილით, შესაბამისად დაცულ ტერიტორიებზე ზემოქმედება მოსალოდნელი არ არის.

4	ზემოქმედება ისტორიულ-კულტურულ მემკვიდრეობაზე	საპროექტო ტერიტორიიდან უახლოესი არქიტექტურული ძეგლი „ონადირეს წმ. გიორგის ეკლესია“ –(#13026) პირდაპირი მანძილით დაშორებულია არანაკლებ 500 მ-ით, აქვე უნდა აღინიშნოს, რომ განხილული ძეგლი მდებარეობს ფერდის მეორე მხარეს, შესაბამისად სამშენებლო სამუშაოები და დაცული სამშენებლო არეალის შემთხვევაში გამორიცხულია მასზე ზემოქმედება. რაც შეეხება უხილავი ძეგლების მოგვიანებით აღმოჩენის რისკებს, ასეთის რისკების მინიმუმადე დაყვანისთვის, საჭირო იქნება პერიოდულად შესაბამისი კვალიფიკაციის პერსონის ზედამხედველობის ქვეშ სამშენებლო სამუშაოების გახორციელება.
5	ტრანსსასაზღვრო ზემოქმედება	დაგეგმილი საქმიანობის ადგილმდებარეობის და ხასიათის გათვალისწინებით ტრანსსასაზღვრო ზემოქმედება მოსალოდნელი არ არის
6	მიწის საკუთრება და გამოყენება	საპროექტო ტერიტორია წლებია კომპანიის კერძო საკუთრებას წარმოადგენს შესაბამისად, პროექტის განხორციელების ფიზიკური ან ეკონიმიკური განსახლება არ არის მოსალოდნელი.
7	საქმიანობასთან დაკავშირებული მასშტაბური ავარიის ან/და კატასტროფის რისკი;	საქმიანობის მასშტაბის გათვალისწინებით, მასშტაბური ავარიის ან/და კატასტროფის რისკები ძლიან დაბალია.

2.1 ზემოქმედება ატმოსფერულ ჰაერზე

2.1.1 ატმოსფერული ჰაერის დაბინძურების მდგომარეობა

მოთხოვნები დასახლებული ადგილების ატმოსფერული ჰაერის ხარისხის დაცვასთან დაკავშირებით დგინდება შესაბამისი ნორმებით.

ატმოსფერულ ჰაერში მავნე ნივთიერებების გაფრქვევას ადგილი ექნება მხოლოდ მშენებლობის ეტაპზე. ატმოსფერულ ჰაერში მავნე ნივთიერებების გაფრქვევა უკავშირდება სამშენებლო სამუშაოების შესრულების ეტაპზე ავტოსატრანსპორტო საშუალებების ძრავებიდან ნამწვი აირების გაფრქვევას და მათი მოძრაობის შედეგად მტვრის გავრცელებას.

ატმოსფერული ჰაერის დაბინძურების სტაციონალური წყაროებიდან ატმოსფერულ ჰაერში მავნე ნივთიერებათა გაფრქვევების ფაქტობრივი რაოდენობის განსაზღვრის ინსტრუმენტულ და საანგარიშო მეთოდებს განსაზღვრავს შესაბამისი ტექნიკური რეგლამენტი.

მოძრავი წყაროებიდან, მაგ. სამშენებლო ავტოსატრანსპორტო საშუალებების ძრავებიდან გაფრქვეული მავნე ნივთიერებების ინვენტარიზაციისთვის გამოყენებული იქნა მეთოდიკა, „ავტოსატრანსპორტო საშუალებებიდან გაფრქვეული მავნე ნივთიერებების ინვენტარიზაციის საანგარიშო მეთოდი“.

ატმოსფერული ჰაერის შესაძლო დაბინძურების ხარისხის შეფასებისათვის გამოყენებულია მიღების, სადაც გათვალისწინებულია ტიპიური სამშენებლო ტექნიკის ფუნქციონირება.

აღნიშნულ სამუშაოთა ნუსხიდან შეფასებულია და გაანგარიშებულია მოსალოდნელი ემისიები ატმოსფერულ ჰაერში ისეთი ტექნოლოგიური პროცესებიდან, როგორიცაა მიწის სამუშაოების შესრულება. ამ ოპერაციების განხორციელებისათვის გათვალისწინებულია მთელი რიგი მანქანა-მექანიზმების ექსპლუატაცია და სხვა საჭირო მატერიალური რესურსების გამოყენება მათ შორის შედუღების ელექტროდების ჩათვლით.

გამომდინარე ზემოთაღნიშნულიდან, იდენტიფიცირებულია დაბინძურების შემდეგი ძირითადი წყაროები: ექსკავატორი (2 ერთეული), ბულდოზერი (2 ერთეული), ბეტონმზიდი (3-4 ბეტონმზიდი), ბეტონის მიმწოდებელი (2 ერთეული), ავტოთვითმცლელი (4 ერთეული), სატკეპნი აპარატი (1 ერთეული). ეს მექანიზმები მუშაობენ საწვავის გამოყენებით და მათი გამონაბოლქვი შეფასებულია საექსპლუატაციო სიმძლავრის გათვალისწინებით, ხოლო გაფრქვევები საშემდუღებლო ოპერაციებიდან, გაანგარიშებული იქნა მასალების ხარჯის გათვალისწინებით მოქმედ ნორმატიულ და საცნობარო დოკუმენტაციაზე დაყრდნობით.

2.1.2 ემისია საგზაო-სამშენებლო მანქანის (ექსკავატორი) მუშაობისას

დამაბინძურებელ ნივთიერებათა გამოყოფის წყაროს წარმოადგენს საგზაო-სამშენებლო მანქანების ძრავები მუშაობისას დატვირთვისა და უქმი სვლის რეჟიმში.

დამაბინძურებელ ნივთიერებათა ემისიის რაოდენობრივი და თვისობრივი მახასიათებლები საგზაო-სამშენებლო მანქანებიდან მოცემულია ცხრილში 4.

ცხრილი 4 დამაბინძურებელ ნივთიერებათა ემისიის რაოდენობრივი და თვისობრივი მახასიათებლები საგზაო-სამშენებლო მანქანებიდან

დამაბინძურებელი ნივთიერება კოდი	დასახელება	მაქსიმალური ემისია, გ/წმ	წლიური ემისია, ტ/წელ
301	აზოტის დიოქსიდი (აზოტის (IV) ოქსიდი)	0,0327924	0,302218
304	აზოტის (II) ოქსიდი	0,0053272	0,049095
328	ჭვარტლი	0,0045017	0,041488
330	გოგირდის დიოქსიდი	0,00332	0,030597
337	ნახშირბადის ოქსიდი	0,027378	0,252316
2732	ნახშირწყალბადების ნავთის ფრაქცია	0,0077372	0,071306

გაანგარიშება შესრულებულია საგზაო-სამშენებლო მანქანების (სსმ) სამუშაო მოედნის გარემო პირობებში. სამუშაო დღეების რაოდენობა შეადგენს-320 სამუშაო დღეს, 8 საათიანი სამუშაო რეჟიმით.

საწყისი მონაცემები დამაბინძურებელ ნივთიერებათა გამოყოფის გაანგარიშებისათვის მოცემულია ცხრილში 5.

ცხრილი 5 გაანგარიშების საწყისი მონაცემები

საგზაო- სამშენებლო მანქანების (სსმ) დასახელება	რ-ბა	ერთი მანქანის მუშაობის დრო							მუშა დღვეუბის რ-ბა	
		დღეში, სთ			30 წთ-ში, წთ					
		სულ	დატვირთვის გარეშე	დატვირთვით	უქმი სვლა	დატვირთვის გარეშე	დატვირთვით	უქმი სვლა		
მუხლუხა სსმ, სიმძლავრით 61- 100 კვტ(83-136 ცხ.დ)	1 (1)	8	3,5	3,2	1,3	13	12	5	320	

მიღებული პირობითი აღნიშვნები, საანგარიშო ფორმულები, აგრეთვე საანგარიშო პარამეტრები და მათი დასაბუთება მოცემულია ქვემოთ:

i-ური ნივთიერების მაქსიმალური -ერთჯერადი ემისია ხორციელდება ფორმულით:

$$Gi = \sum_{kk=1} (m\Delta B ik \cdot t\Delta B + 1,3 \cdot m\Delta B ik \cdot t\text{НАГР.} + mXX ik \cdot tXX) \cdot Nk / 1800, \text{გ/წმ};$$

სადაც

$m\Delta B ik$ – k-ური ჯგუფისათვის i-ური ნივთიერების კუთრი ემისია მანქანის მოძრაობისას დატვირთვის გარეშე, გ/წთ;

$1,3 \cdot m\Delta B ik$ – k-ური ჯგუფისათვის i-ური ნივთიერების კუთრი ემისია მანქანის მოძრაობისას დატვირთვით, გ/წთ;

$m\Delta B ik$ – k-ური ჯგუფისათვის i-ური ნივთიერების კუთრი ემისია მანქანის მოძრაობისას უქმი სვლის რეჟიმზე, გ/წთ;

$t\Delta B$ -მანქანის მოძრაობის დრო 30 წთ-იან ინტერვალში დატვირთვის გარეშე, წთ;

$t\text{НАГР.}$ -მანქანის მოძრაობის დრო 30 წთ-იან ინტერვალში დატვირთვით, წთ;

tXX -მანქანის მოძრაობის დრო 30 წთ-იან ინტერვალში უქმი სვლის რეჟიმზე, წთ;

Nk – k-ური ჯგუფის მანქანების რ-ბა, რომლებიც მუშაობენ ერთდროულად 30 წთ-იან ინტერვალში.

i-ური ნივთიერების ჯამური ემისია საგზაო მანქანებიდან გაიანგარიშება ფორმულით:

$$Mi = \sum_{kk=1} (m\Delta B ik \cdot t'\Delta B + 1,3 \cdot m\Delta B ik \cdot t'\text{НАГР.} + mXX ik \cdot t'XX) \cdot 10^{-6}, \text{ტ/წელ};$$

სადაც $t'\Delta B$ – k-ური ჯგუფის მანქანების მოძრაობის ჯამური დრო დატვირთვის გარეშე, წთ;

$t'\text{НАГР.}$ – k-ური ჯგუფის მანქანების მოძრაობის ჯამური დრო დატვირთვით, წთ;

$t'XX$ – k-ური ჯგუფის მანქანების მოძრაობის ჯამური დრო უქმი სვლის რეჟიმზე, წთ;

დამაბინძურებელ ნივთიერებათა კუთრი ემისია საგზაო-სამშენებლო მანქანის მუშაობისას, მოცემულია ცხრილში 6.

ცხრილი 6 დამაბინძურებელ ნივთიერებათა კუთრი ემისია საგზაო-სამშენებლო მანქანების მუშაობისას, გწთ.

საგზაო-სამშენებლო მანქანების (სსმ) ტიპი	დამაბინძურებელი ნივთიერება	მოძრაობა	უქმი სვლა
მუხლუხა სსმ, სიმძლავრით	აზოტის დიოქსიდი (აზოტის ოქსიდი)	1,976	0,384
61-100 კვტ (83-136 ცხ.დ)	აზოტის (II) ოქსიდი	0,321	0,0624
	ჭვარტლი	0,27	0,06
	გოგირდის დიოქსიდი	0,19	0,097
	ნახშირბადის ოქსიდი	1,29	2,4
	ნახშირწყალბად ების ნავთის ფრაქცია	0,43	0,3

დამაბინძურებელ ნივთიერებათა წლიური და მაქსიმალური ერთჯერადი ემისიის გაანგარიშება მოცემულია ქვემოთ.

$$G_{301} = (1,976 \cdot 12 + 1,3 \cdot 1,976 \cdot 13 + 0,384 \cdot 5) \cdot 1 / 1800 = 0,0327924 \text{ გ/წმ};$$

$$M_{301} = (1,976 \cdot 1 \cdot 320 \cdot 3,5 \cdot 60 + 1,3 \cdot 1,976 \cdot 1 \cdot 320 \cdot 3,2 \cdot 60 + 0,384 \cdot 1 \cdot 320 \cdot 1,3 \cdot 60) \cdot 10^{-6} = 0,3022148 \text{ ტ/წელ};$$

$$G_{304} = (0,321 \cdot 12 + 1,3 \cdot 0,321 \cdot 13 + 0,0624 \cdot 5) \cdot 1 / 1800 = 0,0053272 \text{ გ/წმ};$$

$$M_{304} = (0,321 \cdot 1 \cdot 240 \cdot 3,5 \cdot 60 + 1,3 \cdot 0,321 \cdot 1 \cdot 320 \cdot 3,2 \cdot 60 + 0,0624 \cdot 1 \cdot 320 \cdot 1,3 \cdot 60) \cdot 10^{-6} = 0,049095 \text{ ტ/წელ};$$

$$G_{328} = (0,27 \cdot 12 + 1,3 \cdot 0,27 \cdot 13 + 0,06 \cdot 5) \cdot 1 / 1800 = 0,0045017 \text{ გ/წმ};$$

$$M_{328} = (0,27 \cdot 1 \cdot 320 \cdot 3,5 \cdot 60 + 1,3 \cdot 0,27 \cdot 1 \cdot 30 \cdot 3,2 \cdot 60 + 0,06 \cdot 1 \cdot 320 \cdot 1,3 \cdot 60) \cdot 10^{-6} = 0,041488 \text{ ტ/წელ};$$

$$G_{330} = (0,19 \cdot 12 + 1,3 \cdot 0,19 \cdot 13 + 0,097 \cdot 5) \cdot 1 / 1800 = 0,00332 \text{ გ/წმ};$$

$$M_{330} = (0,19 \cdot 1 \cdot 320 \cdot 3,5 \cdot 60 + 1,3 \cdot 0,19 \cdot 1 \cdot 320 \cdot 3,2 \cdot 60 + 0,097 \cdot 1 \cdot 320 \cdot 1,3 \cdot 60) \cdot 10^{-6} = 0,030597 \text{ ტ/წელ};$$

$$G_{337} = (1,29 \cdot 12 + 1,3 \cdot 1,29 \cdot 13 + 2,4 \cdot 5) \cdot 1 / 1800 = 0,027378 \text{ გ/წმ};$$

$$M_{337} = (1,29 \cdot 1 \cdot 320 \cdot 3,5 \cdot 60 + 1,3 \cdot 1,29 \cdot 1 \cdot 320 \cdot 3,2 \cdot 60 + 2,4 \cdot 1 \cdot 320 \cdot 1,3 \cdot 60) \cdot 10^{-6} = 0,252316 \text{ ტ/წელ};$$

$$G_{2732} = (0,43 \cdot 12 + 1,3 \cdot 0,43 \cdot 13 + 0,3 \cdot 5) \cdot 1 / 1800 = 0,0077372 \text{ გ/წმ};$$

$$M_{2732} = (0,43 \cdot 1 \cdot 320 \cdot 3,5 \cdot 60 + 1,3 \cdot 0,43 \cdot 1 \cdot 320 \cdot 3,2 \cdot 60 + 0,3 \cdot 1 \cdot 320 \cdot 1,3 \cdot 60) \cdot 10^{-6} = 0,071306 \text{ ტ/წელ}.$$

ერთციცხვიანი ექსკავატორის მუშაობისას მტვრის მაქსიმალური ერთჯერადი გაფრქვევა განისაზღვრება ფორმულით:

$$M = Q_{\text{და}} \times E \times K_{\text{და}} \times K1 \times K2 \times N/T_{\text{და}}, \text{ გ/წმ, სადაც:}$$

$Q_{\text{ექ}} = \text{მტვრის კუთრი გამოყოფა } 1\text{მ}^3 \text{გადატვირთული მასალისგან, } \text{გ/მ}^3$

E - ციცხვის ტევადობა, $\text{მ}^3 [0,7-1]$

$K_{\text{ექ}} - \text{ექსკავაციის კოეფიციენტი. } [0,91]$

K1 - ქარის სიჩქარის კოეფ. ($K1=1,2$);

K2 - ტენიანობის კოეფ. ($K2=0,2$);

N-ერთდროულად მომუშვე ტექნიკის რ-ბა (ერთეული);

$T_{\text{ერ}} - \text{ექსკავატორის ციკლის დრო, } \text{წმ. } [30]$

$$M = Q_{\text{ექ}} \times E \times K_{\text{ექ}} \times K1 \times K2 \times N / T_{\text{ერ}} = 4,8 * 1 * 0,91 * 1,2 * 0,2 * 1 / 30 = 0,035 \text{გ/წმ.}$$

ერთციცხვიანი ექსკავატორის მუშაობისას მტვრის ჯამური გაფრქვევა განისაზღვრება ფორმულით:

$$G = M \times 3600 \times T \times 10^{-6} = 0,035 \times 3600 \text{წმ.} \times 8 \text{სთ} \times 320 \text{დღ} \times 10^{-6} = 0,322256 \text{ტ/წელ.}$$

2.1.3 ემისია საგზაო-სამშენებლო მანქანის (ბულდოზერი) მუშაობისას

მიღებული პირობითი აღნიშვნები, საანგარიშო ფორმულები, აგრეთვე საანგარიშო პარამეტრები და მათი დასაბუთება მოცემულია ქვემოთ:

i -ური ნივთიერების მაქსიმალური -ერთჯერადი ემისია ხორციელდება ფორმულით:

$$G_i = \sum_{k=1}^k (\mathbf{m}_{\text{აბ}ik} \cdot t_{\text{აბ}} + 1,3 \cdot \mathbf{m}_{\text{აბ}ik} \cdot t_{\text{HAPR.}} + \mathbf{m}_{\text{XX}ik} \cdot t_{\text{XX}}) \cdot N_k / 1800, \text{გ/წმ.}$$

სადაც

$\mathbf{m}_{\text{აბ}ik} - k$ -ური ჯგუფისათვის i -ური ნივთიერების კუთრი ემისია მანქანის მოძრაობისას დატვირთვის გარეშე, $\text{გ/წთ};$

$1,3 \cdot \mathbf{m}_{\text{აბ}ik} - k$ -ური ჯგუფისათვის i -ური ნივთიერების კუთრი ემისია მანქანის მოძრაობისას დატვირთვით, $\text{გ/წთ};$

$\mathbf{m}_{\text{აბ}ik} - k$ -ური ჯგუფისათვის i -ური ნივთიერების კუთრი ემისია მანქანის მოძრაობისას უქმი სვლის რეჟიმზე, $\text{გ/წთ};$

$t_{\text{აბ}}$ - მანქანის მოძრაობის დრო 30 წთ-იან ინტერვალში დატვირთვის გარეშე, $\text{წთ};$

$t_{\text{HAPR.}}$ - მანქანის მოძრაობის დრო 30 წთ-იან ინტერვალში დატვირთვით, $\text{წთ};$

t_{XX} - მანქანის მოძრაობის დრო 30 წთ-იან ინტერვალში უქმი სვლის რეჟიმზე, $\text{წთ};$

$N_k - k$ -ური ჯგუფის მანქანების რ-ბა, რომლებიც მუშაობენ ერთდროულად 30 წთ-იან ინტერვალში.

i -ური ნივთიერების ჯამური ემისია საგზაო მანქანებიდან გაიანგარიშება ფორმულით:

$$M_i = \sum_{k=1}^k (\mathbf{m}_{\text{აბ}ik} \cdot t'_{\text{აბ}} + 1,3 \cdot \mathbf{m}_{\text{აბ}ik} \cdot t'_{\text{HAPR.}} + \mathbf{m}_{\text{XX}ik} \cdot t'_{\text{XX}}) \cdot 10^{-6}, \text{ტ/წელ.}$$

სადაც $t'_{\text{აბ}}$ - k -ური ჯგუფის მანქანების მოძრაობის ჯამური დრო დატვირთვის გარეშე, $\text{წთ};$

$t'_{\text{HAPR.}}$ - k -ური ჯგუფის მანქანების მოძრაობის ჯამური დრო დატვირთვით, $\text{წთ};$

$t'_{xx} - k$ -ური ჯგუფის მანქანების მოძრაობის ჯამური დრო უქმი სვლის რეჟიმზე, წთ; დამაბინძურებელ ნივთიერებათა კუთრი ემისია საგზაო-სამშენებლო მანქანების მუშაობისას, მოცემულია ცხრილში 7

ცხრილი 7 დამაბინძურებელ ნივთიერებათა კუთრი ემისია საგზაო-სამშენებლო მანქანების მუშაობისას, გწთ

საგზაო-სამშენებლო მანქანების (სსმ) ტიპი	დამაბინძურებელი ნივთიერება	მოძრაობა	უქმი სვლა
ბულდოზერი მუხლუხა სსმ, სიმძლავრით 61-100 კვტ. (83-136 ცხ.დ)	აზოტის დიოქსიდი (აზოტის (IV) ოქსიდი)	1,976	0,384
	აზოტის (II) ოქსიდი	0,321	0,0624
	ჭვარტლი	0,369	0,06
	გოგირდის დიოქსიდი	0,207	0,097
	ნახშირბადის ოქსიდი	1,413	2,4
	ნახშირწყალბადების ნავთის ფრაქცია	0,459	0,3

დამაბინძურებელ ნივთიერებათა წლიური და მაქსიმალური ერთჯერადი ემისიის გაანგარიშება მოცემულია ქვემოთ.

$$G_{301} = (1,976 \cdot 12 + 1,3 \cdot 1,976 \cdot 13 + 0,384 \cdot 5) \cdot 1 / 1800 = 0,0327924 \text{ გრ/წმ};$$

$$M_{301} = (1,976 \cdot 1 \cdot 320 \cdot 3,2 \cdot 60 + 1,3 \cdot 1,976 \cdot 1 \cdot 320 \cdot 3,46667 \cdot 60 + 0,384 \cdot 1 \cdot 320 \cdot 1,333333 \cdot 60) \cdot 10^{-6} = 0,349507 \text{ ტ/წელ};$$

$$G_{304} = (0,321 \cdot 12 + 1,3 \cdot 0,321 \cdot 13 + 0,0624 \cdot 5) \cdot 1 / 1800 = 0,0053272 \text{ გრ/წმ};$$

$$M_{304} = (0,321 \cdot 1 \cdot 320 \cdot 3,2 \cdot 60 + 1,3 \cdot 0,321 \cdot 1 \cdot 320 \cdot 3,46667 \cdot 60 + 0,0624 \cdot 1 \cdot 320 \cdot 1,333333 \cdot 60) \cdot 10^{-6} = 0,049095 \text{ ტ/წელ};$$

$$G_{328} = (0,27 \cdot 12 + 1,3 \cdot 0,27 \cdot 13 + 0,06 \cdot 5) \cdot 1 / 1800 = 0,0045017 \text{ გრ/წმ};$$

$$M_{328} = (0,27 \cdot 1 \cdot 320 \cdot 3,2 \cdot 60 + 1,3 \cdot 0,27 \cdot 1 \cdot 320 \cdot 3,46667 \cdot 60 + 0,06 \cdot 1 \cdot 320 \cdot 1,333333 \cdot 60) \cdot 10^{-6} = 0,041488 \text{ ტ/წელ};$$

$$G_{330} = (0,19 \cdot 12 + 1,3 \cdot 0,19 \cdot 13 + 0,097 \cdot 5) \cdot 1 / 1800 = 0,00332 \text{ გრ/წმ};$$

$$M_{330} = (0,19 \cdot 1 \cdot 320 \cdot 3,2 \cdot 60 + 1,3 \cdot 0,19 \cdot 1 \cdot 320 \cdot 3,46667 \cdot 60 + 0,097 \cdot 1 \cdot 320 \cdot 1,333333 \cdot 60) \cdot 10^{-6} = 0,030597 \text{ ტ/წელ};$$

$$G_{337} = (1,29 \cdot 12 + 1,3 \cdot 1,29 \cdot 13 + 2,4 \cdot 5) \cdot 1 / 1800 = 0,0273783 \text{ გრ/წმ};$$

$$M_{337} = (1,29 \cdot 1 \cdot 320 \cdot 3,2 \cdot 60 + 1,3 \cdot 1,29 \cdot 1 \cdot 320 \cdot 3,46667 \cdot 60 + 2,4 \cdot 1 \cdot 320 \cdot 1,333333 \cdot 60) \cdot 10^{-6} = 0,252318 \text{ ტ/წელ};$$

$$G_{2732} = (0,43 \cdot 12 + 1,3 \cdot 0,43 \cdot 13 + 0,3 \cdot 5) \cdot 1 / 1800 = 0,0077372 \text{ გრ/წმ};$$

$$M_{2732} = (0,43 \cdot 1 \cdot 320 \cdot 3,2 \cdot 60 + 1,3 \cdot 0,43 \cdot 1 \cdot 320 \cdot 3,46667 \cdot 60 + 0,3 \cdot 1 \cdot 320 \cdot 1,333333 \cdot 60) \cdot 10^{-6} = 0,071306 \text{ ტ/წელ}.$$

საგზაო სამშენებლო მანქანის ბულდოზერის მუშაობისას შეწონილი ნაწილაკების (2902) გაფრქვევის გაანგარიშება:

$$G = (Q_{ბულ} \times Q_{სიმ} \times V \times K_1 \times K_2 \times N) / (T_{ბი} \times K_{გ}), \text{ გ/წმ};$$

სადაც:

$$Q_{ბულ} - მტვრის კუთრი გამოყოფა 1ტ. გადასატანი მასალისაგან, გ/ტ - 0,74$$

$$Q_{სიმ} - ქანის სიმკვრივე (ტ/მ³ - 1,6).$$

$$K_1 - ქარის სიჩქარის კოეფ. (K_1 = 1,2);$$

$$K_2 - ტენიანობის კოეფ. (K_2 = 0,2);$$

N-ერთდროულად მომუშვე ტექნიკის რ-ბა (ერთეული);

V – პრიზმის გადაადგილების მოცულობა (მ³) 3,5

T_ბ – ბულდოზერის ციკლის დრო, წმ, 80.

K_ა – ქანის გაფხვიერების კოეფ. (K_ა -1,15)

G₂₉₀₂ = (Q_{ბულ} x Q_{სიმ} x V x K₁ x K₂ x N)/(T_ბ x K_ა) = 0,74*1,6*3,5*1,2*0,2*1/(80*1,15)=0,011 გ/წმ

ბულდოზერის მუშაობისას შეწონილი ნაწილაკების ჯამური გაფრქვევა განისაზღვრება ფორმულით:

G = M₂₉₀₂ x 3600 x T x 10⁻⁶ = 0,011 x 3600წმ x 8სთ x 320დღ x 10⁻⁶ = 0.101376 ტ/წელ.

2.1.4 ემისია საგზაო-სამშენებლო მანქანის (ავტო თვითმცლელების) მუშაობისას

დამაბინძურებელ ნივთიერებათა გამოყოფის წყაროს წარმოადგენს ავტომანქანის ძრავა, მისი გათბობისას და მოძრაობისას ტერიტორიაზე, აგრეთვე უქმი სვლის რეჟიმში მუშაობისას.

დამაბინძურებელ ნივთიერებათა ემისიის რაოდენობრივი და თვისობრივი მახასიათებლები ავტოდამტვირთველიდან, ტერიტორიაზე გამოსვლა-შესვლისას მოცემულია ცხრილში 8.

ცხრილი 8: დამაბინძურებელ ნივთიერებათა ემისიის რაოდენობრივი და თვისობრივი მახასიათებლები ავტოდამტვირთველიდან, ტერიტორიაზე გამოსვლა-შესვლისას

ავტომანქანის ტიპი	მაქსიმალური რაოდენობა		
	სულ	დღის განმავლობაში	ერთდროულობა
სატვირთო, ტვირთამწეობა- 8-16ტ. დიზელი	4	4	+

მიღებული პირობითი აღნიშვნები, საანგარიშო ფორმულები, აგრეთვე საანგარიშო პარამეტრები და მათი დასაბუთება მოცემულია ქვემოთ:

i-ური ნივთიერების ემისია ერთი k-ური ტიპის მანქანიდან ტერიტორიიდან გამოსვლისას M1ik

და დაბრუნებისას M2ik ხორციელდება ფორმულებით:

$$M1ik = m\pi P ik \cdot t\pi P + mL ik \cdot L1 + mXX ik \cdot tXX 1, \delta$$

$$M2ik = mL ik \cdot L2 + mXX ik \cdot tXX 2, \delta$$

სადაც:

m_πP ik – i-ური ნივთიერების კუთრი ემისია k-ური ჯგუფის ავტოს ძრავის შეთბობისას, გ/წთ.

mL ik – i-ური ნივთიერების კუთრი ემისია k-ური ჯგუფის ავტოს მოძრაობისას 10-20გმსიჩქარით, გ/კმ.

$m_{XX} ik$ – i -ური ნივთიერების კუთრი ემისია k -ური ჯგუფის ავტომანქანის მუშაობისას უქმი სვლის რეჟიმზე, გ/წთ.

t_{PP} – ძრავის გათბობის დრო, წთ.

L_1, L_2 – ავტომანქანის გარბენი სადგომის ტერიტორიაზე, კმ;

$t_{XX} 1, t_{XX} 2$ – ძრავის მუშაობა უქმი სვლის რეჟიმზე სადგომის ტერიტორიიდან გასვლისას დაშემოსვლისას, წთ;

ეკოლოგიური კონტროლის განხორციელებისას ავტომანქანის კუთრი ემისია მცირდება, ამიტომ ემისიის მაჩვენებლები უნდა გადაანგარიშდეს ფორმულით:

$m'_{PP} ik = m_{PP} ik \cdot Ki$, გ/წთ;

$m''_{XX} ik = m_{XX} ik \cdot Ki$, გ/წთ;

სადაც: Ki – კოეფიციენტი, რომელიც ითვალისწინებს i -ური დამაბინძურებელი ნივთიერების შემცირებას ეკოლოგიური კონტროლის ჩატარებისას.

i -ური დამაბინძურებელი ნივთიერების ჯამური ემისია იანგარიშება ცალ ცალკე წლის ყოველი პერიოდისათვის ფორმულით:

$$M_{ij} = \sum k \alpha_B (M_{1ik} + M_{2ik}) N_k \cdot DP \cdot 10^{-6}, \text{ტ/წელ};$$

სადაც:

α_B – სადგომიდან გამოსვლის კოეფიციენტი;

N_k – ერთდროულად მომუშავე k -ური ჯგუფის ავტომანქანების რ-ბა საანგარიშო პერიოდში.

DP – სამუშაო დღეთა რ-ბა საანგარიშო პერიოდში – (თბილი, გარდამავალი, ცივი);

j – წლის პერიოდი (T – თბილი, Π – გარდამავალი, X – ცივი); წლის ცივ და გარდამავალ პერიოდებში ემისიის მახასიათებლების გავლენა გაითვალისწინება მხოლოდ სადგომიდან გამომავალი ავტომანქანებისათვის, რომლებიც დგანან ღია სადგომებზე.

საერთო ჯამური წლიური ემისიის M_i საანგარიშოდ ერთი დასახელების ნივთიერებების ემისია ჯამდება წლის პერიოდების მიხედვით :

$$M_i = M T_i + M \Pi_i + M X_i, \text{ტ/წელ};$$

i -ური დამაბინძურებელი ნივთიერების მაქსიმალური ერთჯერადი ემისია G_i იანგარიშება ფორმულით:

$$G_i = \sum k (M_{1ik} \cdot N'_k + M_{2ik} \cdot N''_k) / 3600, \text{გ/წმ};$$

სადაც: N'_k, N''_k – k -ური ჯგუფის ავტომობილების რ-ბა, რომლებიც გამოდიან სადგომიდან და შედიან სადგომში ერთ საათში.

მიღებული G_i -ის შედეგებიდან შეირჩევა მაქსიმალური სხვადასხვა ჯგუფის მანქანების მოძრაობის ერთდროულობის გათვალისწინებით.

მაქსიმალური ერთჯერადი და წლიური ემისიის გაანგარიშება მოცემულია ქვემოთ:

$$M_1 = 0,616 \cdot 6 + 2,72 \cdot 0,1 + 0,368 \cdot 2 = 4,704 \text{ გ};$$

$$M_2 = 2,72 \cdot 0,1 = 0,272 \text{ გ};$$

$$G301 = (4,704 \cdot 3 + 0,272 \cdot 0) / 3600 = 0,00392 \text{ г/წმ.}$$

$$M1 = 0,1 \cdot 6 + 0,442 \cdot 0,1 + 0,0598 \cdot 2 = 0,7638 \text{ г;}$$

$$M2 = 0,442 \cdot 0,1 = 0,0442 \text{ г;}$$

$$M301 = (4,704 + 0,272) \cdot 320 \cdot 5 \cdot 10^{-6} = 0,00622 \text{ Ծ/წელ;}$$

$$G304 = (0,7638 \cdot 3 + 0,0442 \cdot 0) / 3600 = 0,0006365 \text{ г/წმ.}$$

$$M1 = 0,0342 \cdot 6 + 0,27 \cdot 0,1 + 0,019 \cdot 2 = 0,2702 \text{ г;}$$

$$M2 = 0,2 \cdot 0,1 = 0,02 \text{ г;}$$

$$M304 = (0,7638 + 0,0442) \cdot 320 \cdot 5 \cdot 10^{-6} = 0,00101 \text{ Ծ/წელ;}$$

$$G328 = (0,2702 \cdot 3 + 0,02 \cdot 0) / 3600 = 0,0002252 \text{ г/წმ.}$$

$$M1 = 0,108 \cdot 6 + 0,531 \cdot 0,1 + 0,1 \cdot 2 = 0,9011 \text{ г;}$$

$$M2 = 0,475 \cdot 0,1 = 0,0475 \text{ г;}$$

$$M328 = (0,2702 + 0,02) \cdot 320 \cdot 5 \cdot 10^{-6} = 0,000363 \text{ Ծ/წელ;}$$

$$G330 = (0,9011 \cdot 3 + 0,0475 \cdot 0) / 3600 = 0,0007509 \text{ г/წმ.}$$

$$M1 = 1,8 \cdot 6 + 5,31 \cdot 0,1 + 0,84 \cdot 2 = 13,011 \text{ г;}$$

$$M2 = 4,9 \cdot 0,1 = 0,49 \text{ г;}$$

$$M330 = (0,9011 + 0,0475) \cdot 320 \cdot 5 \cdot 10^{-6} = 0,001186 \text{ Ծ/წელ;}$$

$$G337 = (13,011 \cdot 3 + 0,49 \cdot 0) / 3600 = 0,0108425 \text{ г/წმ.}$$

$$M1 = 0,639 \cdot 6 + 0,72 \cdot 0,1 + 0,42 \cdot 2 = 4,746 \text{ г;}$$

$$M2 = 0,7 \cdot 0,1 = 0,07 \text{ г;}$$

$$M337 = (13,011 + 0,49) \cdot 320 \cdot 5 \cdot 10^{-6} = 0,016876 \text{ Ծ/წელ;}$$

$$G2732 = (4,746 \cdot 3 + 0,07 \cdot 0) / 3600 = 0,003955 \text{ г/წმ.}$$

$$M2732 = (4,746 + 0,07) \cdot 320 \cdot 5 \cdot 10^{-6} = 0,00602 \text{ Ծ/წელ;}$$

2.1.5 ემისია შედუღების სამუშაოებიდან

შედუღების პროცესში დამაბინძურებელ ნივთიერებათა გამოყოფის (ემისიის) განსაზღვრისათვის გამოიყენება საანგარიშო მეთოდები დამაბინძურებელ ნივთიერებათა კუთრი გამოყოფის (გამოყენებული ელექტროდის ერთეულ მასაზე გადაანგარიშებით) დახმარებით.

შედუღების პროცესში ატმოსფერულ ჰაერში გაიფრქვევა შედუღების აეროზოლი, მეტალის ოქსიდები და აგრეთვე აირადი შენაერთები, რომელთა რაოდენობრივი მახასიათებლები დამოკიდებულია ელექტროდების შემადგენლობაში არსებულ ელემენტებზე.

დამაბინძურებელ ნივთიერებათა გამოყოფის რაოდენობრივი და თვისობრივი მახასიათებლები მოცემულია ცხრილში 9.

ცხრილი 9 დამაბინძურებელ ნივთიერებათა გამოყოფის რაოდენობრივი და თვისობრივი მახასიათებლები.

დამაბინძურებელი ნივთიერება		
----------------------------	--	--

კოდი	დასახელება	მაქსიმალური ერთჯერადი ემისია, გ/წმ	წლიური ემისია, ტ/წელ
123	რკინის ოქსიდი	0,0010096	0,00218075
143	მანგანუმი და მისი ნაერთები	0,0000869	0,0001877
301	აზოტის დიოქსიდი	0,0002833	0,000612
304	აზოტის ოქსიდი	0,000046	0,00009945
337	ნახშირბადის ოქსიდი	0,0031403	0,006783
342	აირადი ფტორიდები	0,0001771	0,0003825
344	ძნელად ხსნადი ფტორიდები	0,0003117	0,0006732
2908	არაორგანული მტვერი(70-20% SiO ₂)	0,0001322	0,0002556

საწყისი მონაცემები გამოყოფის გაანგარიშებისათვის მოცემულია ცხრილში 10

ცხრილი 10 საწყისი მონაცემები გამოყოფის გაანგარიშები

დასახელება	საანგარიშო პარამეტრი		
	მახასიათებლები, აღნიშვნა	ერთეული	მნიშვნელობა
ელექტრო რკალური შედეულება ერთეულოვანი ელექტროდებით უONI-13/45			
	დამაბინძურებელ ნივთიერებათა ("x") გამოყოფის კუთრი მაჩვენებლები სახარჯი მასალის ერთეულ მასაზე Kxm:		
123	რკინის ოქსიდი	გ/ვგ	10,69
143	მანგანუმი და მისი ნაერთები	გ/ვგ	0,92
301	აზოტის დიოქსიდი	გ/ვგ	1,2
304	აზოტის ოქსიდი	გ/ვგ	0,195
337	ნახშირბადის ოქსიდი	გ/ვგ	13,3
342	ფტორიდები	გ/ვგ	0,75
344	ძნელად ხსნადი ფტორიდები	გ/ვგ	3,3
2908	არაორგანული მტვერი(70-20% SiO ₂)	გ/ვგ	1,4

	ერთი გამოყენებული ელექტროდის ნარჩენის ნორმატივი , no	%	15
	გამოყენებული ელექტროდის წლიური ხარჯი, B"	კგ	600
	გამოყენებული ელექტროდის ხარჯი ინტენსიური მუშაობისას, B'	კგ	1
	ინტენსიური მუშაობის დრო, τ	სთ	1
	მუშაობის ერთდროულობა	-	კი

მიღებული პირობითი აღნიშვნები, საანგარიშო ფორმულები, აგრეთვე საანგარიშო პარამეტრები და მათი დასაბუთება მოცემულია ქვემოთ.

დამაბინძურებელ ნივთიერებათა რაოდენობა, რომლებიც გამოიყოფა ატმოსფერულ ჰაერში ელექტროდებით შედუღების პროცესში, განისაზღვრება ფორმულით:

$$Mbi = B \cdot Kxm \cdot (1 - no / 100) \cdot 10^{-3}, \text{კგ/სთ}$$

სადაც,

B - ელექტროდების ხარჯი, (კგ/სთ);

"x" დამაბინძურებელ ნივთიერებათა კუთრი გამოყოფა ელექტროდის ერთეული მასის Kxm - ის ხარჯზე, გ/კგ;

no - გამოყენებული ელექტროდის ნარჩენის ნორმატივი %.

როდესაც ტექნოლოგიური დანადგარი აღჭურვილია ადგილობრივი ამწოვით, დამაბინძურებელ ნივთიერებათა ემისია ამ მოწყობილობიდან ტოლია გამოყოფილ დამაბინძურებელ ნივთიერებათა მასა გამრავლებული ადგილობრივი ამწოვის ეფექტურობაზე (ერთეულის წილებში). დამაბინძურებელ ნივთიერებათა წლიური ემისია ელექტროდების გამოყენებისას გაიანგარიშება ფორმულით:

$$M = B'' \cdot Kxm \cdot (1 - no / 100) \cdot \eta \cdot 10^{-6}, \text{ტ/წელ}$$

სადაც

B'' - ელექტროდების წლიური ხარჯი, კგ/წელ;

η - ადგილობრივი ამწოვის ეფექტურობა (ერთეულის წილებში)

მაქსიმალური ემისია გაიანგარიშება ფორმულით:

$$G = 103 \cdot Mbi \cdot \eta / 3600, \text{გ/წმ}$$

ატმოსფერულ ჰაერში დამაბინძურებელ ნივთიერებათა მაქსიმალური ერთჯერადი და წლიური გამოყოფის გაანგარიშება მოცემულია ქვემოთ.

ელექტრო რკალური შედუღება ერთეულოვანი ელექტროდებით უОНИ-13/45

B = 1 / 1 = 1 კგ/სთ;

123. რკინის ოქსიდი

$$Mbi = 1 \cdot 10,69 \cdot (1 - 15 / 100) \cdot 10^{-3} = 0,0090865 \text{ კგ/სთ};$$

$$M = 600 \cdot 10,69 \cdot (1 - 15 / 100) \cdot 0,4 \cdot 10^{-6} = 0,00218075 \text{ ტ/წელ};$$

$$G = 103 \cdot 0,0090865 \cdot 0,4 / 3600 = 0,0010096 \text{ გ/წმ};$$

143. მანგანუმი და მისი ნაერთები

$$Mbi = 1 \cdot 0,92 \cdot (1 - 15 / 100) \cdot 10^{-3} = 0,000782 \text{ კგ/სთ};$$

$$M = 600 \cdot 0,92 \cdot (1 - 15 / 100) \cdot 0,4 \cdot 10^{-6} = 0,0001877 \text{ ტ/წელ};$$

$$G = 103 \cdot 0,000782 \cdot 0,4 / 3600 = 0,0000869 \text{ გ/წმ};$$

301. აზოტის დიოქსიდი

$$Mbi = 1 \cdot 1,2 \cdot (1 - 15 / 100) \cdot 10^{-3} = 0,00102 \text{ კგ/სთ};$$

$$M = 600 \cdot 1,2 \cdot (1 - 15 / 100) \cdot 1 \cdot 10^{-6} = 0,000612 \text{ ტ/წელ};$$

$$G = 103 \cdot 0,00102 \cdot 1 / 3600 = 0,0002833 \text{ გ/წმ};$$

304. აზოტის ოქსიდი

$$Mbi = 1 \cdot 0,195 \cdot (1 - 15 / 100) \cdot 10^{-3} = 0,0001658 \text{ კგ/სთ};$$

$$M = 600 \cdot 0,195 \cdot (1 - 15 / 100) \cdot 1 \cdot 10^{-6} = 0,00009945 \text{ ტ/წელ};$$

$$G = 103 \cdot 0,0001658 \cdot 1 / 3600 = 0,000046 \text{ გ/წმ};$$

337. ნახშირბადის ოქსიდი

$$Mbi = 1 \cdot 13,3 \cdot (1 - 15 / 100) \cdot 10^{-3} = 0,011305 \text{ კგ/სთ};$$

$$M = 600 \cdot 13,3 \cdot (1 - 15 / 100) \cdot 1 \cdot 10^{-6} = 0,006783 \text{ ტ/წელ};$$

$$G = 103 \cdot 0,011305 \cdot 1 / 3600 = 0,0031403 \text{ გ/წმ};$$

342. აირადი ფტორიდები

$$Mbi = 1 \cdot 0,75 \cdot (1 - 15 / 100) \cdot 10^{-3} = 0,0006375 \text{ კგ/სთ};$$

$$M = 600 \cdot 0,75 \cdot (1 - 15 / 100) \cdot 1 \cdot 10^{-6} = 0,0003825 \text{ ტ/წელ};$$

$$G = 103 \cdot 0,0006375 \cdot 1 / 3600 = 0,0001771 \text{ გ/წმ};$$

344. მნელად ხსნადი ფტორიდები

$$Mbi = 1 \cdot 3,3 \cdot (1 - 15 / 100) \cdot 10^{-3} = 0,002805 \text{ კგ/სთ};$$

$$M = 600 \cdot 3,3 \cdot (1 - 15 / 100) \cdot 0,4 \cdot 10^{-6} = 0,0006732 \text{ ტ/წელ};$$

$$G = 103 \cdot 0,002805 \cdot 0,4 / 3600 = 0,0003117 \text{ გ/წმ};$$

2908. არაორგანული მტვერი (70-20% SiO₂)

$$Mbi = 1 \cdot 1,4 \cdot (1 - 15 / 100) \cdot 10^{-3} = 0,00119 \text{ კგ/სთ};$$

$$M = 600 \cdot 1,4 \cdot (1 - 15 / 100) \cdot 0,4 \cdot 10^{-6} = 0,0002556 \text{ ტ/წელ};$$

$$G = 103 \cdot 0,00119 \cdot 0,4 / 3600 = 0,0001322 \text{ გ/წმ};$$

ვინაიდან ზემოთ აღნიშნული ტექნიკა არ წარმოადგენენ სტაციონარულ წყაროებს (ისინი წარმოადგენენ მოძრავ წყაროებს) ამიტომ მათ მიერ ატმოსფერულ ჰაერში გამოყოფილი მავნე ნივთიერებებზე არ დგინდება გაფრქვევის ნორმები, ასევე არ ხორციელდება მიწისპირა კონცენტრაციების ანგარიში პროგრამული საშუალებით.

2.1.6 ემისია ინერტული მასალის (ნიადაგი, ინერტული მასალა) შენახვისას.

მტვრის მაქსიმალური ერთჯერადი ემისიის გაანგარიშება ფხვიერი მასალის შენახვისას ხორციელდება ფორმულით:

$$MXP = K4 \cdot K5 \cdot K6 \cdot K7 \cdot q \cdot F_{PIL} + K4 \cdot K5 \cdot K6 \cdot K7 \cdot 0,11 \cdot q \cdot (F_{PIL} - F_{PAB}) \cdot (1 - \eta), \text{გ/წმ}$$

სადაც,

K4 - კოეფიციენტი, რომელიც ითვალისწინებს ადგილობრივ პირობებს, კვანძის დაცულობის ხარისხს გარეშე ზემოქმედებისაგან, ამტვერების პირობებს;

K5 - კოეფიციენტი, რომელიც ითვალისწინებს მასალის ტენიანობას;

K6 - კოეფიციენტი, რომელიც ითვალისწინებს დასასაწყობებელი მასალის ზედაპირის პროფილს;

K7 - კოეფიციენტი, რომელიც ითვალისწინებს მასალის ზომებს;

F_{PAB} - ფართი გეგმაზე, რომელზედაც სისტემატიურად მიმდინარეობს დასასაწყობების სამუშაოები, მ^2

F_{PIL} - ამტვერების ზედაპირის ფართი გეგმაზე, მ^2 ;

q - მტვრის კუთრი ამტვერების მაქსიმალური სიდიდე, გ/(მ²*წმ);

η - გაფრქვევის შემცირების ხარისხი მტვერდამხშობი სისტემის გამოყენებისას.

კოეფიციენტ K6 -ის მნიშვნელობა განისაზღვრება ფორმულით:

$$K6 = F_{MAXC} / \tau F_{PIL}$$

სადაც,

F_{MAXC} - საწყობის მაქსიმალურად შევსებისას დასასაწყობებელი მასალის ზედაპირის ფაქტიური ფართი საწყობის მაქსიმალურად შევსებისას, მ^2 ;

მტვრის კუთრი ამტვერების მაქსიმალური სიდიდე განისაზღვრება ფორმულით: გ/(მ²*წმ);

q = 10-3 · a · U_b, გ/(მ²*წმ);

სადაც,

a და b - ემპირიული კოეფიციენტებია, რომლებიც დამოკიდებულია გადასატვირთი მასალის ტიპზე; U_b - ქარის სიჩქარე, მ/წმ.

მტვრის ჯამური წლიური ემისიის გაანგარიშება ფხვიერი მასალის შენახვისას ხორციელდება ფორმულით:

$$\Pi_{XP} = 0,11 \cdot 8,64 \cdot 10^{-2} \cdot K4 \cdot K5 \cdot K6 \cdot K7 \cdot q \cdot F_{PIL} \cdot (1 - \eta) \cdot (T - T_d - T_c) \text{ ტ/წელ};$$

სადაც,

T - ი მასალის შენახვის საერთო დრო განსახილველ პერიოდში (დღე);

T_d - წვიმიან დღეთა რიცხვი;

T_c - მდგრადი თოვლის საფარიან დღეთა რიცხვი;

შესაბამისი საანგარიშო პარამეტრების გამოყენებით ატმოსფერულ ჰაერში დამაბინძურებელ ნივთიერებათა მაქსიმალური ერთჯერადი და წლიური გამოყოფის გაანგარიშება მოცემულია ქვემოდ.

$$q = 10 \cdot 3 \cdot 0,0135 \cdot 3,92987 = 0,0007868 \text{ г}/(\partial^2/\sqrt{\partial});$$

$$M = 1 \cdot 0,1 \cdot 1,6 \cdot 0,5 \cdot 0,0007868 \cdot 320 + 1 \cdot 0,1 \cdot 1,6 \cdot 0,5 \cdot 0,11 \cdot 0,0007868 \cdot (300 - 300) = 0,0188823$$

$$\text{г}/\sqrt{\partial};$$

$$G = 0,11 \cdot 8,64 \cdot 10 \cdot 2 \cdot 1 \cdot 0,1 \cdot 1,6 \cdot 0,5 \cdot 0,0007868 \cdot 320 \cdot (366 - 81 - 17) = 0,048 \text{ г}/\sqrt{\partial}.$$

2.2 ხმაურის გავრცელებით მოსალოდნელი ზემოქმედება

პროექტის ფარგლებში ხმაურის გავრცელებით მოსალოდნელი ზემოქმედება დაკავშირებული იქნება, როგორც სატრანსპორტო საშუალებების გადაადგილებასთან, ასევე საცხოვრებელი სახლების მშენებლობასთან. იქიდან გამიმდინარე, რომ საპროექტო ტერიტორიას ამ ეტაპზე მჭიდროდ დასახლებული საცხოვრებელი უბნები ნაკლებად ემიჯნება, ამ მხრის მოსალოდნელი ზემოქმედება ადგილობრივ მაცხოვრებლებთან მიმართებით არ იქნება მაღალი. როგორც მშენებლობის, ასევე ექსპლუატაციის ეტაპზე, სატრანსპორტო ოპერაციების დროს ხმაურის გავრცელებით მოსალოდნელი ზემოქმედების ძირითადი რეცეპტორები იქნებიან ე.წ „მწვანე ქალაქი ლისის“ კომპლექტის მაცხოვრებლები. ხმაურის გავრცელება, რომელიც დაკავშირებული იქნება სატრანსპორტო ნაკადის გადაადგილებასთან მოსალოდნელის ძირითად სამშენებლო სამუშაოების მობილიზების დროს და შემდგომ სამშენებლო ნარჩენების გატანისას.

2.3 ზემოქმედება წყლის გარემოზე

დაგეგმილი საქმიანობის განხორციელებისას ზედაპირულ წყლებზე ზემოქმედება მოსალოდნელი არ არის რადგან საპროექტო ტერიტორიიდან, როგორც მდ. მტკვარი, ასევე ლისის ტბა დიდი მანძილით არის დამორჩებული, რაც შეეხება მიწისქვეშ წყლების დაბინძურებას ამ მხრივაც მოსალოდნელი ზემოქმედების ხარისხი შეიძლება ჩაითვალოს მინიმალური, რადგან როგორც გეოლოგიურ ნაწილში აღინიშნა, ჭაბურღილების გაყვანისას მიწისქვეშა წყლების გამოვლინება არ მოხდარა, მიუხედავად ამისა მნიშვნელოვანია ყველა იმ შემარბილებელი ღონისძიებების გატარება, რომელიც უზრუნველყოფს გრუნტის ხარისხის დაცვას.

სამშენებლო სამუშაოების დროს ზედაპირული წყლის ობიექტში წყალჩაშვებას ადგილი არ ექნება, მშენებლობის ფაზაზე სამშენებლო მოედნის მიმდებარედ მოეწყობა ბიოტუალეტები, კომპლექსის ექსპლუატაციის ეტაპზე სამეურნეო-ფეკალური წყლების დაერთება მოხდება ქალაქის ერთიანს საკანალიზაციო სისტემაზე.

2.4 ზემოქმედება ნიადაგის ნაყოფიერ ფენაზე და გრუნტზე

საპროექტო ტერიტორიის ფარგლებში და მის მიმდებარედ ჩამოყალიბებულია ტიპიური ტექნოგენური ლანდშაფტი, მიუხედავად ამისად, სამშენებლო სამუშაოების პროცესში ისეთ ადგილებზე, სადაც შესაძლებელი იქნება ნიადაგის ნაყოფიერი ფენის მოხსნის, შენახვის, გამოყენების და რეკულტივაციის სამუშაოები განხორციელდება „ნიადაგის ნაყოფიერი ფენის მოხსნის, შენახვის, გამოყენების და რეკულტივაციის შესახებ“ საქართველოს მთავრობის 2013 წლის 31 დეკემბრის N424 დადგენილებით დამტკიცებული ტექნიკური რეგლამენტით

გათვალისწინებული მოთხოვნების შესაბამისად. გამომდინარე აღნიშნულიდან სამშენებლო სამუშაოების პროცესში, ასევე ოპერირების ეტაპზე ნიადაგის ნაყოფიერი ფენის განადგურება-დაბინძურების რისკები ძალზედ დაბალია.

ნიადაგის ხარისხზე ზემოქმედება შეიძლება მოახდინოს ნარჩენების არასწორმა მართვამ (როგორც მყარი, ისე თხევადი), მასალების და ნედლეულის შენახვის წესების დარღვევამ, ასევე სატრანსპორტო საშუალებებიდან საწვავის/საპოხი მასალების შემთხვევითმა დაღვრამ, აღნიშნული რისკების შემცირების მიზნით არ დაიშვება (სასტიკად აკრძალულია):

- ტერიტორიის ჩახერგვა ლითონის ჯართით, სამშენებლო ნაგვითა და სხვა ნარჩენებით;
- სამონტაჟო-სარემონტო სამუშაოების და საწარმოო ოპერაციების განხორციელების ტერიტორიებზე ნებისმიერი სახის ნარჩენების დაღვრა, გადაყრა, ან დაწვა;
- გაუმართავი სატრანსპორტო საშუალებების გადაადგილება.

მიზანმიმართული გარემოსდაცვითი მენეჯმენტისა და შემარბილებელი ღონისძიებების შესრულების პირობებში ნიადაგზე მნიშვნელოვანი ზემოქმედება არ არის მოსალოდნელი.

2.5 ზემოქმედება გეოლოგიურ გარემოზე

2.5.1 გეომორფოლოგიური პირობები

საქართველოს ტერიტორიის გეომორფოლოგიური დარაიონების რუკის მიხედვით საკვლევი ტერიტორია მიეკუთვნება სამხრეთ საქართველოს მთიანეთის ზონის, საშუალო სიმაღლის მთა-ხეობებიანი რელიეფის ქვეზონას, აღმავალი მოძრაობებით, რომელიც განვითარებულია მესამეული ასაკის ვულკანოგენურ-დანალექი წყებების ნაოჭა სტრუქტურებზე. აღნიშნული ქვეზონისათვის დამახასიათებელია დენუდაციურ - ეროზიული, აკუმულაციური და მეწყრული რელიეფის ტიპები. ტერიტორია უშუალოდ მოქცეულია ლისის ტბის მიმდებარედ, რომელიც აგებულია შუა და ზედა ოლიგოცენური ასაკის ქვიშაქვებით და არგილიტებით. საკვლევ ტერიტორიაზე მეოთხეული საფარის სიმძლავრე დაბალია და უმეტესად გაშიშვლებულია ძირითადი ქანები, რომელებიც ზედაპირზე ინტენსიურად გამოფიტული და ეროზირებულია.

2.5.2 გეოლოგიური აგებულება

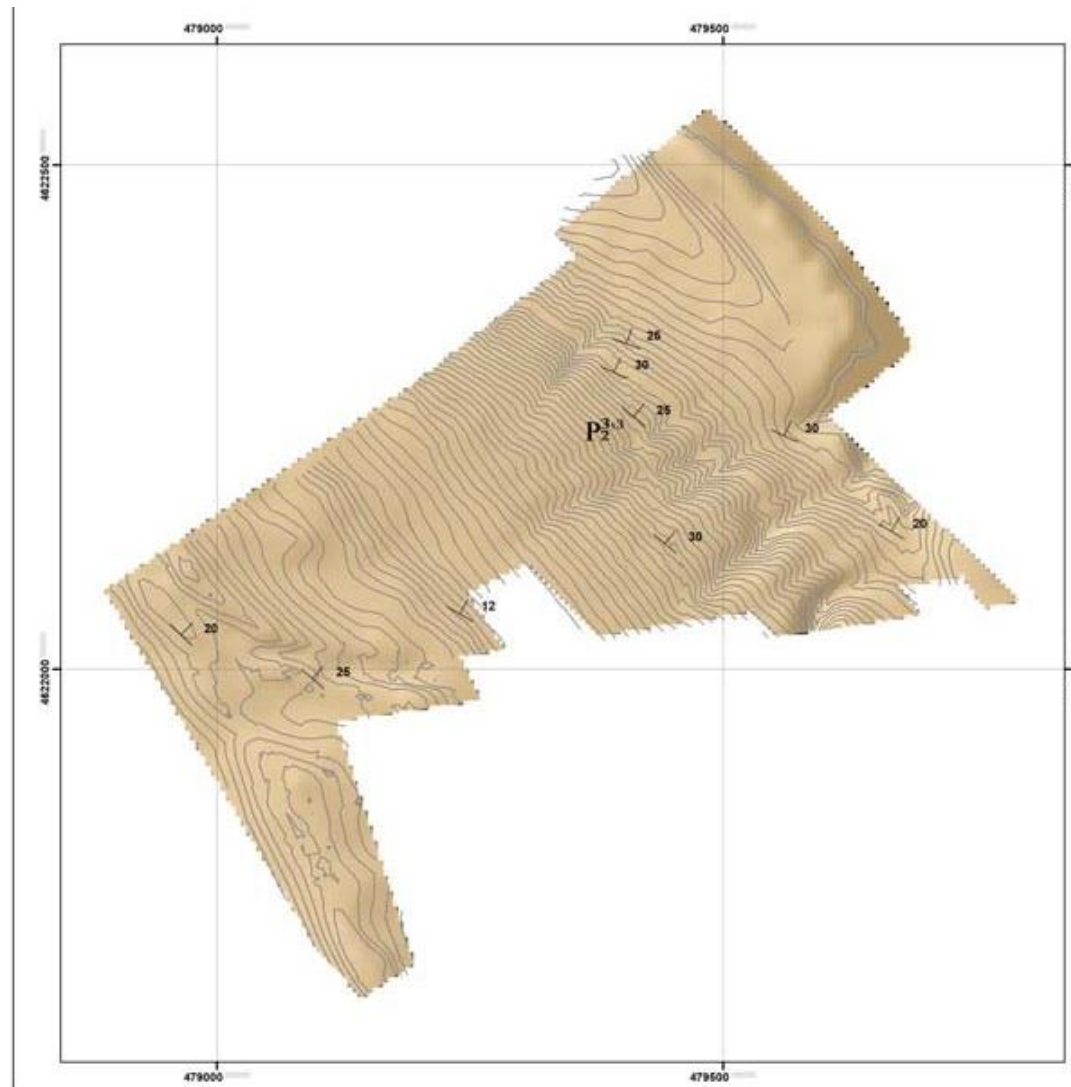
საკვლევი ტერიტორია, საქართველოს ტექტონიკური დანაწევრების სქემის მიხედვით, განლაგებულია აჭარა-თრიალეთის ნაოჭა ზონის სამხრეთის ქვეზონაში (ე. გამყრელიძე. 2000).

ტერიტორიის ფარგლებში ყველაზე მსხვილ ნაოჭა სტრუქტურას წარმოადგენს ლისის ანტიკლინი, რომელიც აგებულია შუა და ზედა ოლიგოცენური ნალექებით. პალეოგენური ასაკის ნალექების ჭრილში ყველაზე ახალგაზრდა ნალექებია შუა და ზედა ოლიგოცენური (Pg³⁺³). იგი შიშვლდება ლისის ანტიკლინის ორივე ფრთაში და სრულად მოიცავს საკვლევ ტერიტორიას.

აღნიშნული ნალექები ჭრილში ერთმანეთისგან დიფერენცირებული არ არის. მათი საზღვრების დადგენა ძალზე ძნელია ფაუნის სიმწირისა და ქანების ერთგვაროვნების გამო. ამიტომ შუა და ზედა ოლიგოცენური ნალექები ჭრილში გაერთიანებულია. ისინი ლითოლოგიურად წარმოდგენილი არიან ქვიშიან-თიხიანი ნალექებით, სადაც გაბატონებულია სქელშრეებრივი ქვიშაქვები, რომელიც მორიგეობს შედარებით უფრო რბილ და თხელშრეებრივ არგილიტებთან და ალევროლიტებთან. ქვიშაქვები ძირითადად ნაცრისფერი ან მომწვანო-ნაცრისფერია, გრანულომეტრია წვრილიდან მსხვილ მარცვლოვნამდე მერყეობს.

საკვლევი ტერიტორიის გარკვეულ ნაწილში პალეოგანური ნალექები გადაფარულია მეოთხეული ასაკით საფარი გრუნტებით. მეოთხეული ასაკის ნალექები ძირითადად წარმოდგენილია დელუვიურ-პროლუვიური (მცირე სიძლავრის) და ტექნოგენური წარმონაქმნებით.

რუკა 1 საკვლევი ტერიტორიის გეოლოგიური რუკა



ლეგენდა

P₂³⁺³

შეცა და ზედა ოლიგოდენური ასაკის
სამუალო და სქელ შრეებრივი ჰაიმაკები
არგილიტების თხელი შუაშრეცხით

20

შრის წოლის ელემენტი

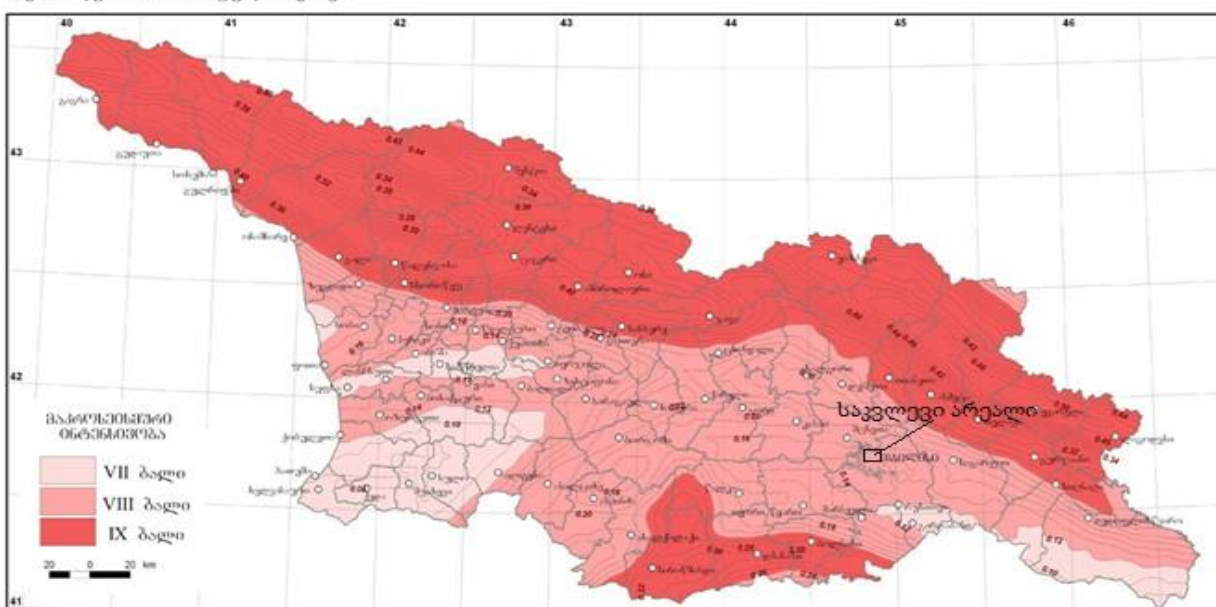
პრიტკის დასხელება	მიწის ნაკვეთების ზოგადი სამუალო-გრილეზური კლასი
შესრულებული	დაფილ ნაბილობი მიწის მქონე

2.5.3 ტექტონიკა და სეისმურობა

საქართველოს ტექტონიკური დანაწევრების სქემის მიხედვით საკვლევი ტერიტორია მოქცეულია აჭარა-თრიალეთის ნაოჭა ზონის სამხრეთის ქვეზონაში (ე. გამყრელიძე, 2000). ტერიტორიის ფარგლებში ყველაზე მსხვილ ნაოჭა სტრუქტურას წარმოადგენს საქართველოს ტერიტორიის სეისმური დარაიონების კორექტირებული სქემის მიხედვით საკვლევი ტერიტორია MSK64 სკალის შესაბამისად მიეკუთვნება 8 ბალიანი სეისმური აქტივობის ზონას, (საქართველოს ეკონომიკური განვითარების მინისტრის ბრძანება №1- 1/2284, 2009 წლის 7 ოქტომბერი, ქ. თბილისი. სამშენებლო ნორმების და წესების „სეისმომედეგი მშენებლობა“ (პნ 01.01-09).

რუკა 2 სეისმური საშიშროების რუკა

სიმაგრე სამიმროებელი რეაქტური მართვის სამსახური
მაქსიმალური პაროზონის აღნიშვნება



2.6 ჰიდროგეოლოგიური პირობები

საქართველოს ჰიდროგეოლოგიური დარაიონების მიხედვით საკვლევი ტერიტორია მიეკუთვნება მცირე კავკასიონის ნაოჭა-ბელტური სისტემის ჰიდროგეოლოგიური ოლქის აჭარა-თრიალეთის ნაოჭა ზონის ჰიდროგეოლოგიური რაიონის აღმოსავლეთ დამირვის ჰიდროგეოლოგიური ადმასივს (ბ. ზაუტაშვილი, ბ. მხეიძე, 2011), ხოლო ი. ბუაჩიძის (1970) მიხედვით საკვლევი ტერიტორია აჭარა-თრიალეთის ნაოჭა ზონის წყალწნევიანი სისტემების ჰიდროგეოლოგიური ოლქის ნაპრალური წყლების თბილისის წყალწნევიან სისტემას მიეკუთვნება. ეს ოლქი სხვებისგან მრავალფეროვანი გეოლოგიური აგებულებითა და ჭრელი მორფოლოგიური აღნაგობით გამოირჩევა და სხვადასხვა ტიპის ჰიდროგეოლოგიურ ტაქსონომებს აერთიანებს. იგი წარმოადგენს აჭარა-ტრიალეთის ნაოჭა ზონის აღმოსავლეთ დაბოლოებას, რომელსაც დიდი ინტენსიონით ხერხავს მდ. მტკვარი და მისი შენაკადები. რის გამოც, რაიონის რელიეფი ძლიერ დანაწევრებულია და ცდება აქტიური ცირკულაციის ზონის მიწისქვეშა წყლების დრენაჟს. კლიმატური თვალსაზრისით, რაიონი ორ განსხვავებულ

ზონად იყოფა: დასავლეთ ნაწილში გაბატონებულია სუბტროპიკული ტენიანი კლიმატი, ხოლო აღმოსავლეთში – კონტინენტური, ზომიერად ტენიანი. აზევება გვევლინება ჰიდროგეოლოგიურ წყალგამყოფად და განსაზღვრავს ცირკულაციის ქვედა ზონის მიწისქვეშა წყლების მოძრაობის რეგიონალურ მიმართულებებს. გარდა აღნიშნული ტექტონიკური თავისებურებისა, აჭარა-თრიალეთის ნაოჭა ზონის პერიფერიაზე განვითარებულია ნეოგენური ნალექებით ამოვსებული ღრმულები, სადაც ხელსაყრელი პირობები ჩამოყალიბდა მცირე არტეზიული აუზების წარმოსაქმნელად. განვიხილავთ აჭარა- თრიალეთის ნაოჭა ზონის აღმოსავლეთ დაძირვის (საკვლევი ტერიტორია) ჰიდროგეოლოგიურ ადმასივს, რომლის გეოლოგიურ აგებულებაში მონაწილეობს ეოცენური და ოლიგოცენური ასაკის ნალექები. მეოთხეული და თანამედროვე ალუვიური და ალუვიურ- პროლუვიური ნალექები წარმოდგენილია ადმასივის აღმოსავლეთ ნაწილში. აღმოსავლეთ დაძირვის ადმასივის ფარგლებში ფართოდაა გავრცელებული ნაპრალოვანი ტიპის გრუნტის წყლები, რომლებიც განვითარებულია ანადეზიტ-ბაზალტების ლავურ განფენებსა და ნაკადებში, შუაეოცენურ ვულკანოგენურ-დანალექ წარმონაქმნების და ქვედა ეოცენურ-ზედაცარცული ნალექების ელუვიურ ზონაში. ესაა სუსტად მინერალიზებული HCO_3-Ca –იანი წყლები. ფორმოვანი გრუნტის წყლები წყვეტილადა გავრცელებული დელუვიურ-პროლუვიურ წარმონაქმნებში, რომლებიც განვითარებულია მირითადად შუა ეოცენურ ვულკანოგენებში. ადმასივის აღმოსავლეთ დაძირვის რაიონში ფართოდაა წარმოდგენილი აზოტიანი თერმები. რესურსებითა და სამეურნეო მნიშვნელობით გამოირჩევა თბილისის თერმული წყლების საბადო, რომელზეც ათიოდელრმა ჭაბურღილით (სიღრმე 3700 მ-დე) მირითადად ეოცენური ნალექებიდან მიღებულია აზოტიანი, გოგირდწყალბადიანი, სუსტად მინერალიზებული (0.2-0.6 გ/ლ), ჭრელი იონური შედეგნილობის თერმული წყალი, ტემპერატურით 37-38°C-დან (თბილისის ბალნეოკურორტი), 68-70°C-დე (თბილისის იპოდრომი, ვაშლიჯვარი).

რაც შეხება ატმოსფერული ნალექების გავლენას, უნდა აღინიშნოს, რომ ქ. თბილისის ტერიტორიის ფარგლებში გამოყოფილია რამოდენიმე მსხვილი ნაოჭა სტრუქტურა, რომლის ფრთების დახრის კუთხე ფართო დიაპაზონში იცვლება. მეოთხეული საფარის სიმცირის გამო უხვი ატმოსფერული ნალექების დროს ვერ ხერხდება ზედაპირული წყლების სწრაფი ინფილტრაცია და დროებითი ნაკადების სახით მოედინება ზედაპირზე, რაც ხელს უწყობს ჩახრამვებსა და ეროზიულ პროცესებს. გარდა ამისა საკვლევი ტერიტორიის ფარგლებში გასათვალისწინებელია ტბიურ-ჭაობურ ნალექებთან დაკავშირებული გრუნტის წყლები. მსგავსი ტიპის წყლები გვხვდება როგორც ლისის ტბის, ასევე დიღმის დეპრესიაში, დიდი დიღომის, საბურთალოსა და გლდანის ტერიტორიაზე. მათი სიღრმე მერყეობს 0.1-7.0 მეტრამდე და წარმოდგენილია სულფატურ-კალციუმიან- მაგნიუმიანია წყლებით. იქ სადაც დროებითი ტბებია შეინიშნება სულფიდების და მარილების კრისტალების გამონაყოფები.

2.6.1 საკვლევი ტერიტორიის დარაიონება გეოლოგიური საფრთხეების გათვალისწინებით

2.6.1.1 ჩატარებული კვლევები და მათი შედეგები

საკვლევ ტერიტორიაზე გეოლოგიური საფრთხეების ზონირების რუკის შედგენისათვის შპს გეო-ლოგიკ-ის მიერ განხორციელდა საველე და კამერალური სამუშაოების კომპლექსი. საველე სამუშაოების პროცესში მოხდა გამოსაკვლევი ტერიტორიის ვიზუალური შეფასება, ტერიტორიაზე არსებული გეოდინამიკური პროცესების გამოვლენა და მათი საველე აღწერა.

ასევე დადგინდა, ქვათაცვენების, დახრამვების და სხვა გეოდინამიკური პროცესების მდებარეობა, გავრცელება და მასშტაბები. კლდოვანი ქანების გაშიშვლებებში ჩატარდა საველე გეომექანიკური აღწერები და განხორციელდა საინტერესო უბნების ფოტოგრაფირება. კამერალური სამუშაოების უტაპზე განხორციელდა ფონდური გეოლოგიური მასალის ანალიზი, დამუშავდა საველე კვლევების დროს მოპოვებული ინფორმაცია და პროგრამა ArcGIS-ის გამოყენებით მოხდა რელიეფის დახრილობის, ექსპოზიციის და გეოდინამიკური პირობების შესაბამისად ტერიტორიების დიფერენცირება. ამავე პროგრამით განხორციელდა გეოლოგიური საფრთხეებს ზონირების რუკის შექმნა. გამოკვლეული ტერიტორია წარმოადგენს ე.წ ვაშლიჯვრის ფერდობის ზედა ნაწილს და მოქცეულია ლისის ანტიკლინის ჩრდილოეთ ფრთაში.

უშუალოდ საკვლევი ტერიტორია წარმოდგენას ჩრდილო აღმოსავლეთური ექსპოზიციის მქონე ფერდობს, რომელიც დასერილია სხვადასხვა ზომის მშრალი ხევებით. ტერიტორიის უმეტეს ნაწილში გაშიშვლებულია კლდოვანი ქანები, რომელიც წარმოდგენილია სქელი და სამუალო შრეებირივი ქვიშაქვებით, არგილიტების თხელი შუაშრეებით. კლდოვანი ქანები ზედაპირზე ინტენსიურად გამოფიტული და ნაპრალოვანია. შრეების დაქანება და დახრის კუთხე ძირითადად ფერდობების ექსპეზიციისა და მისი ზედაპირის დახრილობის თანხვედრილია (დაქანების აზიმუტი 020-045, დახრის კუთხე 12-30°) და ტერიტორიის მხოლოდ მცირე ნაწილზე არის საპირისპირო მიმართულების. კვლევების პროცესში კლდოვან გაშიშვლებებზე ჩატარდა საველე გეომექანიკური აღწერები, რისი დამუშავების შედეგადაც განისაზღვრა ქანის მასის რეიტინგი (RMR) და ქანის ხარისხის მაჩვენებელი (Q); მიღებული შედეგების მიხედვით ქანის მასის რეიტინგი (RMR) მერყეობს 46-დან 51-მდე, ხოლო ქანის ხარისხის მაჩვენებელი (Q) 0,48-დან 0,73-მდე. საკვლევ ტერიტორიაზე კლდოვანი ქანები იშვიათად გადაფარულია მცირე სიმძლავრის მეოთხეული ნალექებით, რომელიც წარმოდგენილია ღია ყავისფერი, თიხებითა და თიხნარებით, სხვადასხვა ზომის ღორღის შემცველობით (დელუვიური- პროლუვიური).

საკვლევ უბანზე გავრცელებული გეოდინამიკური პროცესებიდან აღსანიშნავი ეროზიული და ქვათაცვენითი მოვლენები.

ფერდობზე მრავლად ვხვდებით მაღალი დახრილობის მშრალი ხევებს, სადაც უხვი ატმოსფერული ნალექების დროს დროებითი ზედაპირული ნაკადების ზეგავლენით ხდება წარეცხვები და დახრამვები. რაც შეეხება ქვათაცვენით პროცესებს, მათი გავრცელება ლოკალურია და ძირითადად ფიქსირდება ტერიტორიის უკიდურეს ჩრდილო- აღმოსავლეთ ნაწილში მდებარე მაღალი დახრილობის კლდოვან ფერდობებზე.

აღნიშნულ გეოდინამიკურ პროცესებთან ერთად, ფერდობის საინჟინრო-გეოლოგიურ პირობებზე უარყოფით გავლენას ახდენს ის გარემოებაც, რომ ფერდობის ამგები ქანების შრის წლოლის ელემენტები, დაქანების აზიმუტი და დახრის კუთხე თანხვედრაშია ფერდობის ზედაპირის დახრილობასა და ექსპოზიციასთან. ამიტომ გრძელვადიან პერიოდში აღნიშნულ ფერდობზე საინჟინრო საქმიანობის დაგეგმვისა და განხორციელების დროს განსაკუთრებული ყურადღება უნდა მიექცეს აღნიშნულ გარემოებას.

სურათი 2 საპროექტო ტერიტორიის ზოგადი ხედები



2.6.1.2 კვლევის შედეგების შეჯამება

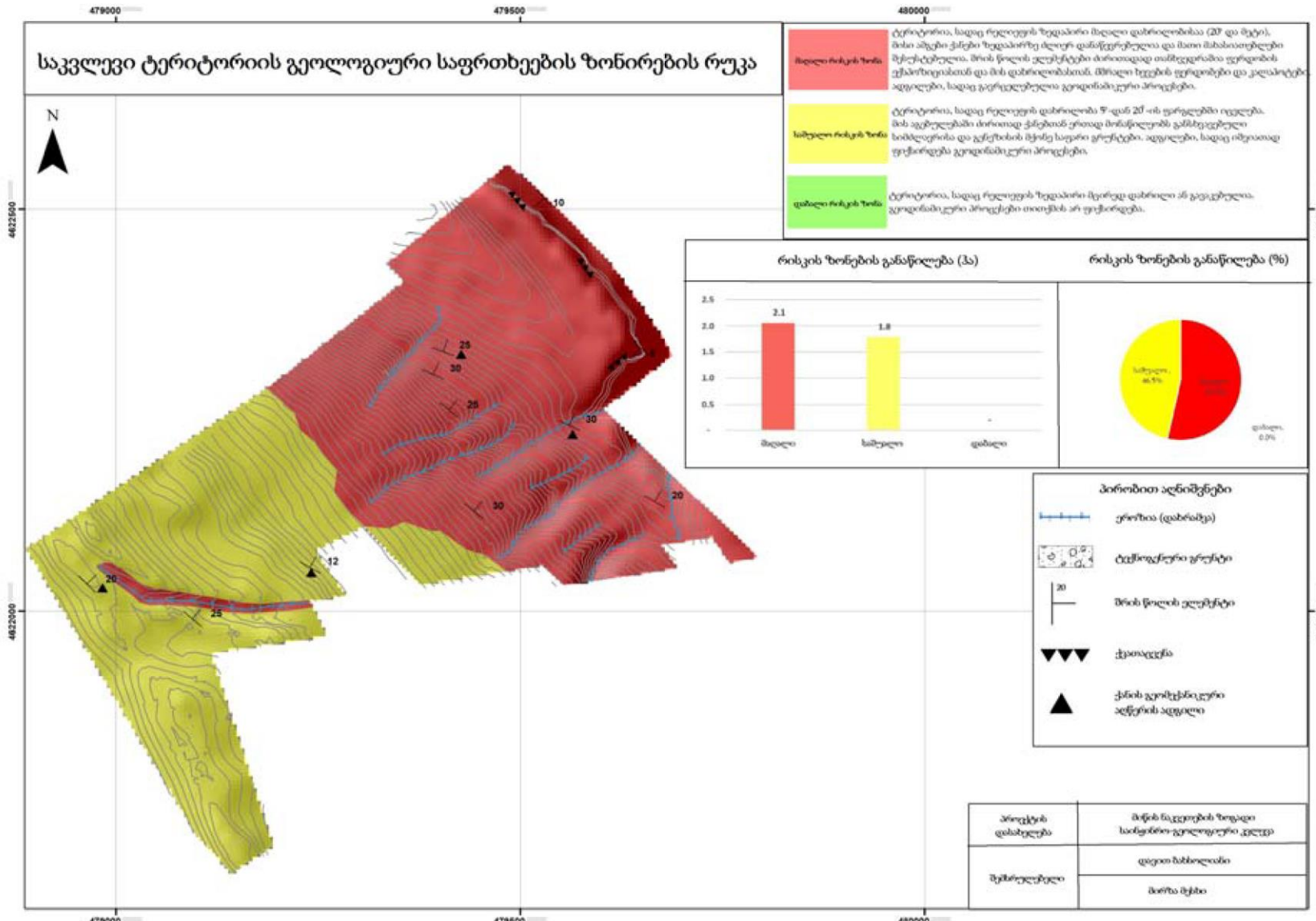
ჩატარებული საველე კვლევების შედეგად მოპოვებული მონაცემების და პროგრამა ArcGIS- ში ციფრული სასიმაღლო მოდელის (DEM) დამუშავებით მიღებული რელიეფის დახრილობის, ფერდობის უქსპოზიციის და გეოდინამიკური პირობების გათვალისწინებით, გამოკვლეულ ტერიტორიაზე გამოიყო გეოლოგიური საფრთხეების ზონები, რის მიხედვითაც აღმოჩნდა, რომ გამოკვლეული ტერიტორია მოქცეულია გეოლოგიური საფრთხეების საშუალოს და მაღალი რისკის ზონაში.

მაღალი რისკის ზონა - ტერიტორია, სადაც რელიეფის ზედაპირი მაღალი დახრილობისაა (20° და მეტი), მისი ამგები ქანები ზედაპირზე ძლიერ დანაწევრებულია და მათი მახასიათებლები

შესუსტებულია. შრის წოლის ელემენტები ძირითადად თანხვედრაშია ფერდობის ექსპოზიციასთან და მის დახრილობასთან. მშრალი ხევების ფერდობები და კალაპოტები. ადგილები, სადაც გავრცელებულია გეოდინამიკური პროცესები.

საშუალო რისკის ზონა - ტერიტორია, სადაც რელიეფის დახრილობა 5° -დან 20° -ის ფარგლებში იცვლება. მის აგებულებაში ძირითად ქანებთან ერთად მონაწილეობს განსხვავებული სიმძლავრისა და გენეზისის მქონე საფარი გრუნტები. ადგილები, სადაც იშვიათად ფიქსირდება გეოდინამიკური პროცესები.

რუკა 3 გეოლოგიური საფრთხეების ზონირების რუკა



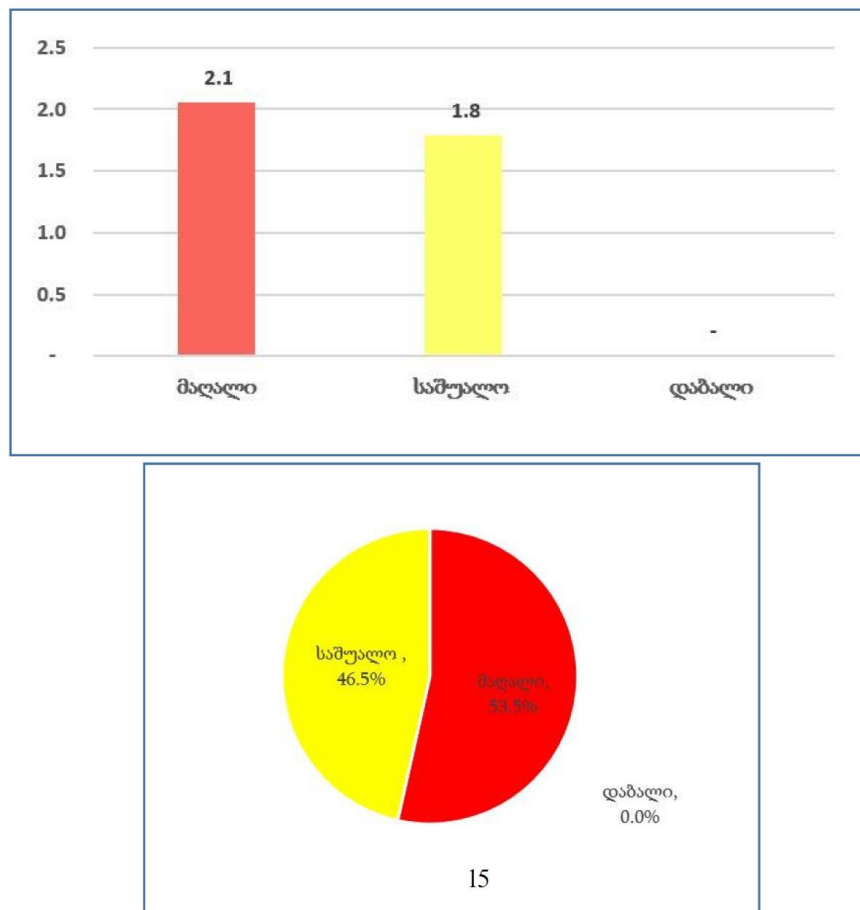
როგორც მომზადებულ რუკაზე ჩანს, მაღალი რისკის ზონები ძირითადად გავრცელებულა საკვლევი ტერიტორიის ჩრდილო-აღმოსავლეთ ნაწილში, ხოლო საშუალო რისკის ზონა ტერიტორიის სამხრეთ-დასავლეთ ნაწილს წარმოდგენს. დაბალი რისკის ზონები გამოკვლეულ ტერიტორიაზე არ ფიქსირდება.

შედგენილი რუკის მიხედვით, ასევე დგინდება გამოკვლეულ ტერიტორიაზე რისკის ზონების ფართობული და პროცენტული განაწილება. რაც გამოიყურება შემდეგი პროპორციით.

- ✓ მაღალი რისკის ზონა გავრცელებულია 2.1 ჰექტარზე, რაც მთლიანი ტერიტორიის 53.5 %-ს შეადგენს.
- ✓ საშუალო რისკის ზონა გავრცელებულია 1.8 ჰექტარზე, რაც მთლიანი ტერიტორიის 46.5 %-ს შეადგენს,

რისკის ზონები ფართობულად და პროცენტულად, ასევე ნაჩვენებია ქვემოთ მოცემულ გრაფიკებზე.

ნახაზი 4 რისკის ზონები ფართობულად და პროცენტულად



2.6.2 სამშენებლო მოედნის ამგები ქანების საინჟინრო გეოლოგიური დახასიათება

სამშენებლო მოედანზე მისი საინჟინრო-გეოლოგიური შესწავლისათვის გაბურღული 17 ჭაბურღლილის განლაგება მოცემულია ნახაზზე 5, ხოლო მათი ჭრილები ნახაზზე 6.

წინასწარ ჩატარებული საველე კვლევების შედეგად, გამოკვლეულ ტერიტორიაზე გამოიყო გეოლოგიური საფრთხეების ზონები, გამოკვლეული ტერიტორია მოქცეულია გეოლოგიური საფრთხეების საშუალოს და მაღალი რისკის ზონაში. მაღალი რისკის ზონა - ტერიტორია, სადაც რელიეფის ზედაპირი მაღალი დახრილობისაა (20° და მეტი), მისი ამგები ქანები ზედაპირზე ძლიერ დანაწევრებულია და მათი მახასიათებლები შესუსტებულია. მრის წოლის ელემენტები ძირითადად თანხვედრაშია ფერდობის ექსპოზიციასთან და მის დახრილობასთან. მაღალი რისკის ზონები ძირითადად გავრცელებულა საკვლევი ტერიტორიის ჩრდილო-აღმოსავლეთ ნაწილში, იგი გავრცელებულია 2.1 ჰექტარზე, რაც მთლიანი ტერიტორიის 53.5 %-ს შეადგენს. საშუალო რისკის ზონა - ტერიტორია, სადაც რელიეფის დახრილობა 5° -დან 20° -ის ფარგლებში იცვლება. მის აგებულებაში ძირითად ქანებთან ერთად მონაწილეობს განსხვავებული სიმძლავრისა და გენეზისის მქონე საფარი გრუნტები. საშუალო რისკის ზონა ტერიტორიის სამხრეთ-დასავლეთ ნაწილს წარმოდგენს. იგი გავრცელებულია 1.8 ჰექტარზე, რაც მთლიანი ტერიტორიის 46.5 %-ს შეადგენს, დაბალი რისკის ზონები გამოკვლეულ ტერიტორიაზე არ ფიქსირდება. ჭაბურღლილების ბურღვით დადგენილია, რომ შესწავლილ უბანზე გვხვდება მცირე სიმძლავრის მეოთხეული თიხნაროვანი (სგე 1) და ოორულოვანი (სგე 2) გრუნტები, მათი სიმძლავრე 0.3-3.0 მ-ს არ აღემატება. მეოთხეული გრუნტები გადაფარებულია მესამეული ასაკის გრუნტებზე. ქვიშაქვების და არგილიტების მორიგეობა გამოფიტვის მიხედვით იყოფა სამ ნაწილად: ძლიერ გამოფიტული და დანაპრალიანებული ქვიშაქვები, ასევე ძლიერ გამოფიტული თხელშრეებრივი არგილიტების შუაშრეებით (სგე 3). გამოფიტული და დანაპრალიანებული ქვიშაქვები, ასევე გამოფიტული თხელშრეებრივი არგილიტების შუაშრეებით (სგე 4) და მესამე, სუსტად გამოფიტული ქვიშაქვების და თხელშრეებრივი არგილიტების მორიგეობა (სგე 5).

ძლიერ გამოფიტული შრეები - სგე 3 გვხვდება შესწავლილი უბნის ჩრდილო დასავლეთით მათი სიმძლავრე 1.2-1.4 მ-ს არ აღემატება, ნაკლებად გამოფიტული სგე 4 გრუნტების სიმძლავრე 1.5 მ-დან 3.0 მ-დე ცვალებადობს. სუსტად გამოფიტული გრუნტების სიმძლავრე დაძიებულ 7.0 მ-ს აღემატება. არცერთ გამონამუშევარში და არც ბურღვის პროცესში და არც შემდეგ გრუნტის წყალი არ გამოვლენილა. არსებული მასალების და ჩატარებული კვლევების ანალიზი საშუალებას გვაძლევს, შესწავლილ უბანზე გამოვყოთ ხუთი საინჟინრო-გეოლოგიური ელემენტი:

სგე 1 - თიხნარი, ყავისფერი, კარბონატული, ნახევრად მყარი კონსისტენციის, ხვინჭის 15%-მდე ჩანართებით

სგე 2 - ღორღოვანი გრუნტი, საშუალო და წვრილი ზომის, ყავისფერი ნახევრად მყარი კარბონატული თიხნარის 30-40%-მდე შემავსებლით

სგე 3 - ძლიერ გამოფიტული და დანაპრალიანებული მუქი ნაცრისფერი არგილიტების (30%-35%) და ქვიშაქვების (65%-70%) მორიგეობა, არგილიტები თხელშრეებრივი და ზოგან ფურცლოვანი, ქვიშაქვები თხელ და საშუალო შრეებრივი

სგე 4 - გამოფიტული და დანაპრალიანებული მუქი ნაცრისფერი არგილიტების (30%-35%) და ქვიშაქვების (65%-70%) მორიგეობა, არგილიტები თხელშრეებრივი და ზოგან ფურცლოვანი, ქვიშაქვები თხელ და საშუალო შრეებრივი/

სგე 5 - სუსტად გამოფიტული და დანაპრალიანებული მუქი ნაცრისფერი არგილიტების (30%-35%) და ქვიშაქვების (65%-70%) მორიგეობა, არგილიტები თხელშრეებრივი და ზოგან ფურცლოვანი, ქვიშაქვები თხელ და საშუალო შრეებრივი.

სულ ლაბორატორიულად შესწავლილია 30 ნიმუში, მექანიკური მაჩვენებლებიდან განსაზღვრულია წინააღმდეგობა ერთლერძა კუმშვაზე Rc ბუნებრივ მდგომარეობაში, ხოლო სგე 5 გრუნტებისათვის წყალგაჯერებულ მდგომარეობაში.

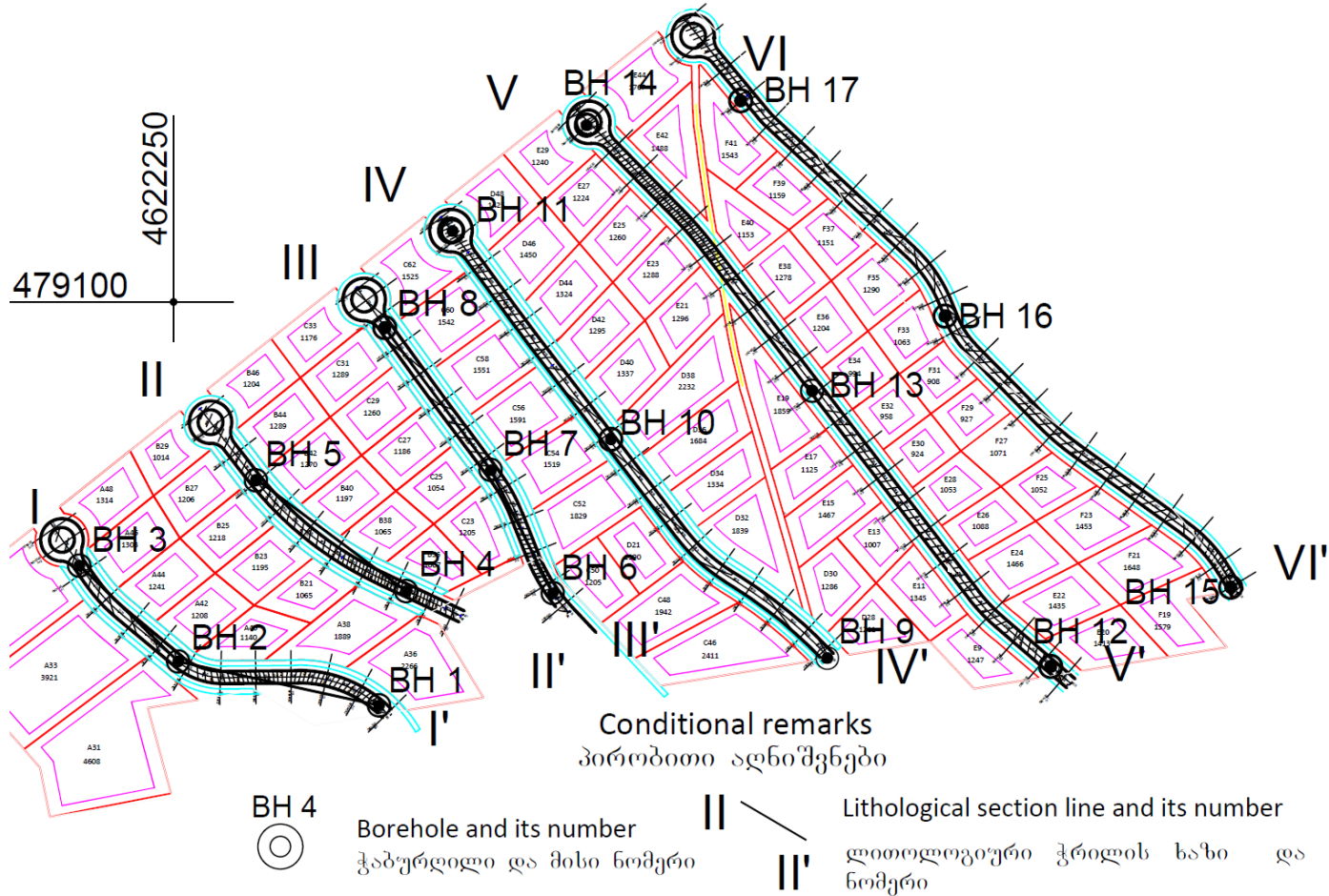
ჭაბურღილებიდან აღებულ 3 ნიმუშს მარილების შემცველობის დასადგენად ჩაუტარდა ლაბორატორიული კვლევა. კვლევის შედეგები მოცემულია დანართებში. ქიმიური შემადგენლობის მიხედვით გრუნტები ხასიათდებიან სულფატურ ჰიდროკარბონატულ კალციუმიანი დამარილიანების ტიპით და არ არიან დამარილიანებული, არ ამჟღავნებენ აგრესიულობას არც ერთი სახის ბეტონების მიმართ.

გრუნტების სეისმურობა დადგენილი იქნა სამშენებლო ობიექტის 8 ბალიანი სეისმურობის ზონაში მდებარეობის და მათი ფიზიკურ-მექანიკური თვისებების გათვალისწინებით. აღნიშნულის თანახმად, სეისმურობის მიხედვით გრუნტები განეკუთვნება II კატეგორიას.

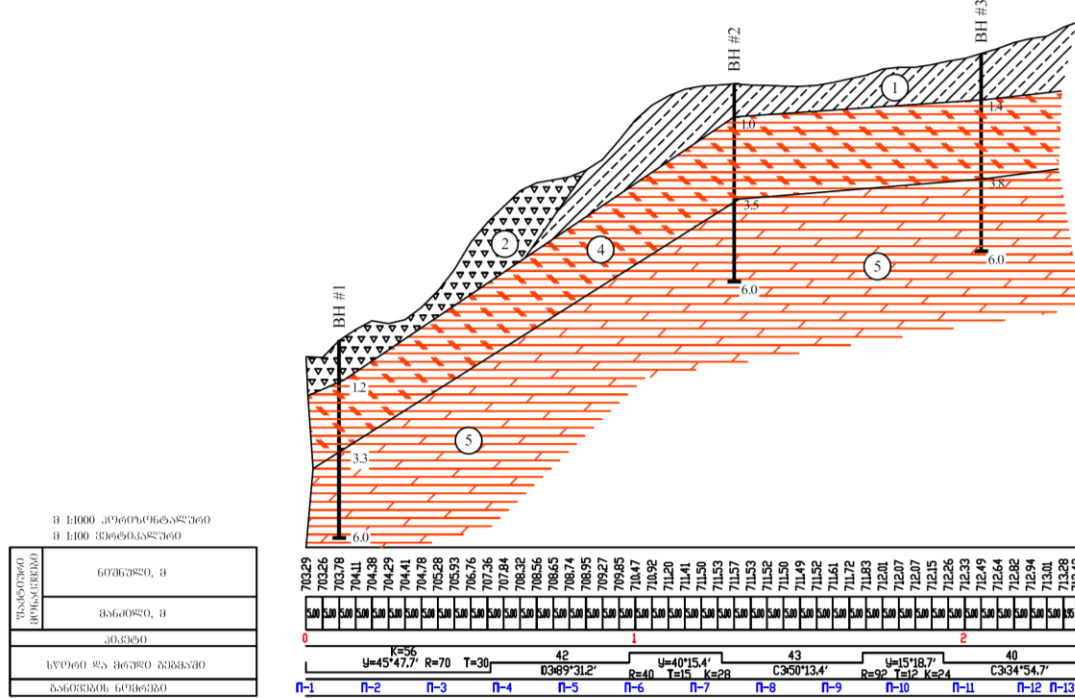
სურათი 3 გრუნტის ნორმატიული მაჩვენებლები

ნახაზი 5 გეოლოგიური ჭაბურღლილების და ჭრილების მდებარეობა

Projecting locations of geological boreholes and section lines
გეოლოგიური ჭაბურღლილების და ჭრილის ხაზების მდებარეობა



ნახაზი 6 ჭრილები



Conditional Remarks



ნიაღაგის ფენ Topsoil

	<p>တစ်များ၊ အနေဖြင့်၊ အရှင်အငွေ့ပျော်၊ လောက်ခြင်းပျော်၊ ပို့ဆောင်ရေး ပုံစံပေါ်ပြုပေး၊ ပြောင်းလဲ ၁၅%-မြှင့် လောက်ခြင်းပျော်</p> <p>Lean clay, brown, carbonated, very stiff, with grit 15% inclusions</p>
---	--

თონისარი, ყველაფერი, ქარბილია ტული, ნახევრად მცირდ
კრისისტალური, ხვინები 15%-მდე ჩინორთვით
Lean clay, brown, carbonated, very stiff, with grit 15%
inclusions

Crushed stones, medium and fine grained, with brown, very stiff, carbonated lean clay filling to 30-40%^a

GE 3 -  არყოფნის მდგრადი (30%-35%) და გრაქტების (65%-70%) მორფოგრადი, არყოფნის თხევაშემცირების და ხელის უკანა მუხლების მიხედვის მიზნებით თხევა და საჭირო მდებრები.

Alternation of extremely weathered and fractured dark grey argillites (30-35%) and sandstones (65-70%); argillites - thin bedded and locally foliated, sandstones - thin and medium bedded

არგილიტების (30%-35%) და ქარბაზების (65%-70%) მორიცველია, არგილიტების თხევაშრებით და ხერად ფურცელდებანი, ქარბაზები თხევა და ხასკველ მდებრისა.

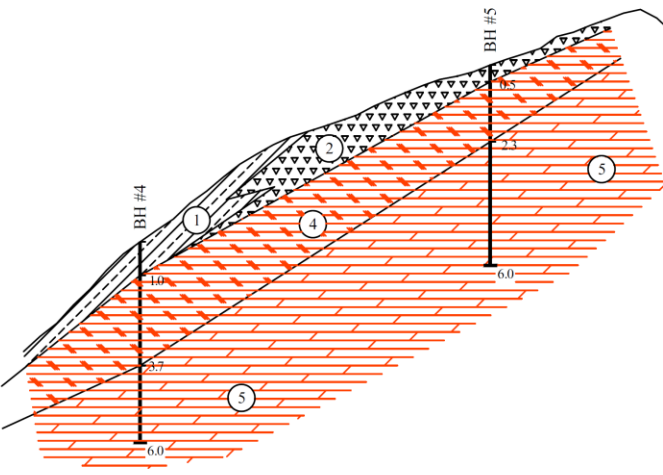
Alternation of extremely weathered and fractured dark grey argillites (30-35%) and sandstones (65-70%); argillites - thin bedded and locally foliated, sandstones - thin and medium bedded

გამოსატევდება და დანერვილური ფრაქცია მთები ნაკრისტონი
აგრეგატების (30%-35%) და ქრისტალი (65%-70%) მარიანის,
აგრეგატების თანაბეჭდებისა და ზოგა ფრაქციების, ქრისტალი
თხებისა და სამკუთრე შეკრებები

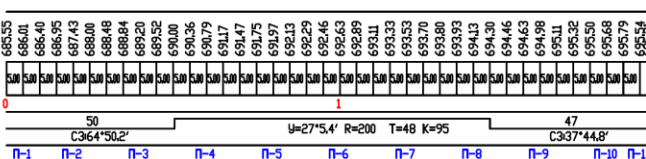
განვითარებული და განვითარებული ქვედა ტერი ნაკრისტანი
არყოფნისტები (30%-35%) და ქრამიქრისტები (65%-70%) მიხრიდისა,
არყოფნისტები თებული მარგალიტები და ზედამ ფერული ლინიტები
აღმოჩენილი იყვნენ მარგალიტები და ზედამ ფერული ლინიტები

GE 5 -  архагогородки (30%-35%) и глинистые сланцы (65%-70%) месторождения, аргиллиты-сланцы месторождения и тонкозернистые глины, глинистые сланцы, глинистые сланцы и тонкозернистые глины

არგილოტექნის (30-35%) და ქარბაზების (65-70%) მიზნებით, არგილოტექნისთვის მურამი და ხერავი ფურცელოვანი, ქარბაზები თეთვე და ხარისხი მდგრადია.



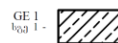
3:1000 3360300000000000
3:100 3360300000000000
3360300000000000
60706000, 3
33603000, 3
33603000
33603000 33603000
33603000 33603000



პირობითი აღნიშვნები
Conditional Remarks



თავისუფალი ფენა
Topsoil



მოხილი, კერძოდ მარტინი, განისაზღვრეთ, ნასერია მცირე
კარბონიტის, ენდიქის 15%-ზეც ჩანაწერი
Lean clay, brown, carbonated, very stiff, with grit 15%
inclusions



კრესტონი გრუზები, საშედეთ და წარმოდგენილი მცირე ნატრიუმის
ნატრიუმის, მარტინი, კარბონიტის მისამართი 30-40%-ს
მცირებული
Crushed stones, medium and fine grained, with brown, very stiff,
carbonated lean clay filling to 30-40%



ძლიერი გრუზები და განამაღლებების მცირე ნატრიუმის
ნატრიუმის (30-35%) და ჭრის ქვების (65-70%) მონოფილის,
არგილიტის თაღდმებების და ზოგან ფრაქციური, ჭრის ქვების
თახე და საშედეთ მცირებული
Alternation of extremely weathered and fractured dark grey argillites (30-35%) and sandstones (65-70%), argillites - thin bedded and locally foliated, sandstones - thin and medium bedded

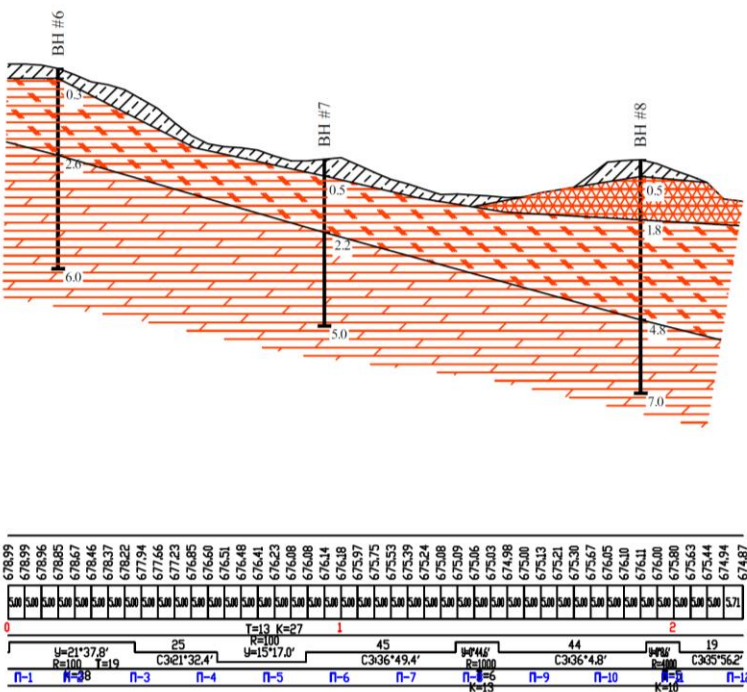


გამოვიტანდი და განამაღლებების მცირე ნატრიუმის
ნატრიუმის (30-35%) და ჭრის ქვების (65-70%) მონოფილის,
არგილიტის თაღდმებების და ზოგან ფრაქციური, ჭრის ქვების
თახე და საშედეთ მცირებული
Alternation of weathered and fractured dark grey argillites (30-35%) and sandstones (65-70%), argillites - thin bedded and locally foliated, sandstones - thin and medium bedded



სუსტირებული და განამაღლებების მცირე ნატრიუმის
ნატრიუმის (30-35%) და ჭრის ქვების (65-70%) მონოფილის,
არგილიტის თაღდმებების და ზოგან ფრაქციური, ჭრის ქვების
თახე და საშედეთ მცირებული
Alternation of slightly weathered and fractured dark grey argillites (30-35%) and sandstones (65-70%); argillites - thin bedded and locally foliated, sandstones - thin and medium bedded

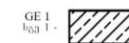
3 E1000 კორისტაბავანი
3 E100 კლეიისაცვენი



პირობითი აღნიშვნები Conditional Remarks



ნახულის ფაზა
Topsoil



თოსისია, ფერცხვი, ქარბალისტები, ნიჟერის მცირე
მარიანებები, ნერი 15%-ის ნინერები
Lean clay, brown, carbonated, very stiff, with grit 15%
inclusions



თოსისია, ფერცხვი, ქარბალისტები, ნიჟერის მცირე
მარიანებები, ნერი 30-40%-ის ქედები
შრესებრები
Crushed stones, medium and fine grained, with brown, very stiff,
carbonated lean clay filling to 30-40%



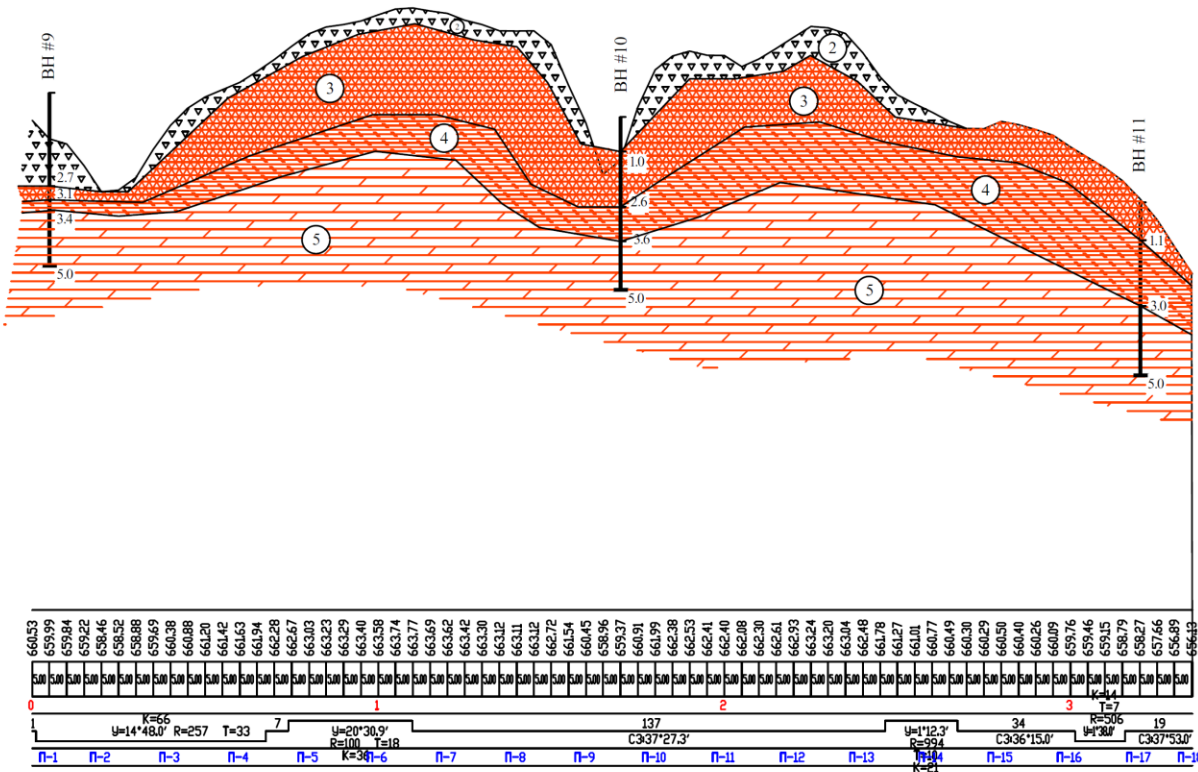
ქარბალისტები და ფერცხვისტები მცირე ნიჟერისები
მარიანებები (30%-35%) და ქარბალისტები (65%-70%) მინერალები,
არგილიტები თელემეტებით და ზედა ფერცხვები, ქარბალისტები
მცირე და სუსტი შემცირები
Alternation of extremely weathered and fractured dark grey argillites (30-35%)
and sandstones (65-70%), argillites - thin bedded and locally
foliated, sandstones - thin and medium bedded



ქარბალისტები და ფერცხვისტები მცირე ნიჟერისები
მარიანებები (30%-35%) და ქარბალისტები (65%-70%) მინერალები,
არგილიტები თელემეტებით და ზედა ფერცხვები, ქარბალისტები
მცირე და სუსტი შემცირები
Alternation of weathered and fractured dark grey argillites (30-35%)
and sandstones (65-70%), argillites - thin bedded and locally
foliated, sandstones - thin and medium bedded



სუსტი გარემოებები და ფერცხვისტები მცირე ნიჟერისები
მარიანებები (30%-35%) და ქარბალისტები (65%-70%) მინერალები,
არგილიტები თელემეტებით და ზედა ფერცხვები, ქარბალისტები
მცირე და სუსტი შემცირები
Alternation of slightly weathered and fractured dark grey argillites (30-35%)
and sandstones (65-70%); argillites - thin bedded and
locally foliated, sandstones - thin and medium bedded



Borehole BH #9		Borehole BH #10		Borehole BH #11	
0.0	1.000	0.0	1.000	0.0	1.000
1.000	3.000	1.000	3.000	1.000	3.000
3.000	5.000	3.000	5.000	3.000	5.000
5.000	7.000	5.000	7.000	5.000	7.000
7.000	10.000	7.000	10.000	7.000	10.000

Conditional Remarks

GE 1 borehole 1	Topsoil	GE 3 borehole 3	GE 4 borehole 4	GE 5 borehole 5
soil horizon, greyish brown, carbonated, very stiff, with grit 15% inclusions mineralogical composition, ferruginous 15%-very little silicate minerals	Alternation of extremely weathered and fractured dark grey argillites (30-35%) and sandstones (65-70%).	Alternation of extremely weathered and fractured dark grey argillites (30-35%) and sandstones (65-70%).	Alternation of weathered and fractured dark grey argillites (30-35%) and sandstones (65-70%).	Alternation of weathered and fractured dark grey argillites (30-35%) and sandstones (65-70%).
Crushed stones, medium and fine grained, with brown, very stiff, carbonated lean clay filling to 30-40%	thin bedded and locally foliated, sandstones - thin and medium bedded	thin bedded and locally foliated, sandstones - thin and medium bedded	thin bedded and locally foliated, sandstones - thin and medium bedded	thin bedded and locally foliated, sandstones - thin and medium bedded

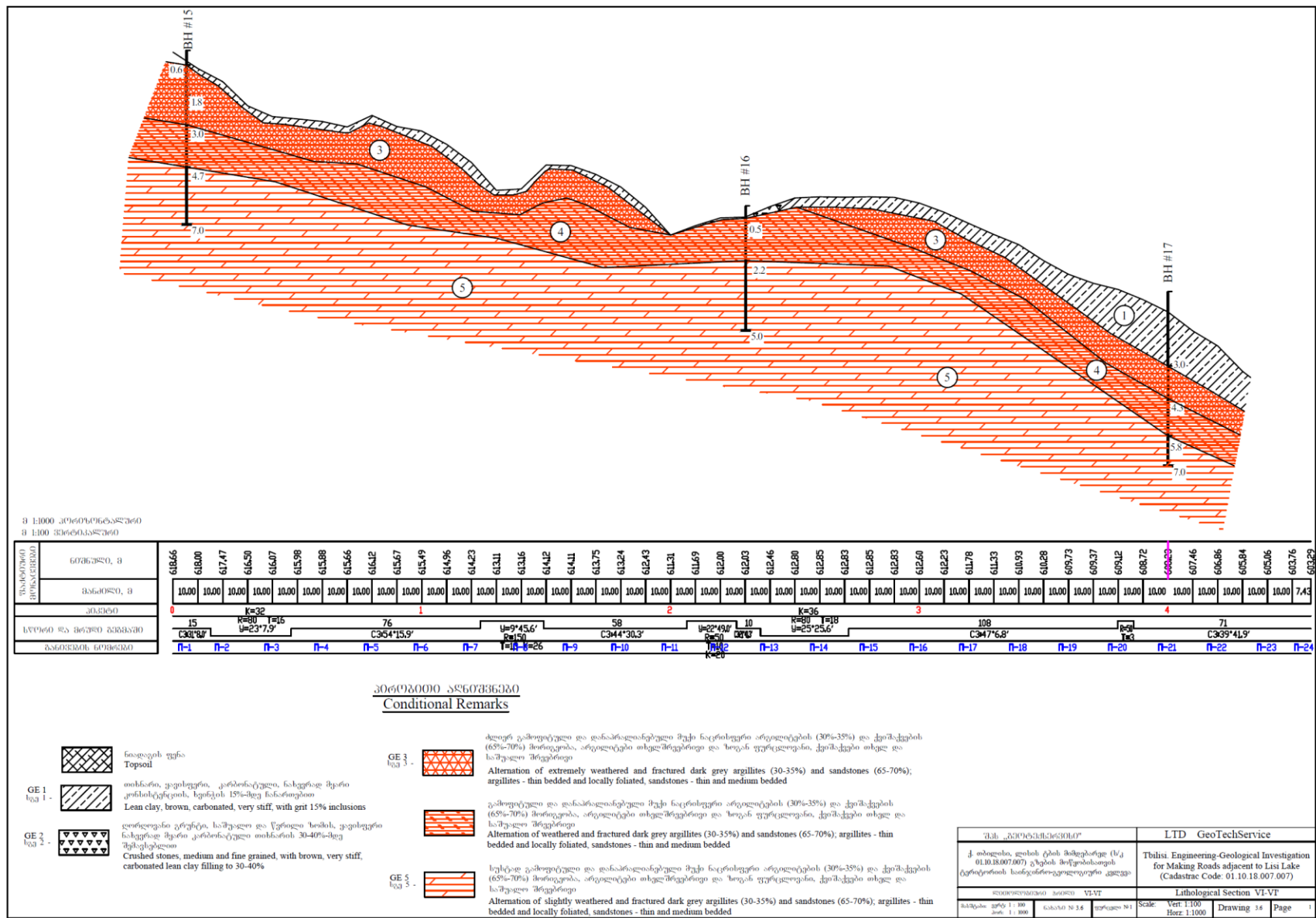
საქართველოს მთავრობის მიერ ნორმისტური არგილიტების (30%-35%) და ქვეშაკების (65%-70%) მონიტორინგი, არგილიტების თხელმრავალი და ზედამ ფრაქციების, ქრისტალი თხელ და საშეავი მრავალი

Alternation of extremely weathered and fractured dark grey argillites (30-35%) and sandstones (65-70%).

Alternation of weathered and fractured dark grey argillites (30-35%) and sandstones (65-70%).

Alternation of weathered and fractured dark grey argillites (30-35%) and sandstones (65-70%).

Alternation of slightly weathered and fractured dark grey argillites (30-35%) and sandstones (65-70%).



2.6.2.1 დასკვნა

- 1. საკვლევი ტერიტორიის ფარგლებში გამოყოფილია 5 საინჟინრო-გეოლოგიური ელემენტი (სგე):**

სგე 1 - თიხნარი, ყავისფერი, კარბონატული, ნახევრად მყარი კონსისტენციის, ხვინჭის 15%-მდე ჩანართებით;

სგე 2 - ღორღოვანი გრუნტი, საშუალო და წვრილი ზომის, ყავისფერი ნახევრად მყარი კარბონატული თიხნარის 30-40%-მდე შემავსებლით;

სგე 3 - ძლიერ გამოფიტული და დანაპრალიანებული მუქი ნაცრისფერი არგილიტების (30%-35%) და ქვიშაქვების (65%-70%) მორიგეობა, არგილიტები თხელშრეებრივი და ზოგან ფურცლოვანი, ქვიშაქვები თხელ და საშუალო შრეებრივი;

სგე 4 - გამოფიტული და დანაპრალიანებული მუქი ნაცრისფერი არგილიტების (30%-35%) და ქვიშაქვების (65%-70%) მორიგეობა, არგილიტები თხელშრეებრივი და ზოგან ფურცლოვანი, ქვიშაქვები თხელ და საშუალო შრეებრივი;

სგე 5 - სუსტად გამოფიტული და დანაპრალიანებული მუქი ნაცრისფერი არგილიტების (30%-35%) და ქვიშაქვების (65%-70%) მორიგეობა, არგილიტები თხელშრეებრივი და ზოგან ფურცლოვანი, ქვიშაქვები თხელ და საშუალო შრეებრივი.

- 2. ჭაბურღილების და ლითოლოგიური ჭრილების აღწერებიდან გამომდინარე, ასევე გრუნტის ნიმუშების ლაბორატორიული შესწავლის შედეგად მიღებული საანგარიშო მაჩვენებლებიდან გამომდინარე შეიძლება დავასკვნათ შემდეგი:**

1. თბილისი და მისი შემოგარენი განლაგებულია აჭარა-თრიალეთის ნაოჭა ზონის აღმოსავლეთ დაბოლოებაზე;

2. უბანზე რელიეფის ძლიერი დანაწევრების გამო ხშირია ძირითადი ქანების გაშიშვლებული ადგილები, რაც მათი დაკვირვების და დახასიათების კარგ საშუალებას იძლევა;

3. გეომორფოლოგიურად საკვლევი უბანი მდებარეობს მდინარე მტკვრის მარჯვენა ნაპირზე, ლისის მასივის სამხრეთ ფერდობზე, რომელიც დაღარულია მრავალრიცხოვანი პალეო ხევებით. ამჟამად ზოგიერთი ხევი შევსებულია სხვადასხვა სახის მასალით;

4. გამოკვლეული ტერიტორია მოქცეულია გეოლოგიური საფრთხეების საშუალო და მაღალი რისკის ზონაში;

5. დაბალი რისკის ზონები გამოკვლეულ ტერიტორიაზე არ ფიქსირდება;

6. საკვლევი უბანი წარმოადგენს დახრილ ფერდს. გზების დაფუძნება მოხდება ეოცენური ასაკის საშუალო და სქელშრეებრივ, გამოფიტულ ქვიშაქვებზე თხელშრეებრივი არგილიტების შუაშრეებით;

7. ქანები ეცემიან ჩრდილოეთით ფერდის მიმართულებით;

8. გამოვლენი გრუნტები მისაღებია გზების საფუძვლის მოსაწყობად;

9. ქიმიური შემადგენლობის მიხედვით გრუნტები ხასიათდებიან სულფატურ ჰიდროკარბონატულ კალციუმიანი დამარილიანების ტიპით და არ არიან დამარილიანებული, არ ამჟღავნებენ აგრესიულობას არც ერთი სახის ბეტონების მიმართ;

10. საკვლევი ტერიტორია სეისმურობის მიხედვით განლაგებულია 8 ბალიან ზონაში, სეისმურობის უგანზომილებო კოეფიციენტი A 0.17-ის ტოლია.

2.7 ბიოლოგიური გარემო

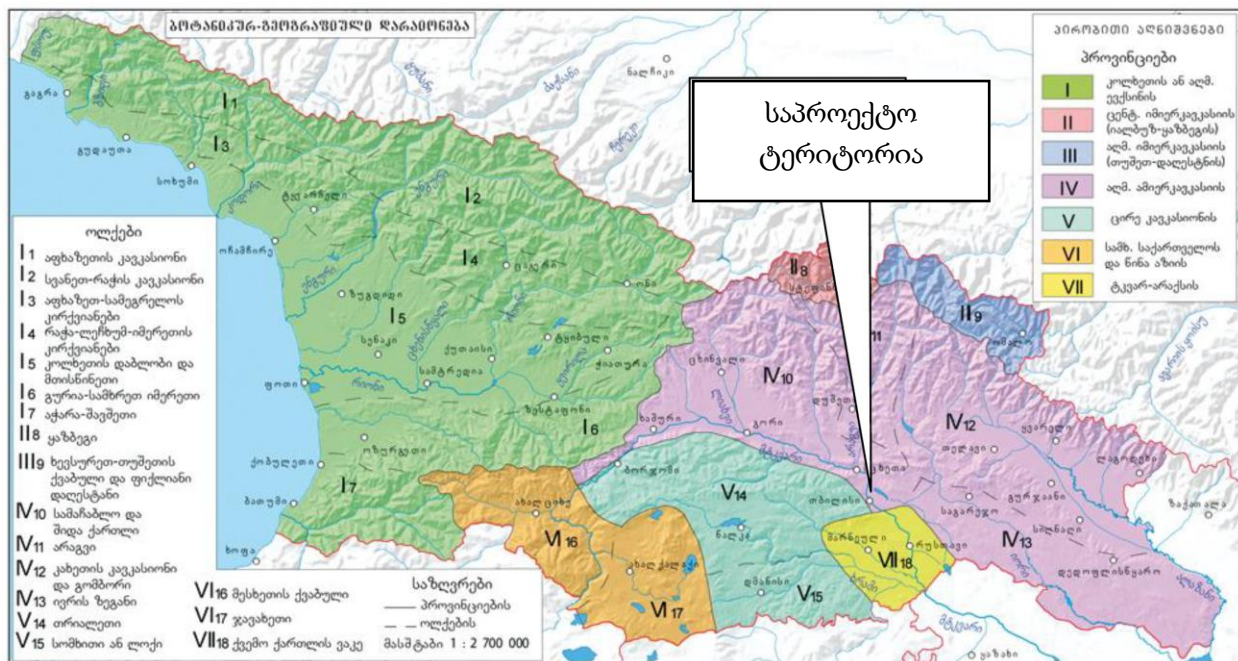
2.7.1 ფლორა

თბილისის ტერიტორია, მიუხედავად ძლიერი სახეცვლილებისა, რომელიც ძირითადად ხანგრძლივმა ანთროპოგენულმა ზემოქმედებამ გამოიწვია, მდიდარია ცოცხალი სამყაროს სახეობრივი მრავალფეროვნებით. აღნიშნულის განმაპირობებელია, როგორც რელიეფური და კლიმატური მრავალფეროვნება, ასევე, უფრო ფართო მასშტაბით საქართველოს და კავკასიის ბიოლოგიური მრავალფეროვნების სიმდიდრე.

თბილისი უშუალოდ ესაზღვრება მისივე სახელობის ეროვნულ პარკს, რაც დამატებით მნიშვნელობას ანიჭებს ქალაქის ტერიტორიაზე სახეობათა და მათი საბინადრო გარემოს აღწერასა და დაცვას.

ქ. თბილისი მდებარეობს აღმოსავლეთ ამიერკავკასიის გეობოტანიკურ რაიონში (იხ. საქართველოს ბოტანიკურ-გეოგრაფიული დარაიონების რუკა ნახაზზე).

რუკა 4 საქართველოს ბოტანიკურ-გეოგრაფიული დარაიონების რუკა



თბილისისა და მისი შემოგარენის მცენარეულობის ცვლილებების დღევანდელი სახე ბუნებრივი განვითარების და ანთროპოგენული ფაქტორების ზეგავლენის სურათს წარმოადგენს.

მცენარეული საფარის დაწვრილებითი შესწავლისას, მასში ისტორიულ პერიოდში ანთროპოგენური და სხვა ფაქტორების მოქმედების შედეგად დადგენილია, რომ მკვეთრად

შემცირდა ტყის მასივების ფართობები და ისინი შეიცვალა ტყის შემდგომი ბუჩქნარით და ბალახეული მცენარეულობით.

მცენარეული საფარის ესა თუ ის სახეობა სხვადასხვაგვარად რეაგირებდა ერთსა და იმავე ფაქტორის მიმართ. დღეისათვის თბილისის შემოგარენში გავრცელებულია, როგორც მშრალი სტეპების და ჯაგეკლიანების, ისე ტენიანი გარემოს მოყვარული მცენარეულობა, რომელიც მდიდარია არა მარტო მცენარეული ტიპებით, არამედ ფლორისტულადაც. გეობოტანიკური თვალსაზრისით თბილისის შემოგარენის მცენარეული საფარი მიეკუთვნება სამხრეთ კავკასიის ცენტრალურ ფლორისტულ რაიონს, რომლის მცენარეულობის ჩამოყალიბებაზე გავლენას ახდენს კოლხეთისა და ჰირკანის ფლორა და ამავე დროს მცირე აზიის ქსეროფიტული ზონები.

თბილისის შემოგარენში წარმოდგენილია საქართველოს ტყეების თითქმის ყველა ცენოზი. კერძოდ, აღმოსავლეთ საქართველოს ტიპიური წიფლნარები, წიფლნარები კოლხურიელემენტებით, ქართული და აღმოსავლეთის მუხნარები, რცხილნარები და ჯაგრცხილნარები, ნაძვნარები და ფიჭვნარები, ღვიანები, აკაკიანები, საღსაღაჯიანები და ა.შ. მდინარეების: მტკვრის, ვერეს, დიღმისწყლის ნაპირები დაკავებულია ტირიფიანებით, ოფიანებით, ხვალოიანებით და ჭალის ტყეებისათვის დამახასიათებელი მცენარეულობით. კლდოვან ფერდობებზე გვხვდება: თუთუბოიანები, ძემვიანები, შავჯაგიანები, გრაკლიანები და სხვა ქსეროფიტული დაჯუფებები. თბილისის შემოგარენის ტერიტორიაზე ერთმანეთში შეჭრილია სტეპის და ტყის ფორმაციები, რომელთა საზღვარი წარმოდგენილია მრავალსაფეხურიანი გარდამავალი ზოლით. სტეპებისათვის დამახასიათებელია აბზინდიანები, უროიანები, ვაციწვერიანები, წივანიანები, ხურხუმოიანები და ა.შ., რომელთა ფონზე, ფერდობებზე გვხვდება ღვიანები, ჩიტავაშლიანები, ძემვიანები, იალღუნიანები და სხვა ქსეროფიტული ბუჩქნარები.

ისტორიულ პერიოდში ანთროპოგენული პრესის შედეგად, ტყის საფარი თანდათანობით შემცირდა, ბევრგან (ძირითადად ვაკეებზე) კი მთლიანად განადგურდა. პრაქტიკულად ასევე მთლიანად განადგურდა მდ. მტკვრის და მის შენაკადთა უახლოეს ტერასებზე განვითარებული ჭალისტყები. ადრე არსებული ტყეების ადგილას ამჟამად წარმოდგენილია ჰემიქსეროფილური და ქსეროფილური ბუჩქნარები და ბალახეული ცენოზები, ტერიტორიის უმეტესი ნაწილი კი სასოფლო-სამეურნეო სავარულებს უჭირავს. მტკვრის ჭალების ფრაგმენტები შემორჩენილია ავჭალისა და დიღმის ჭალების, ასევე, ორთაჭალის და ფონიჭალის მიმდებარე ჭალების სახით.

თბილისის შემოგარენში, როგორც ზემოთ აღვნიშნეთ, შემორჩენილია აღმოსავლეთ საქართველოს ტყეებისათვის დამახასიათებელი ტყის ყველა ცენოზი. საგურამოს ქედის ზედა ნაწილში, ჩრდილო ექსპოზიციის ფერდობებზე გავრცელებულია წიფლნარი, რომლის ქვეტყეში აღინიშნება კოლხური ელემენტები: იელი (*Rhododendron luteum*), ბზა (*Buxus colchica*), ბაძგი (*Ilex aquifolium*), მაჯაღვერი (*Daphne caucasica Pall*), მოცვი (*Vaccinium arctostaphylos*), კოლხური სურო (*Hedera colchica*). საგურამოს ტყეები თბილისის შემოგარენის სხვა ტყეებისგან განსხვავებით უფრო მეზოფილურ ხასიათს ატარებს და ადვილად ხდება ძველი კოლხური ელემენტების (მაგ: ბზა) აღდგენა. წიფლნარები გვხვდება აგრეთვე დიდგორის, ნათლისმცემლის, ლომისსერის ქედებზე. თბილისითან უახლოეს ადგილებში (კოჯორი, წოდორეთი) წიფლნარები უფრო გაღარიბებულია ვიდრე საგურამოს ქედზე. კოლხური ელემენტები ადამიანის ზეგავლენის გამო აქ ისე დამახასიათებელი არაა, როგორც საგურამოს ქედზე. რცხილნარების განვითარების ოპტიმალური საზღვრებია 800-1000 მ-დან

1100-1200 მ-მდე. ამ ფარგლებში ტიპიური პირველადი რცხილნარები ვითარდება. რცხილა ადვილად იჭერს წიფლნარის ადგილს. თბილისის შემოგარენის რცხილნარები (კოჯორი, წოდორეთი, დიდგორი) ძირითადად წიფლნარების შემდგომ არიან განვითარებულნი. რცხილნარებს ქვევით ზონალურად მუხნარი ტყეებია გავრცელებულ, რომელთაგან ნაწილს ადამიანის ზეგავლენის შედეგად რცხილნარების გავრცელების ადგილი უკავია. მაგალითად, წინათ არსებული რცხილნარ-მუხნარები შემდგომ მუხნარებად განვითარდნენ და გაჯაგდნენ. (წყნეთი, დიდგორი, საგურამოს მთისწინები, წოდორეთი და სხვ.).

ამჟამად, ხელოვნურად განაშნიანებულ ფიჭვნარებს მთლიანად უკავია თბილისის ურბანული ნაწილთან ყველაზე ახლოს მდებარე მთისწინები. ფიჭვნარები 40- 60 წლისაა, შემდგომში მათი მართვის მიზნით, მაღალი სიმჭიდროვით გაშენებული, თუმცა ამ ტყეების მოვლა-პატრონობა და მართვა ბოლო ათწლეულების მანძილზე არ ხდებოდა. ბოლო ათწლეულის განმავლობაში ფიჭვნარებმა ქალაქის თითქმის ყველა უბანზე ხმობა დაიწყო. ქ. თბილისის 2015-2020 წ.წ. გარემოსდაცვითი სტრატეგიის მიხედვით, ხმობის მიზეზები კომპლექსურია: დარგვის პერიოდში დარღვეულმა აგრო-ტექნიკურ პირობებმა, ნიადაგების სიმწირემ და გლობალურმა კლიმატურმა ცვლილებამ დააქვითა მცენარეების გამძლეობა. შესაბამისად, ფიჭვები მოწყვლადნი გახდნე სხვადასხვა მავნებელ - დაავადებების მიმართ. ბოლო ათწლეულებია არ ხდება აღნიშნული ტყეების სანიტარულ და ეკოლოგიურ მდგომარეობაზე ზრუნვა, გავრცელებული დაავადებების აღსაკვთად დროული რეაგირებები არ განხორციელებულა, შესაბამისად, წიწვოვნების ხმობამ მასიური ხასიათი მიიღო. აღსანიშნავია, რომ ხელოვნურად გაშენებული სახეობების ნაწილი არ წარმოადგენს ადგილობრივ სახეობებს (მაგ.შავი ფიჭვი) და ამ სახეობებისგან შემდგარი წმინდა კორომები არატიპიურია თბილისისათვის, რაც მათი დეგრადაციის ერთ-ერთ ფაქტორად შეიძლება ჩაითვალოს.

ამგვარად, თბილისის მიდამოების ბუნებრივი მცენარეული საფარი მნიშვნელოვნად არის შეცვლილი. ზოგიერთი დაჯგუფების, მაგ: ჭალის და ნათელი ტყეების შემცირების ხარჯზე წარმოიქმნენ სხვა დაჯგუფებები: ჯაგულიანი სტეპები. ბევრგან პირველადი, ბუნებრივი მცენარეულობა კულტურული ლანდშაფტებით შეიცვალა. თბილისის მწვანე საფრის მნიშვნელოვნა ნაწილს წარმოადგენს გასულ საუკუნეში ხელოვნურად გაშენებული, (ძირითადად ფიჭვის) ტყეები.

ბიოლოგიური გარემოს უკეთ შესასწავლად და შემდგომ გამწვანება თუ მცენარეების მოჭრა-გარადგვის ღონისძიებების განსაზღვრისთვის ჩატარდა ტაქსაცია, რა დროსაც საპროექტო ტერიტორიის ფარგლებში აღირიცხა მცენარეთა 14 სახეობა, მათ შორის 3 წითელი ნუსხით დაცული სახეობა. როგორც პროექტის აღწერის ნაწილში აღინიშნა, წინამდებარე პროექტის კონცეფცია არის 80/20 (გამწვანება-მშენებლობის შეფარდება), შესაბამისად ის მცენარეები, რომელიც დაექვემდებარება გადარგვას გადაირგვება, მოჭრას დაექვემდებარება არაჯანსაღი მცენარეულობა. პროექტის ფარგლებში წითელი ნუსხით დაცული სახეობები გადაირგვება შესაბამისი პირობების დაცვით, რაც აღნიშნული ფერდის ბიოლოგიურ გარემოზე ზემოქმედება ხარისხს და მასშტაბებს შეამცირებს. ზოგადად, როგორც ბიოლოგიური გარემოს აღწერისას აღინიშნა, საპროექტო ტერიტორია წარმოადგენს მნიშვნელოვანი ანთროპოგენული ზემოქმედების უბანს, შესაბამისად კომპანიის მიერ დაგეგმილი გამწვანების სამუშაოები, მათ შორის საღი ხეები გადარგვა, პროექტით მოსალოდნელ უარყოფით ზემოქმედებას მინიმუმადე ამცირებს.

ცხრილი 11 ტაქსაციის შედეგები

N	სახეობა	ლათ. დასახელება	შენიშვნა
1	ნუში	<i>Prunus communis</i>	
2	ძემვი	<i>Paliurus spinachristi</i>	
3	ფიჭვი	<i>Pinus nigra</i>	
4	კვიპაროზი	<i>cupressus</i>	
5	ჩიტავაშლა	<i>Pyracantha coccinea</i>	
6	აკაკი	<i>Celtis caucasica</i>	წითელი ნუსხა
7	საპნის ხე	<i>Sapindus</i>	
8	იფანი	<i>Fraxinus excelsior</i>	წითელი ნუსხა
9	კვრინჩხი	<i>Prunus spinosa</i>	
10	მუხა	<i>Quercus iberica</i>	
11	ბერეუნა	<i>Pyrus salicifolia</i>	წითელი ნუსხა
12	თრიმლი	<i>Cotinus Coggygria Scop</i>	
13	ოქროწვიმა	<i>Laburnum anagyroides</i>	
14	ტუია	<i>Thuja</i>	

2.7.2 ფაუნა

დროთა განმავლობაში, ქალაქის გაფართოებასთან და განვითარებასთან ერთად, იცვლება მისი ბუნებრივი გარემოც, რაც ხშირ შემთხვევაში ველური სახეობების არეალის შევიწროვებას და გაქრობას იწვევს. მიუხედავად ამისა, თბილისის ფაუნა საკმაოდ მრავალფეროვანია: შემოგარენში მხოლოდ ხერხემლიანი ცხოველების 300 ზე მეტი სახეობა გვხვდება: მწერიჭამიების 8, ხელფრთიანების 20, მღრღნელების 17, მტაცებლების 10, წყვილჩლიქოსნების 2 და კურდღლისნაირთა ერთი სახეობა. აქ, სხვადასხვა ჰაბიტატებში, გვხვდება გველების, ხვლიკებისა და ამფიბიების 32, ხოლო ფრინველთა 200 ზე მეტი სახეობა. უხერხემლოთა სახეობების რიცხოვნებასა და გავრცელების არეალთან დაკავშირებით კი საკვლევი ობიექტების სიმრვლიდან გამომდინარე ინფორმაცია მწირი და ფრაგმენტირებულია. მაგალითად, თბილისის ქვაბულში გვხვდება ობობების 252 სახეობა.

თბილისის ფაუნის მრავალფეროვნება განაპირობებულია მისი ლანდშაფტებისა და ჰაბიტატების მრავალფეროვნებით. აქ სხვადასხვა ადგილებზე გვხვდება როგორც ასევე ტენიანი, ჭაობების, მდინარეების, ტბების, ტყეებისა და ნახევარუდაბნოების მობინადრეთათვის ხელსაყრელი გარემო. თბილისის ფაუნის მრავალფეროვნება მთლიანად დამოკიდებულია აღნიშნული ჰაბიტატების მათ დაცვასა და შენარჩუნებაზე.

თბილისის მიდამოებში გვხვდება ძუძუმწოვრების 60 მდე სახეობა: მტაცებლებიდან, საგურამოს ნაკრძალში გვხვდება ფოცხვერი (*Lynx lynx*), გავრცელებულია მგელი (*Canis lupus*), მელა (*Vulpes vulpes*) შესაძლოა წავისი-კოჯორი წყნეთის ტერიტორიაზეც. ლელიანის კატა (*Felis chaus*) გვხვდებოდა მტკვრის ჭალებში, თუმცა მათი დეგრადაციის შემდეგ სახეობის გავრცელების შესახებ ინფორმაცია არ არსებობს. თბილისის ტყეებში გვხვდებოდა ტყის კატა (*Felis silvestris*). თბილისის შემოგარენის ტყეებში გავრცელებულია ამიერკავკასიური მაჩვი (*Meles meles*), თეთრყელა კვერნა (*Martes foina*), დედოფალა (*Mustela nivalis*), ასევე წითელი ნუსხის სახეობები, ჭრელტყავა (*Peregrusna Peregrusna*).

წყვილჩლიქოსნებიდან თბილისის მიდამოებში (ძირითადად, ეროვნულ პარკში) გავრცელებულია შველი (*Caprelous caprelous*) და გარეული ღორი (*Sus scrofa*). მღრღნელები (Grires) თბილისის მიდამოებში მრავლად არიან გავრცელებული. გვხვდება როგორც წითელი ნუსხის სახეობა - ამიერკავკასიური ციყვი (*Sciurus anomalus*), ასევე ინვაზიური - ტელუტური ციყვი (*Sciurus vulgaris*). ზედაზნის, ბეთანიის, კოჯრი, სამგორის, მარტყოფის მიდამოებში გავრცელებულია ჩვეულებრივი ძილგუდა (*Glis glis*) და ღნავი (*Dryomys nitedula*), თბილისში გავრცელებულია რუხი და შავი ვირთაგვები (*Rattus norvegicus*; *R. rattus*), სახლის და ველის თაგვები (*Mus musculus*, *M. macedonicus*). ნახევარუდაბნოს ჰაბიტატებში, რუსთავის, გარდაბნის ველებზე, გვხვდება წითელი ნუსხის სახეობა, მცირეაზიური მექვიშია (*Meriones tristrami*). წყალსატევებთან გავრცელებულია წყლის მემინდვრია (*Arvicola amphibius*). წყნეთში, კოჯორში, დიღომში, სამგორის ველზე, გვხვდება ამიერკავკასიური ჩვეულებრივი მემინდვრია (*Microtus arvalis*). თბილისის მიდამოებში ასევე გავრცელებული არიან სოციალური მემინდვრია (*Microtus socialis*), ბრანდტის ზაზუნა (*Mesocricetus brandti*), ნაცრისფერი ზაზუნელა (*Cricetulus migratoris*), წითელქუდა მექვიშია (*Meriones libycus*), მცირე თაგვი (*Apodemus uralensis*), პონტოს თაგვი (*Apodemus flavicollis*). (ბუხნიკაშვილი, 2004). კურდღლისნაირებიდან თბილისის მიდამოებში გავრცელებულია ამიერკავკასიური კურდღლელი (*Lepus europaeus*). ხელფრთიანები (chiroptera) თბილისის შემოგარენში ფართოდ არიან გავრცელებულები. გვხვდება წითელი ნუსხის სახეობებიც: მეჭელისეული ცხვირნალა (*Rhinolophus mehelyi*) რომელიც გავრცელებულია მცხეთის მისადგომებთან და თბილისის ეროვნული პარკის ტერიტორიაზე და მაჩქათელა (*Barbastella barbastellus*).

მწერიჭამიების (Insectivora) რვა სახეობა: ზღარბი (*Erinaceus concolor*) გვხვდება თბილისის ეროვნულ პარკში, მარტყოფის, ნორიოს, კუს ტბის, თბილისის ზღვის, ვაზიანის ველის მიდამოებში, კავკასიური თხუნელა (*Talapa caucasica*) აღწერილია მარტყოფის, კოჯრის მიდამოებიში, ავჭალის ტერიტორიაზე. კავკასიური ბიგა (*Sorex satunini*) გვხვდება თბილისის ერ. პარკში. თბილისის მიდამოებში, ასევე გავრცელებულია ლევანტისის თხუნელა (*Talpa levantis*), გულდენშტადტის თეთრკბილა (*Crocidura gueldenstaedti*), სპარსული თეთრმუცელა კბილთერა (*Crocidura leucodon*), ფუღუ (*Suncus etruscus*) და ბიგა (*sorex volnuchini*). საგარეულო ზონის მიდამოებში იქმნება მეტად მრავალფეროვანი პირობები ორნითოფაუნის გავრცელებისთვის. ფრინველებიდან ბიოტოპური განაწილების მხრივ აქ გვხვდება მეტად ქსეროფილური და ძლიერ მეზოფილური სახეობები. ველისა და ნახევარუდაბნოების, კლდე-ღორღიანების და ფლატების ფრინველები. ტყისა და ბუჩქნარების ფრინველები შეადგენენ 55,8%. სულ თბილისში გვხვდებია მობინადრე, მობუდარი, მიმომფრენი, მოზამთრე და იშვიათად ან შემთხვევით შემომფრენი 200 ზე მეტი სახეობის ფრინველი. ქვემოთ აღწერილია თბილისის ტერიტორიაზე დაფიქსირებული ზოგიერთი სახეობა.

ველსა და მინდვრებზე გვხვდება მწყერი (*Coturnix coturnix*), სამხრეთ კავკასიური გნოლი (*Perdix perdix carensces*). მთაწმინდისა და თაბორის ქედთა კალთებზე, თელეთის ქედის მიმართულებით ყველგან გვხვდება კავკასიური კაკაბი (*Alectoris graeca*), ტყისპირებსა და ბაღებში ყაბყაპი (*Coracias garrulus*), მწვანე კოდალა (*Picus viridis*), ჩვეულებრივი კირკიტა (*Falco tinnuculus*). ხშირია ჭილყვავი (*C. frugilegus*). თითქმის ყველგან გვხვდება აღმოსავლურ ევროპული კაჭკაჭი (*Pica pica*). იგი ბინადრობს ბუჩქნარებში, ტყის პირებსა და ჭალებში. რუხი ყვავი (*Corvus corone*).

ტყითა და ბუჩქნარით დაფარულ ადგილებში ხშირია მეფეტვია (*Emberiza calandra*). თბილისის მიდამოების გატყევებამ დადებითად იმოქმედა ფრინველთა რიცხვის საერთო ზრდაზე.

საგრძნობლად გაიზარდა დენდროფილთა წილი ორნითოფაუნაში. პირველ რიგში აღსანიშნავია სკვინჩა (Fringilla coelebs), რომელიც ყველა ტიპის ტყესა და ანლროპოგენურ ლანდშაფტში ბინადრობს. აგრეთვე ჩიტბატონა (Carduelis carduelis), მწვანულა (Chloris chloris). თბილისის ზღვის მახლობლად, უწინ არსებულ ველებზე გაშენებულმა დენდროლოგიურმა პარკმა დიდი რაოდენობით მოიზიდა ტყე-ბუჩქნართა ისეთი ფრინველები, როგორიცაა: შაშვი (Turdus merula), ჩხართვი (T. viscicervus), ბოლოშავი (T. pilaris), ყარანა (Phylloscopus collylistis) და ყვითელთავა ნარჩიტა (Regulus regulus). ასპუჭაკი (Sylceia hotensis), ჩხართვი (T. viscicervus), დიდი წივწივა (Perus major). მიწაზე მობუდარე ფრინველები: მწყერჩიტა (Anthus campestris), მინდვრის ტოროლას (Aleuda arvensis) და ველის ტოროლას (Mela Corhupha acandra) და ა.შ წყალსაცავთა მახლობლად ხშირია წყალწყალა (Notacila alba), ბზეწვია (M. ciperea), ბოლოქანქალა (M. flava), ალკუნი (Alcedo atthis). ზამთრის პერიოდში იზრდება წყალმცურავი ფრინველების სახეობათა რაოდენობა. მათგან აღსანიშნავია (Columbus ruficulus), გარეული იხვი (Tadorna ferruginea). ბოლო დროს მდინარე მტკვარზე და თბილისის ზღვაზე გვხვდებიან თოლიები.

თბილისი საკმაოდ მდიდარია ჰერპენტოფაუნით. აქ აღწერილია ამფიბიებისა და რეპტილიების 30-ზე მეტი სახეობა. გველები: წითელმუცელა მცურავი (Coluber jugularis), ფერადი მცურავი (Coluber ravergieri), წენგოსფერი მცურავი (Coluber najadum), ამიერკავკასიური მცურავი (Elaphe hohenackeri), ოთხზოლიანი მცურავი (Elaphe quatorlineata), კატისთვალა გველი (Telescopus fallax), ბოხმეჭა (Anguis fragilis), წყლის ანკარა (Natrix tessellata), სპილენბა (Coronella austriaca), ესკულაპის გველი (Elaphe longissima), ჩვეულებრივი ანკარა (Natrix natrix), ჩვეულებრივი გველბრუჯა (Typhlops vermicularis), დასავლეთის მახრჩიბელა (Eryx jaculus), წყნარი ეირენისი (Eirenis modestus), ცხვირრქოსანი გველგესლა (Vipera transcaucasiana), დინიკის გველგესლა (Vipera dinniki).

ხვლიკებიდან გვხვდება ზოლიანი ხვლიკი (Lacerta strigata), მტკვრის ხვლიკი (Darevskia portschinskii), რადეს ხვლიკი (Darevskia raddei). თბილისის მიდამოების ჭარბწყლიან ჰაბიტატებში მრავლად არიან ამფიბიები: მცირეაზიური ტრიტონი (Ommatotriton ophryticus), აღმოსავლური სავარცხლიანი ტრიტონი (Triturus karelinii), ჩვეულებრივი ვასაკა (Hyla arborea), კავკასიური გომბეშო (Bufo verrucosissimus), მწვანე გომბეშო (Bufo viridis), ტბორის ბაყაყი (Rana ridibunda), სირიული მყვარი (Pelobates syriacus).

კლდოვან ადგილებში მრავლადაა კავკასიური ჯოჯო (Laudakia caucasica), ასევე გავრცელებულია გველხოკერა (Ophrysaurus apodus). კუმისის, ავჭალის, წყნეთის, კოჯრის ტერიტორიაზე გვხვდება ხმელთაშუაზღვის კუ (Testudo graeca), ჭაობის კუ (Emys orbicularis) გავრცელებულია წყალსატევებისა და ჭაობის ჰაბიტატებში. თბილისის სამხრეთ-აღმოსავლეთ ნაწილში გვხვდება კასპიური კუ (Mauremis caspica). ზემოაღნიშნულიდან გამომდინარე, საკვლევი ტერიტორიისათვის დამახასიათებელია სახეცვლილი ლანდშაფტური გარემო და ჩამოყალიბებულია ტიპიური ანთროპოგენური ლანდშაფტი.

საპროექტო ტერიტორიის სიახლოეს სხვადასხვა პერიოდებში მიმდინარეობდა და ახლაც მიმდინარეობს სამშენებლო სამუშაოები, რამაც ჩამოაყალიბა ტექნოგენური და ანთროპოგენური ლანდშაფტი, რის გამოც ტერიტორიაზე შესაძლოა შევხვდეთ ფაუნის სინანტროპულ სახეობებს, საკვლევი ტერიტორიის ფარგლებში ჩატარებული ფაუნის გარემოს კვლევისას იგივე მიზეზის გამო, ცხოველთა სახეობების მრავალფეროვნება აქ არ არის წარმოდგენილი. საკვლევ ტერიტორიაზე გავრცელებული ძუძუმწოვრების გამოვლენა ვერ მოხერხდა და ვერ იქნა აღმოჩენილი ვერც ცხოველის კვალი, ესკრემენტები ან სხვა ნიშნები.

2.8 ნარჩენების მართვით მოსალოდნელი ზემოქმედება

დაგეგმილი საქმიანობის ფარგლებში მოსალოდნელია, როგორც სახიფათო ასევე არასახიფათო ნარჩენების წარმოქმნა, თუმცა უნდა აღინიშნოს, რომ სახიფათო ნარჩენების რაოდენობა არ იქნება მნიშვნელოვანი.

სახიფათო ნარჩენების წარმოქმნა ძირითად დამოკიდებული იქნება ტერიტორიაზე გადაადგილებული ავტომობილების გამართულობის ხარისხზე. წარმოქმნილი სახიფათო ნარჩენების მართვას მოახდენს შესაბამისი ლიცენზიის მქონე კომპანია.

არასახიფათო ნარჩენების წარმოქმნა მოხდება სამშენებლო სამუშაოების, ძირითადი ნარჩენი რაც საქმიანობის სპეციფიკით შეძლება იყოს არის მიწის სამუშაოების დროს ამოღებული ფუჭი გრუნტი, რომელიც განთავსდება უახლოეს სამშენებლო ნარჩენების პოლიგონზე. წარმოქმნილი ჯართი (ასეთის არსებობის შემთხვევაში) ჩაბარდება ჯართის მიმღებ პუნქტში.

საქმიანობის განმახორციელებელი ვალდებულია სამშენებლო სამუშაოების დროს უბნებზე განათავსოს შესაბამისი ურნების სახიფათო და არასახიფათო ნარჩენების დასახარისხებლად, რათა მოხდეს შემდგომ მათი სწორი მართვა.

საცხოვრებელი კომპლექსის ექსპლუატაციის ეტაპზე ადგილი ექნება მუნიციპალური ნარჩენების წარმოქმნას, ნარჩენების მართვა მოხდება ადგილობრივი მუნიციპალური სამსახურის მიერ.

2.9 ზემოქმედება სოციალურ-ეკონომიკურ გარემოზე

სოციალური გარემოზე მშენებლობის ეტაპზე მოსალოდნელია, როგორც დადებითი, ასევე უარყოფითი ზემოქმედებები.

უარყოფითი ზემოქმედებიდან აღსანიშნავია სამშენებლო სამუშაოებით გამოწვეული ხმაური და მოძრაობის ინტენსივობის ზრდა, თუმცა როგორც ზედა თავებში აღვნიშნეთ, მოსახლეობის შეწუხების მაქსიმალურად შესამცირებლად, სამშენებლო სამუშაოები და სატრანსპორტო გადაადგილება იქნება დროში გაწერილი და რეგულირებული შესაბამის ორგანოებთან შეთანხმებული სატრანსპორტო მარშრუტებით.

დადებით ზემოქმედებად შეიძლება ჩაითვალოს სამშენებლო სამუშაოებში დასაქმებული ადამიანების ფინანსური კეთილდღეობის ზრდა. დასაქმებული ადამიანების უდიდესი ნაწილი იქნება ადგილობრივი, რაც მცირედით მაგრამ დადებით გავლენას იქონიებს ეკონომიკურ მდგომარეობაზე. კომპლექტის მშენებლობის ეტაპზე დასაქმდება დაახლოებით 250-300 ადამიანი.

ექსპლუატაციის ფაზაზე მოსალოდნელია სატრანსპორტო ნაკადის ზრდით გამოწვეული უარყოფითი ზემოქმედება. ქ. თბილისში, კერძოდ მაჭავარიანის ქუჩის მიმდებარედ დაგეგმილი საავტომობილო გზების პროექტები მნიშვნელოვნად შეამცირებს მოსალოდნელ ზემოქმედებას.

2.10 ვიზუალურ-ლანდშაფტური ზემოქმედება

პროექტის ფარგლებში მოსალოდნელია ვიზუალურ-ლანდშაფტური ცვლილება. პირველ რიგში ვიზუალური ცვლილება მოსალოდნელია, როგორც სატრანსპორტო საშუალებების გადაადგილებით, ასევე უშუალოდ კომპლექსის ფარგლებში ჩასატარებელი სამშენებლო სამუშაოებით, რაც ძირითადად შესამჩნევი იქნება მაჭავარიანის და მარშალ გელოვანის ქუჩებზე გადაადგილებული ადამების მხრიდან, როგორც აღინიშნა, სამშენებლო სამუშაოები გაგრძელდება დაახლოებით 2 წელი, შესაბამისად აღნიშნული უარყოფითი ზემოქმედება იქნება დროებითი.

ექსპლუატაციის ეტაპზე ვიზუალურ-ლანდშაფტური ცვლილება დაკავშირებული იქნება უშუალოდ საცხოვრებელი კომპლექსის ექსპლუატაციასთან, მათ შორის ექსპლუატაციის ეტაპზე მოსალოდნელია სატრანსპორტო საშუალებების გადაადგილებით მოსალოდნელი ზემოქმედება. აქვე უნდა აღინიშნოს, რომ ექსპლუატაციის ფაზაზე ვიზუალურ-ლანდშაფტური ცვლილებით მოსალოდნელ უარყოფით ზემოქმედებას ერთგვარად შეამცირებს უახლესი არქიტექტურული კონცეფციების მიხედვით მომზადებული პროექტი, რომელიც ბუნებრივად ჩაჯდება ადგილობრივ ლანდშაფტში.

2.11 ზემოქმედება სატრანსპორტო ნაკადებზე

მშენებლობის პერიოდში სატრანსპორტო ნაკადებზე მოსალოდნელია დროებითი ნეგატიური ზემოქმედება. ძირითადი სამშენებლო მასალები და აღჭურვილობა შემოტანილი იქნება საავტომობილო ტრანსპორტით.

ექსპლუატაციის პირობებში ასევე მოსალოდნელია სატრანსპორტო ნაკადებზე ზემოქმედება, თუმცა საავტომობილო გზების მნიშვნელოვანი გადატვირთვა არ მოხდება, გამომდინარე იქიდან, რომ აღნიშნულ საავტომობილო გზებზე სატრანსპორტო საშუალებების გადაადგილების ფონზე მდგომარეობა არ არის მაღალი.

ზემოთ თქმულის გათვალისწინებით ტრანსპორტის მომრაობით გამოწვეული მოსახლეობის შეწუხების და სატრანსპორტო ნაკადების გადატვირთვის რისკი მინიმალურია.

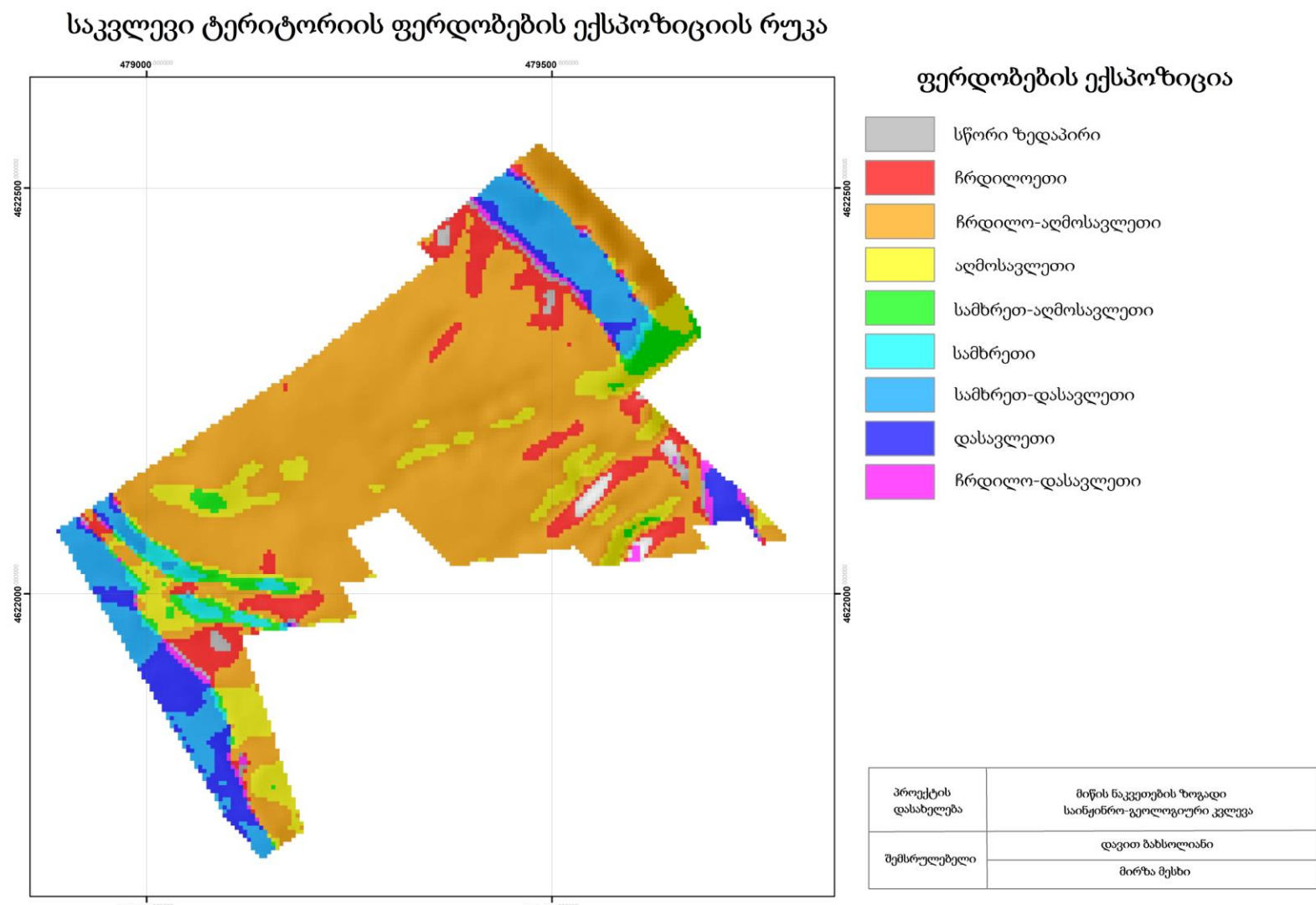
2.12 კუმულაციური ზემოქმედება

პროექტის ფარგლებში კუმულაციური ზემოქმედება, მოსალოდნელია, როგორც მშენებლობის ასევე ექსპლუატაციის ეტაპზე, რომელიც დაკავშირებული იქნება უშუალოდ საპროექტო ტერიტორიის მიმდებარედ მიმდინარე და დაგეგმილ სამუშაოებთან. კუმულაციური ზემოქმედება მოსალოდნელია შემდეგი მიმართულებებით: ზემოქმედება გეოლოგიურ და ბიოლოგიურ გარემოზე, ზემოქმედება ნიადაგის ნაყოფიერ ფენაზე და გრუნტზე, ემისიების გავრცელება და ხმაური, ზემოქმედება სოციალურ-ეკონომიკურ ფონზე, ზემოქმედება სატრანსპორტო ნაკადზე. ზემოხსენებული ზემოქმედებებიდან, განსაკუთრებით მნიშნელოვანია გეოლოგიურ გარემოზე კუმულაციური ზემოქმედება, რადგან როგორც საკვლევი ტერიტორიის კვლევებისას დადგინდა საპროექტო ტერიტორია მოქცეულია მაღალი და საშუალო რისკის მქონე ზონებში, რაც როგორც საპროექტო ტერიტორიის ასევე მის მიდამოებზე ვრცელდება, მოსალოდნელი უარყოფითი კუმულაციური ზემოქმედების

შემცირების ან /და არიდების მიზნით საჭიროა სამშენებლო სამუშაოების შესრულებისას ინჟინერ-გეოლოგის მუდმივი მეთვალყურეობა და სამშენებლო ობიექტების საინჟინრო პირობების და მოთხოვნების შესაბამისად დაფუძნება. ამასთან უნდა აღინიშნოს, რომ რეესტრის ელ. მონაცემების გადამოწმებით დადგინდა, რომ აღნიშნული ფერდის მიმდებარედ, როგორც მიმდინარე, ასევე სამომავლოდ სამშენებლო ობიექტები ერთი კერძო მესაკუთრის მფლობელობაშია, რაც თავისთავად შეუწყობს ხელს ერთიანი პასუხისმგებლობის ქვეშ გეოლოგიური გარემოს კუმულაციური ზემოქმედების შემცირებას. რაც შეეხება სხვა კუმულაციური ზემოქმედებების შედარებით დაბალი ხარისხის არის და მშენებლობის ეტაპზე გასატარებელი შემარბილებელი ღონისძებებით, შესაძლებელი იქნება ზემოქმედებების მინუმუმადე დაყვანა.

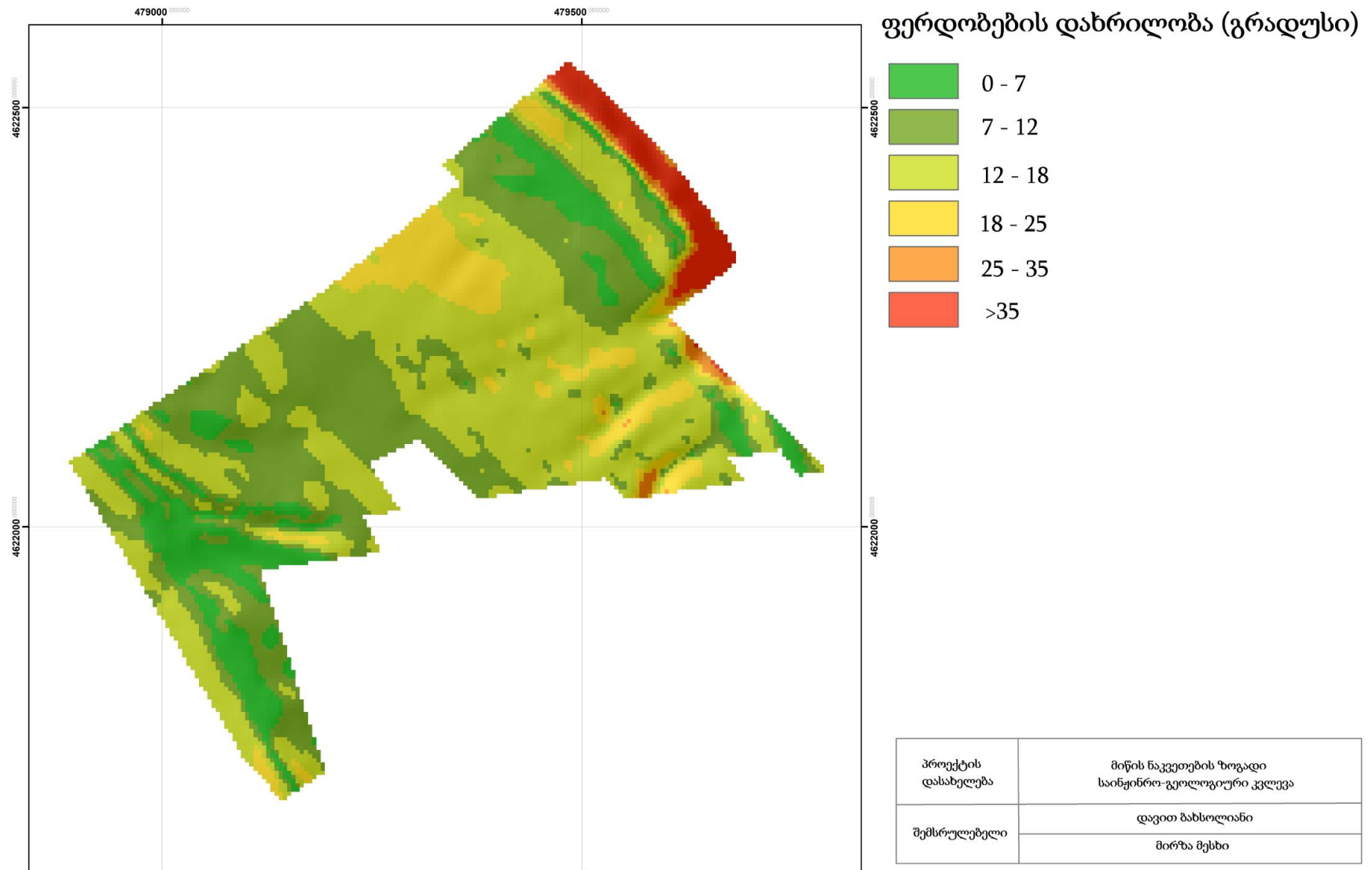
3 დანართები

3.1 დანართი 1 საკვლევი ტერიტორიის ფერდობების ექსპოზიციის რუკა



3.2 დანართი 2 ფერდობის დახრილობის რუკა

საკვლევი ტერიტორიის ფერდობების დახრილობის რუკა



3.3 დანართი 3 კლდოვანი ქანის მასის რეიტინგი და ხარისხი; RMR; Q

ფოტოილუსტრაცია/PHOTOGRAPH			
პროექტი/Project:	მიწის ნაკვეთის ზოგადი საინჟინრო-გეოლოგიური კვლევა LS-01	კოორდინატები/Coordinate:	0478982 4622027
			

პროექტი/Project	მიწის ნაკვეთის ზოგადი საინჟინრო-გეოლოგიური კვლევა LS-01										კოორდინატები/Coordinate:	0478982 4622027											
ლითოგრაფიული აღწერა/LITHOLOGICAL DESCRIPTION AND DISCONTINUITY SUMMARY																							
(BS5930 სიმტკიცე/Strength, სტრუქტურა/Structure, ფერი/Colour, ტექსტურა/Texture, მარცვლების ზომა/Grain Size, ქანის ტიპი/Rock Type, გამოფიტვა/weathering, დანაპრალიანება/fracture, გამოფიტვის პროდუქტი/weathering products																							
სუსტი, თხელ და სამუალორექტინივი, ყავისფერი, წვრილ მარცვლოვანი, ქვაშაქვებისა და სუსტი, თხელშელექტინივი, წვრილ მარცვლოვანი ყავისფერი ფერის, არგილიტების მორიგეობა, ძლიერ გამოფიტული, ნაპრალოვანი, გამოფიტვის პროდუქტი თიხა და აქტიშა, ძლიერ ნაპრალოვანი კარბონატის ძარღვებით დასრილი																							
ნაპრალის გავრცელების შეფასება/DISCONTINUITIES SUMMARY																							
ზონა/Zone	№	დახრის კუთხი/ Dip	დაქანება /Dip Direction	ნაპრალებს შორის სპეციალურ მანძლია/ Spacing (mm)	სიბრტყე ლე/ Planarity	უსწორმასწორობა ს/ Roughness	ნაპრალის სისქე (მმ)/ Aperture (mm)	შემაცხებელი/ Infilling	სიგრძე/ Per (m)	ამპლიტუდა/ Amplitude (mm)	გამოფიტვა/ Weathering	სიმტკიცე/ Strength	გაწყლ რვანებ ბ/ Water	RQD									
-	1	2	3	4	5	6	7	8	9	10	11	12	13	14	15								
Layer	1	35	045	100	U	R	3	CI	SA	30	50	HW	W	D									
J	2	70	150	150	S	R	5	SL	CI	2		HW	W	D									
J	3	65	270	250	S	R	6	SA	CI	3		HW	W	D									
J	4	55	320	200	P	R	1-2	CI	SL	5		HW	W	D									
ზედაპირის სიბრტყე/Planarity P - ბრტყელი/planar U - ტალღისტური/undulating/Curved S - საცენტრომიზი/Stepped				შემაცხებელი/Infilling CL - თიხა/clay SI - შეამილება/Silt SA - ჭარბი/Sand I - რკინის ტანგელური/Iron oxides C - კალციტი/კარბონატი/Calcite/carbonate Q - ფირიტის ტანგელური/Quartz/Silica S - გლეუტი/Smooth R - უსქერი/Rough			გამოფიტვა/Weathering F - საღი/Fresh SW - მცირებულებული/Extremely Weak VW - ძლიერ სესტი/Very Weak W - სუსტი/Weak MW - სამოფიტული/Moderately Weathering HW - ძლიერ გამოფიტული/Highly Weathering CW - სრულად გამოფიტული/Completely Weathering RS - ნარჩენი ქნა/Residual Soil			Strength EW - ექსტრემულად სუსტი/Extremely Weak VW - ძლიერ სესტი/Very Weak W - სუსტი/Weak MS - სამოფიტული/Moderately Strong S - ძლიერი/Strong VS - ძლიერ ძალი/Very Strong ES - ექსტრემულად ძალი/Extremely Strong		გაწყლოვანება/Water D - მშრალი/Dry ST - მცირებულებული/Stained DA - ზეტაბანი/Damp S - ფილტრაციული/Seepage F - წყალმომდება/Flow (quantify comments)			55								

კლდოვანის ქანების კლასიფიკაცია/Rock Mass Classification											
პროექტი/Project			მიწის ნაკვეთის ზოგადი საინჟინრო-გეოლოგიური კვლევა LS-01				კოორდინატები/Coordinate:				
								0368941			
								4705487			
კლდოვანი ქანის კლასიფიკაცია/Rock Mass Classification - RMR											
სიმკერიცე/ Strength	RQD	ნაპრალებს შორის მანძილი/ Spacing of Discontinuiti- es	გავრცელების მდომარეობა/Condition of Discontinuities					გრუნტის წყალი/ ground Water	ჯამი/Total Rating	ქანის ხარისხის მაჩვენებელი/ Quality Index	Rock
			ნაპრალის სიგრძე/ Length	ნაპრალის სისქე/ Aperture	სიუხეშე/ Roughness	შემავსებელი/ Infilling	გამოფიტვა/ Weathering				
12	8	8	2	1	5	2	3	10	51	III - საშუალო/Fair rock	
კლდოვანი ქანის კლასიფიკაცია/Rock Mass Classification - Q											
RQD	Jn	Jr	Ja	Jw	SRF	Q					
55	15	3	2	0.66	5	0.73					

ფოტოილუსტრაცია/PHOTOGRAPH

პროექტი/Project:

მიწის ნაკვეთის ზოგადი საინჟინრო-გეოლოგიური კვლევა LS-02

კოორდინატები:/Coordinate:

0479240

4622046



პროექტი/Project	მიწის ნაკვეთის ზოგადი საინჟინრო-გეოლოგიური კვლევა LS-02										კოორდინატები/Coordinate:	0479240 4622046											
ლითოგრაფიული აღწერა/LITHOLOGICAL DESCRIPTION AND DISCONTINUITY SUMMARY																							
(BS5930 სიმტკიცე/Strength, სტრუქტურა/Structure, ფერი/Colour, ტექსტურა/Texture, მარცვლების ზომა/Grain Size, ქნის ტიპი/Rock Type, გამოფიტვა/weathering, დანაპრალიანება/fracture, გამოფიტვის პროდუქტები/weathering products																							
საშუალოდ მტკიცე, თხელ და საშუალორეგულივი, ყავისფერი, წვრილ მარცვლოვანი, ქვიშაქვებისა და სუსტი, თხელშდეებრივი, წვრილ მარცვლოვანი ყავისფერი ფერის, არგილიტების მორიგეობა, ძლიერ გამოფიტული, ნაპრალოვანი, გამოფიტვის პროდუქტები თიხა და აქვიშა, ძლიერ ნაპრალოვანი კარბონატის ძარღვებით დასრილი																							
ნაპრალის გავრცელების შეფასება/DISCONTINUITIES SUMMARY																							
ზონა/Zone	№	დახრის კუთხის/ Dip	დაქანება/Dip Direction	ნაპრალის შრიის საშუალო მანძილი/ Spacing (mm)	სიბრტყე და/ Planarity	უსწორმასწორობა/ Roughness	ნაპრალის სისქე (მმ)/ Aperture (mm)	შემაცხებელი/ Infilling	სიგრძე/ Per (m)	ამplitudე/ Amplitude (mm)	გამოფიტვა/ Weathering	სიმტკიცე/ Strength	გაწყლოვანება/ Water	RQD									
-	1	2	3	4	5	6	7	8	9	10	11	12	13	14	15								
Layer	1	30	040	150	U	R	3	CI	SA	30	50	HW	MW	D	45								
J	2	70	200	100	U	R	1-5	SL	SA	7	40	HW	MW	D									
J	3	60	315	50	U	R	2	SA	CI	3	20	HW	MW	D									
J	4	20	060	70	K	R	3	SA	CI	5		HW	MW	D									
ზედაპირის სიბრტყე/Planarity			შემაცხებელი/Infilling			გამოფიტვა/Weathering			Strength			გაწყლოვანება/Water											
P - პრიუელი/planar			CL - თიხა/clay			F - საღი/Fresh			EW - ვესტრიტულურად სუსტი/Extremely Weak			D - მშრალი/Dry											
U - ბალიტიტური/undulating/curved			SI - ჰიანდიამი/Silt			SW - მორიდ დამოფიტული/Slightly Weathering			VW - ძლიერ სუსტი/Very Weak			ST - მინერალური ნესტრიანი/Stained											
S - საფესტურმარივი/Stepped			SA - ქვიშა/Sand			MW - საშუალოდ გამოფიტული/Moderately Weathering			W - სუსტი/Weak			DA - ნესტრიანი/Damp											
ზედაპირის უსწორმასწორობა/Roughness			I - რეინის ქანებული/iron oxides			HW - ძლიერ გამოფიტული/Highly Weathering			MS - საშუალოდ მტკიცე/Moderately Strong			S - ფილტრული/Seepage											
K - სრალია/Slickensided			C - კარბონატი/კარბონატი/Calcite/carbonate			CW - სრულდად გამოფიტული/Completely Weathering			S - მტკიცე/Strong			VS - ძლიერ მტკიცე/Very Strong											
S - გლუვი/Smooth			Q - კვარცული/კვარცინა/Quartz/Silica			CW - სრულდად გამოფიტული/Completely Weathering			VS - ძლიერ მტკიცე/Very Strong			ES - ვესტრიტულურად მტკიცე/Extremely Strong											
R - უხეში/rough			S - რკინა, სულფიდი, პირიტი/Iron Sulphides, pyrite			RS - ნარჩენი ქნი/Residual Soil			ES - ვესტრიტულურად მტკიცე/Extremely Strong			F - წყალმიღებული/Flow (quantify comments)											
X - სხვა (კომენტარი)/Other (comment)																							

კლდოვანის ქანების კლასიფიკაცია/Rock Mass Classification

პროექტი/Project		მიწის ნაკვეთის ზოგადი საინჟინრო-გეოლოგიური კვლევა LS-02		კოორდინატები/Coordinate:		0479240
				4622046		

კლდოვანი ქანის კლასიფიკაცია/Rock Mass Classification - RMR

სიმკტიცე/ Strength	RQD	ნაპრალებს შორის მანძილი/ Spacing of Discontinuiti- es	გავრცელების მდომარეობა/Condition of Discontinuities					გრუნტის წყალი/ ground Water	ჯამი/Total Rating	ქანის ხარისხის მაჩვენებელი/ Quality Index	Rock
			ნაპრალის სიგრძე/ Length	ნაპრალის სისქე/ Aperture	სიუხეშე/ Roughness	შემავსებელი/ Infilling	გამოფიტვა/ Weathering				
7	8	8	2	1	5	2	3	10	46	III - საშუალო/Fair rock	

კლდოვანი ქანის კლასიფიკაცია/Rock Mass Classification - Q

RQD	Jn	Jr	Ja	Jw	SRF	Q
45	15	3	3	0.66	5	0.40

ფოტოილუსტრაცია/PHOTOGRAPH

პროექტი/Project:	მიწის ნაკვეთის ზოგადი საინჟინრო-გეოლოგიური კვლევა LS-03	კოორდინატები:/Coordinate:	0479424 4722319
-------------------------	---	----------------------------------	--------------------



პროექტი/Project	მიწის ნაკვეთის ზოგადი საინჟინრო-გეოლოგიური კვლევა LS-03										კოორდინატები/Coordinate:	0479424 4622319										
ლითოგრაფიული აღწერა/LITHOLOGICAL DESCRIPTION AND DISCONTINUITY SUMMARY																						
(BS5930 სიმტკიცე/Strength, სტრუქტურა/Structure, ფერი/Colour, ტექსტურა/Texture, მარცვლების ზომა/Grain Size, ქანის ტიპი/Rock Type, გამოფიტვა/weathering, დანარალიანება/fracture, გამოფიტვის პროდუქტები/weathering products																						
საშუალო სიმტკიცის, თხელ და საშუალო ფერი, წვრილ მარცვლოვანი, ჭვიშაქვებისა და სუსტი, თხელმდებრივი, წვრილ მარცვლოვანი ყავისფერი ფერის, არგილიტების მორიგეობა, საშუალო გამოფიტვები, ნაპრალოვანი, გამოფიტვის პროდუქტები თიხა და აქვიძა, ძლიერ ნაპრალოვანი კარბონატის მარცვებით დასრიღი																						
ნაპრალის გავრცელების შეფასება/DISCONTINUITIES SUMMARY																						
ზონა/Zone	Nº	დახრის კუთხი/ Dip	დაწერება /Dip Direction	ნაპრალის შორის საშუალო მანძილი/ Spacing (mm)	სიბრტყე ლევ/ Planarity	უსწორმასწორობა/ Roughness	ნაპრალის სისქე (მმ)/ Aperture (mm)	შემავსებელი/ Infilling	სიგრძე/ Per (m)	ამპლიტუდა/ Amplitude (mm)	გამოფიტვა/ Weathering	სიმტკიცე/ Strength	გაწყვეტილება/ Water	RQD								
-	1	2	3	4	5	6	7	8	9	10	11	12	13	14	15							
Layer	1	25	030	300	U	R	1-3	CI	SA	30	100	MW	MS	D	52							
J	2	75	130	150	S	R	5	CI	CI	2		MW	MS	D								
J	3	80	265	200	P	R	10	SA	CI	3		MW	MS	D								
J	4	55	205	250	P	R	1-2	CI	SL	5		MW	MS	D								
ზედაპირის სიბრტყე/Planarity		შემავსებელი/Infilling			გამოფიტვა/Weathering			Strength			გაწყვეტილება/Water											
P - ბრტყლი/planar		CL - თიხა/clay			F - საუძინო/Fresh			EW - უძველეს/Extremely Weak			D - მშრალ/Dry											
U - ტრანსიენტური/undulating/Curved		SI - მლაშილიამზ./Silt			SW - მცირედ გამოფიტული/Slightly Weathering			VW - ძლიერ სუსტი/Very Weak			ST - მცირედ ნეტარანი/Stained											
S - საფარეულობრივი/Stepped		SA - ქვაშა/Sand			MW - სამცირედ გამოფიტული/Moderately Weathering			W - სუსტი/Weak			DA - ნეტარანი/Damp											
ზედაპირის უსწორმასწორობა/Roughness		I - რიზინის ფარგლები/Iron oxides			HW - ძლიერ გამოფიტული/Hightly Weathering			MS - სამცირედ მტკიცე/Moderately Strong			S - ფილიატოლური/Seepage											
K - სრულად/Slickensided		C - კალციტი/კარბონატი/Calcite/carbonate			CW - სრულად გამოფიტული/Completely Weathering			S - ძლიერ/Strong			F - წყალმიღება/Flow (quantify comments)											
S - გლუვი/Smooth		Q - კვარცი/სილიკატები/Silica			RS - ნარჩენი ქანის Residual Soil			VS - ძლიერ მტკიცე/Very Strong			ES - უძველეს/უძველეს მტკიცე/Extremely Strong											
R - უჯერმი/Rough		S - რიზინის სალიფადი/მინერალი/Iron Sulphides, pyrite			X - სხვა (კომენტარი)/Other (comment)																	

ფოტოილუსტრაცია/PHOTOGRAPH

პროექტი/Project:	მიწის ნაკვეთის ზოგადი საინჟინრო-გეოლოგიური კვლევა LS-04	კოორდინატები/Coordinate:	0479564 4622218
			

პროექტი/Project	მიწის ნაკვეთის ზოგადი საინჟინერო გეოლოგიური კვლევა LS-04										კოორდინატები/Coordinate:	0479564 4622218											
ლითოლოგიური აღწერა/LITHOLOGICAL DESCRIPTION AND DISCONTINUITY SUMMARY																							
(BS5930 სიმძიმე/Strength, სტრუქტურა/Structure, ფერი/Colour, ტექსტურა/Texture, მარცვლების ზომა/Grain Size, ქნის ტიპი/Rock Type, გამოფიტვა/weathering, დანაპრალიანება/fracture, გამოფიტვის პროდუქტები/weathering products)																							
საშუალოდ მტკიცე, თხელ და საშუალო ფერი, ყავისფერი, წურილ მარცვლოვანი, კვიშაქვებისა და სუსტი, თხელშედებრივი, წვრილ მარცვლოვანი ყავისფერი ფერის, არგილიტების მორიგეობა, საშუალოდ გამოფიტული, ნაპრალოვანი, გამოფიტვის პროდუქტები თიხა და აქტივა, ძლიერ ნაპრალოვანი კარბონატის ძარღვებით დასრიღი																							
ნაპრალის გავრცელების შეფასება/DISCONTINUITIES SUMMARY																							
ზონა/Zone	№	დახრის კუთხე/ Dip	დაქნება /Dip Direction	ნაპრალებს შორის საშუალო მნიშვნელო/ Spacing (mm)	სიბრტყე და/ Planarity	უსწორმასწორობა ა/ Roughness	ნაპრალის სისქე (მმ)/ Aperture (mm)	შემაგრებელი/ Infilling	სიგრძე/ Per (m)	ამპლიტუდა/ Amplitude (mm)	გამოფიტვა/ Weathering	სიმძიმე/ Strength	გაწყლოვანება/ Water	RQD									
-	1	2	3	4	5	6	7	8	9	10	11	12	13	14	15								
Layer	1	25	040	50	P	S	1-2	Cl	Q	5		MW	MS	D									
J	2	35	253	300	U	S	5	Cl	SA	3	50	MW	MS	D									
J	3	60	030	60	P	S	2	Cl	SA	2		MW	MS	D									
J	4	88	270	200	U	R	1-3	Cl	SA	1.5	100	MW	MS	D									
ზედაპირის სიბრტყე/Planarity P - ბრტყელი/planar U - ტალღისტერიული/undulating/curved S - საფეხურისტრიკი/Stepped K - ხრალივ/Slickensided S - კლეივი/Smooth R - უსქერი/Rough	ზემაგრებელი/Infilling CL - თიხა/clay SI - შლემდამი/Silt SA - ჭრის/Sand I - რკინის ფანგელი/Iron oxides C - კალციტი/კარბონატი/Calcite/carbonate Q - კვარცი/სილიკები/Quartz/Silica S - რკინი, სულფიდი, პირიტი/Iron Sulphides, pyrite X - სხვა (კომენტარი)/Other (comment)	გამოფიტვა/Weathering F - საღი/Fresh SW - მიირდ გამოფიტული/Slightly Weathering MW - საშუალო გამოფიტული/Moderately Weathering HW - ძლიერ გამოფიტული/Highly Weathering CW - სრულად გამოფიტული/Completely Weathering RS - ნარჩენი ქნის/Residual Soil	Strength EW - უსტრუქტურულად სუსტი/Extremely Weak VW - ძლიერ სუსტი/Very Weak W - სუსტი/Weak MS - საშუალოდ მტკიცე/Moderately Strong S - მტკიცე/Strong VS - ძლიერ მტკიცე/Very Strong ES - უსტრუქტურულად მტკიცე/Extremely Strong	გაწყლოვანება/Water D - მტრალი/Dry ST - მცირდ ნებტანი/Stained DA - ნებტანი/Damp S - ფალტრაციული/Seepage F - წყალმოდენა/Flow (quantify comments)	50																		

კლდოვანის ქანების კლასიფიკაცია/Rock Mass Classification

კლდოვანის ქანების კლასიფიკაცია/Rock Mass Classification

კლდოვანი ქანის კლასიფიკაცია/Rock Mass Classification - RMR

კლდოვანი ქანის კლასიფიკაცია/Rock Mass Classification - Q

3.4 დანართი 4. ვარდების დიაგრამა

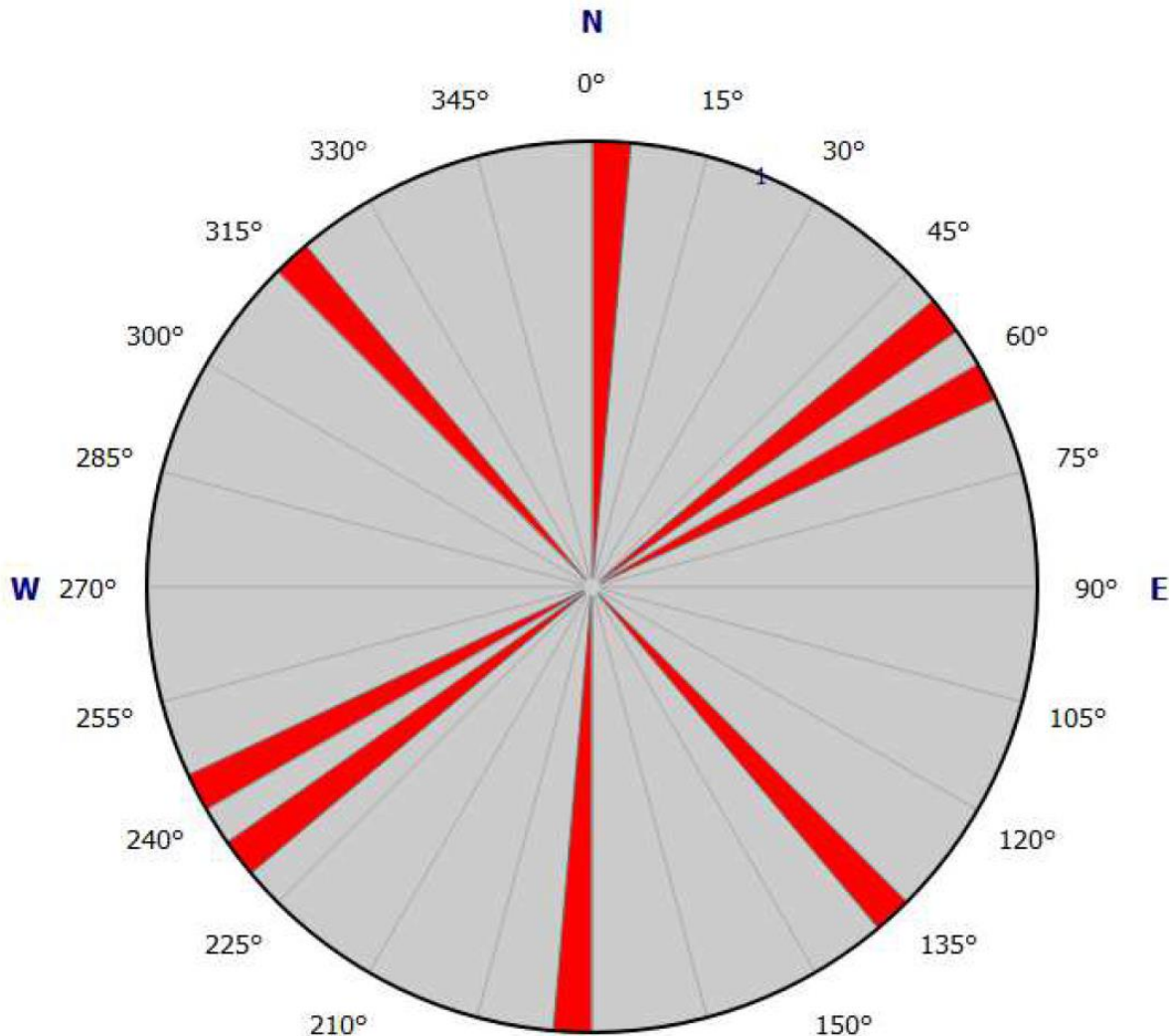
LS-01 (0478982;4622027)

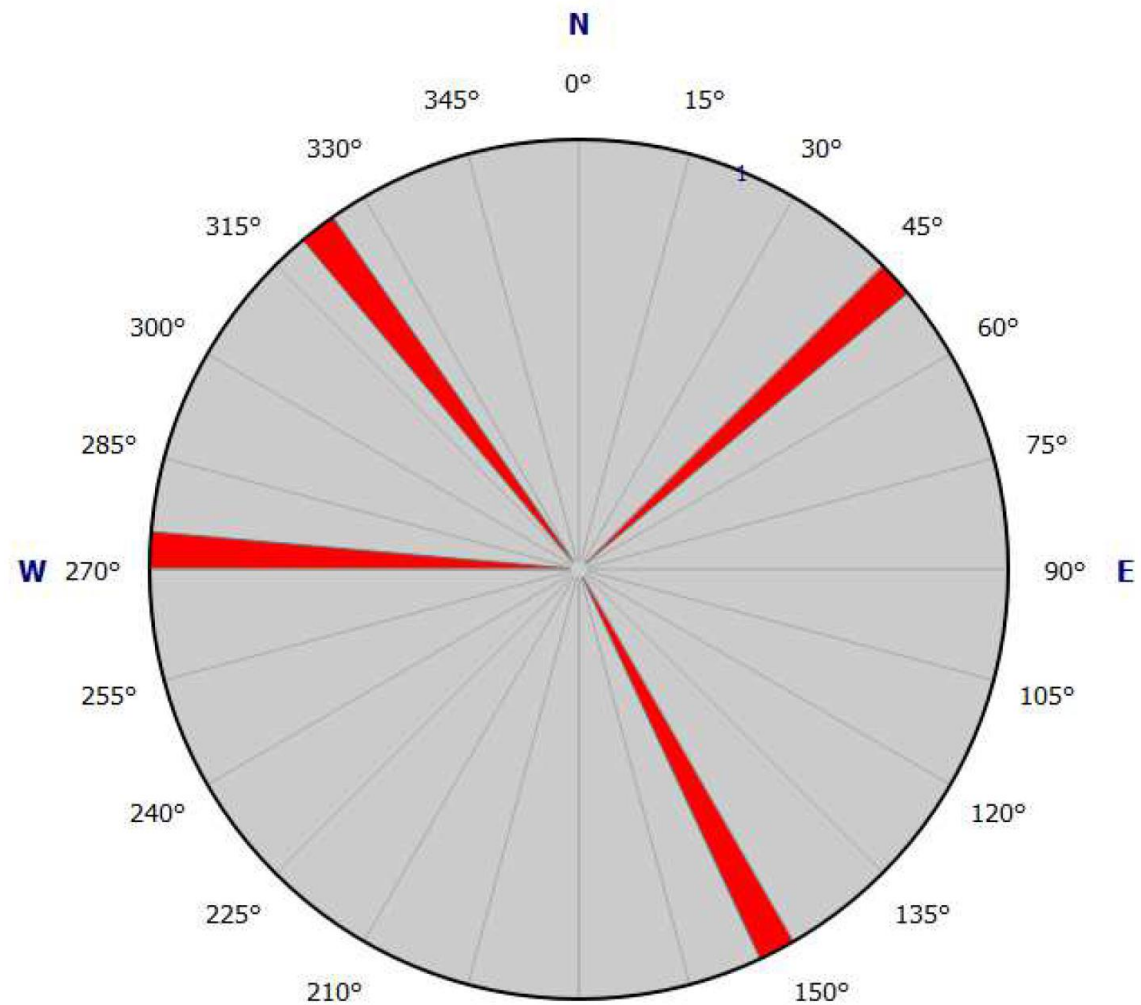
I ნაპრალთა სისტემის მიმართების აზიმუტია ჩრდ-დას, სამხ-აღმოსავლური, ჩრდ-აღმოსავლური დაქანების აზიმუტით, დახრის კუთხე - 35° .

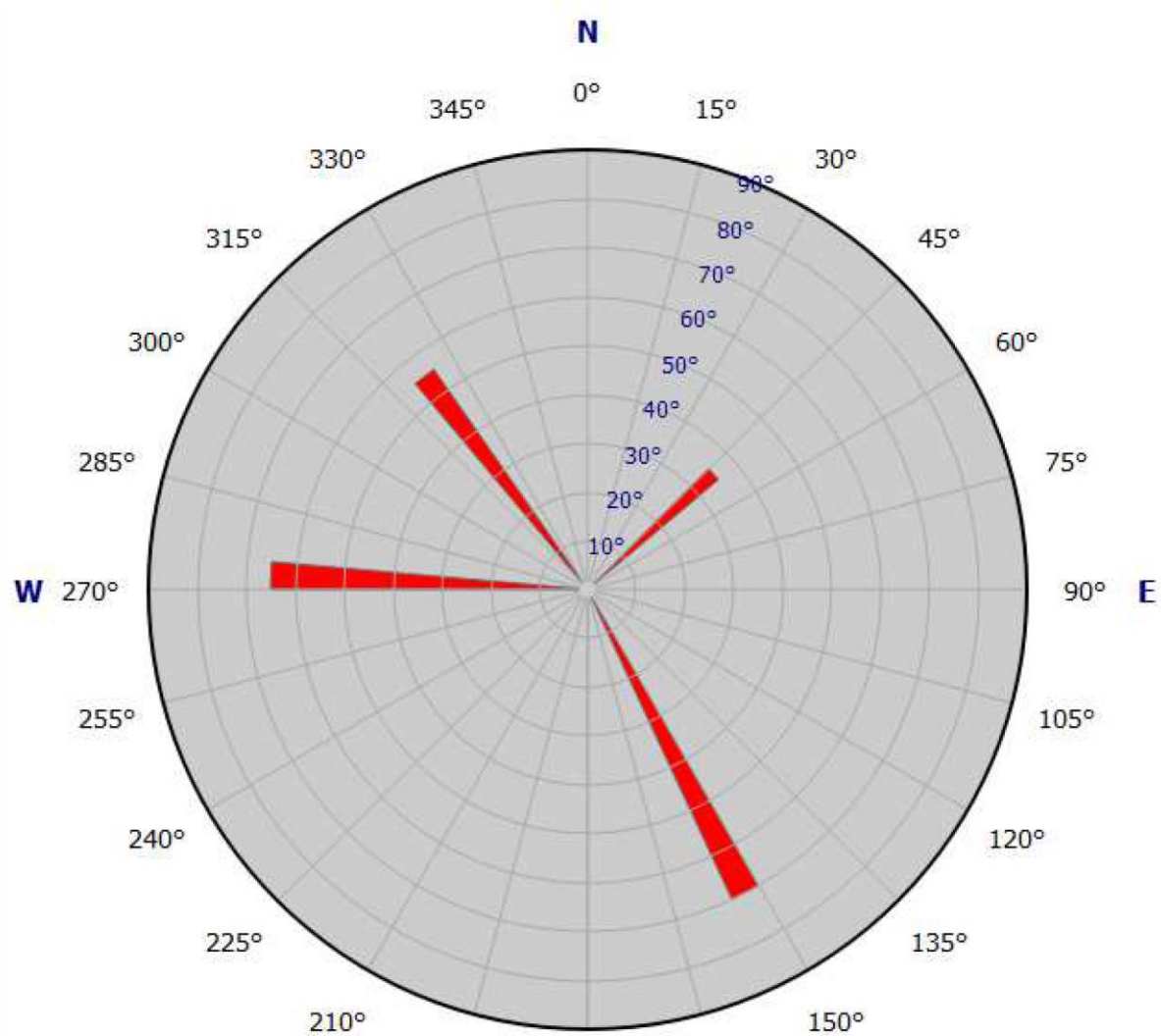
II ნაპრალთა სისტემის მიმართების აზიმუტია ჩრდ-აღმ, სამხ-დასავლური, სამხ-აღმოსავლური დაქანების აზიმუტით, დახრის კუთხე - 70° .

III ნაპრალთა სისტემის მიმართების აზიმუტია ჩრდ-აღმ, სამხ-დასავლური, ჩრდ-დასავლური დაქანების აზიმუტით, დახრის კუთხე - 65° .

IV ნაპრალთა სისტემის მიმართების აზიმუტია ჩრდ-აღმ, სამხ-დასავლური, ჩრდ-დასავლური დაქანების აზიმუტით, დახრის კუთხე - 55° .







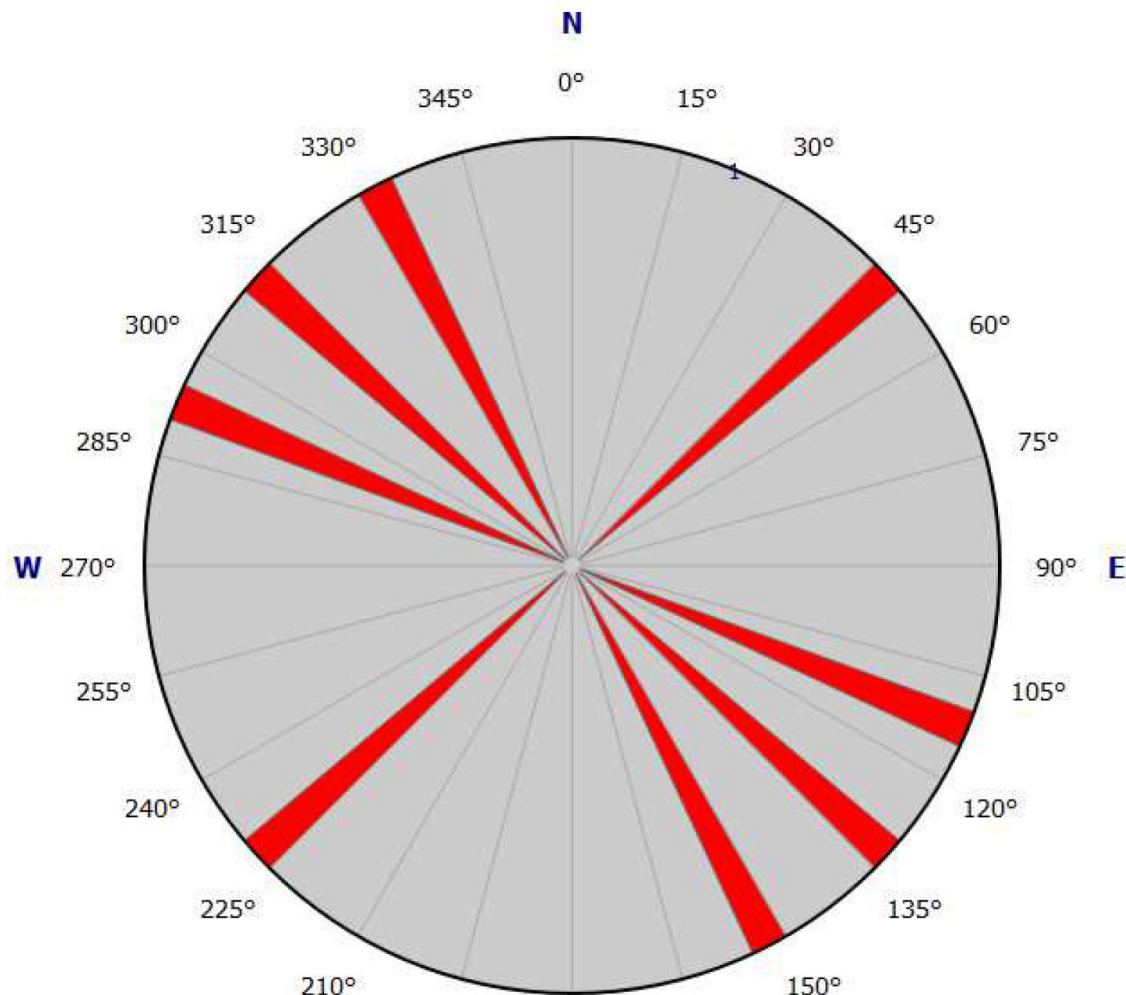
LS-02 (0479240;4622046)

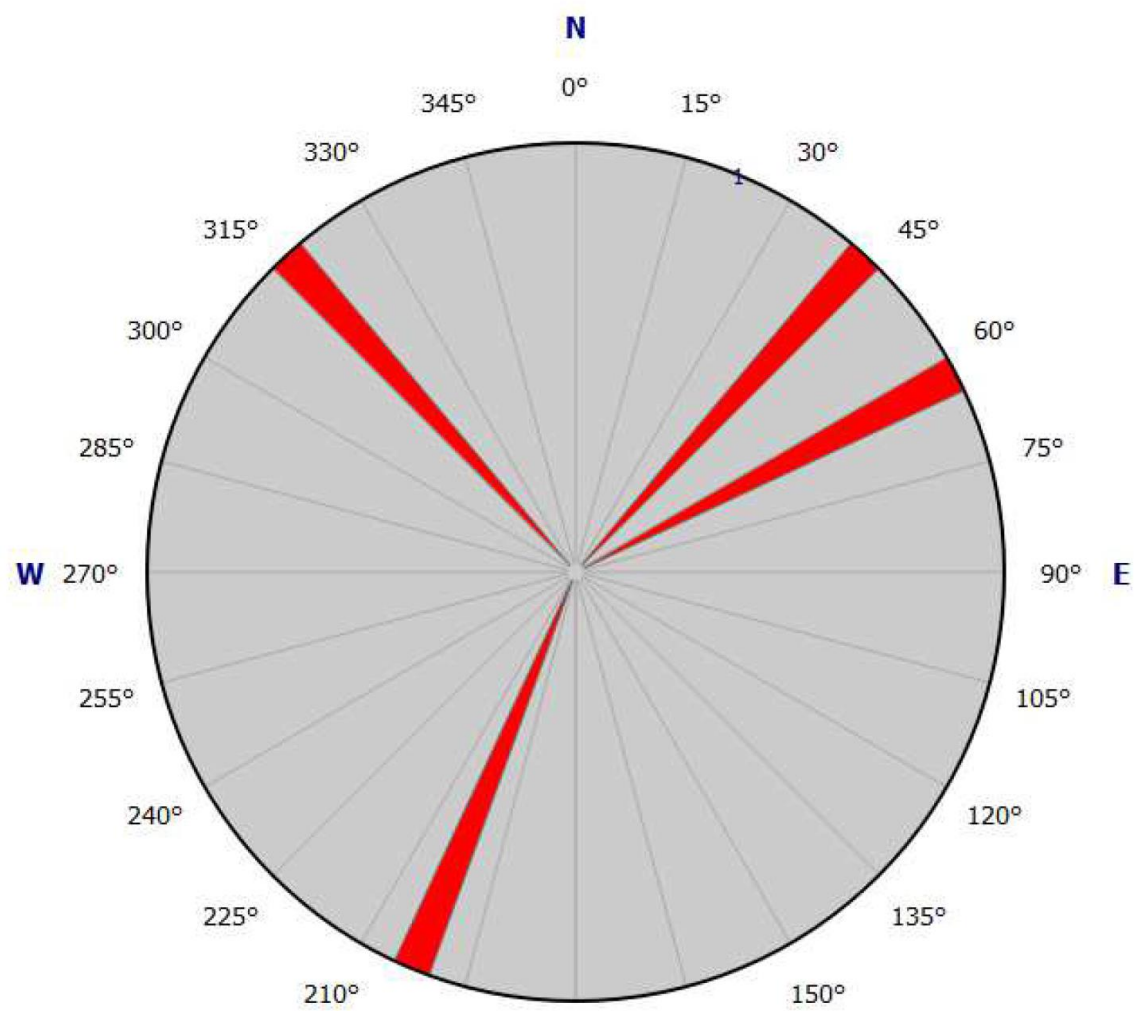
I ნაპრალთა სისტემის მიმართების აზიმუტია ჩრდ-დას, სამხ-აღმოსავლური, ჩრდ-აღმოსავლური დაქანების აზიმუტით, დახრის კუთხე - 30° .

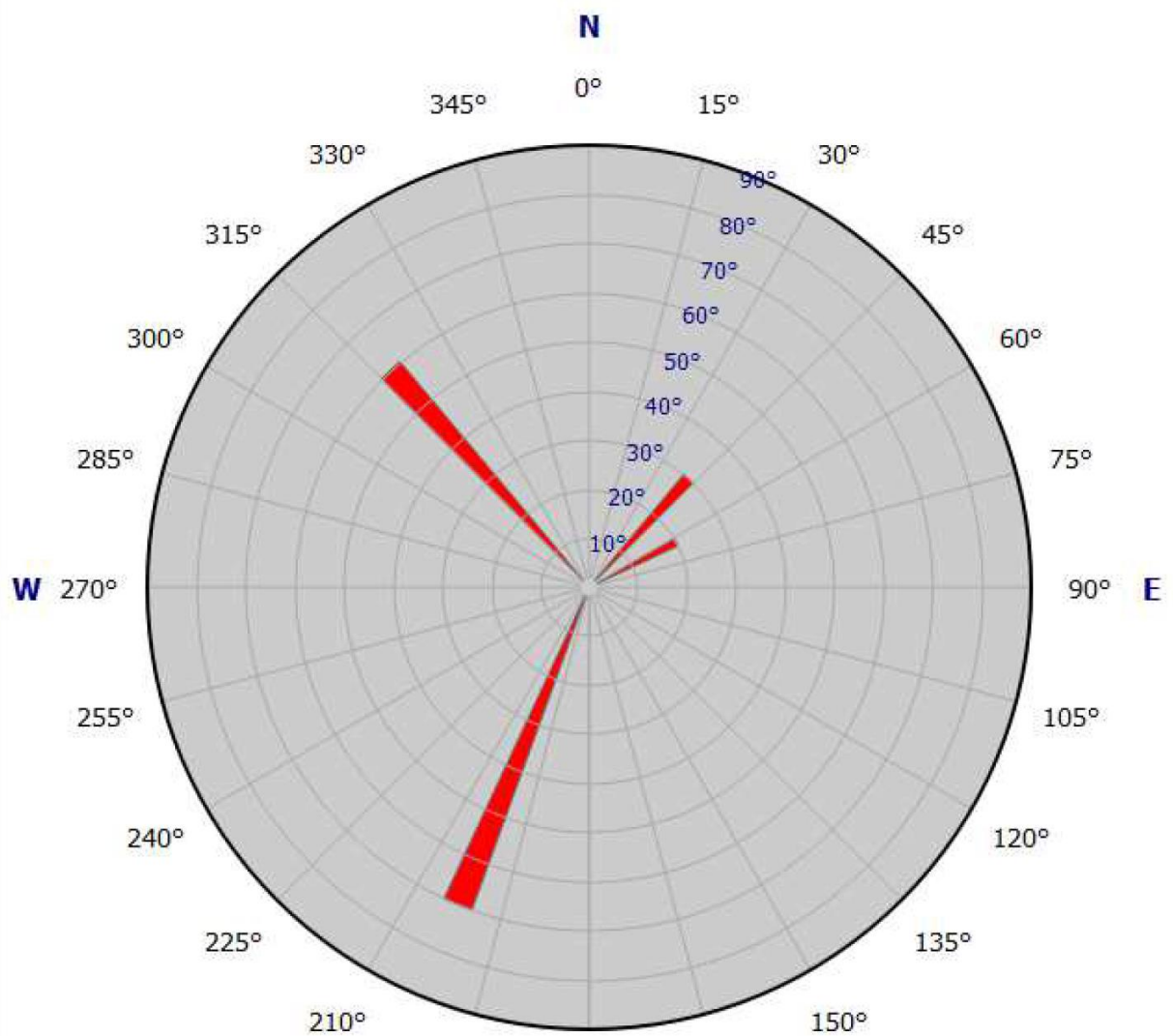
II ნაპრალთა სისტემის მიმართების აზიმუტია ჩრდ-დას, სამხ-აღმოსავლური, სამხ-დასავლური დაქანების აზიმუტით, დახრის კუთხე - 70° .

III ნაპრალთა სისტემის მიმართების აზიმუტია ჩრდ-აღმ, სამხ-დასავლური, ჩრდ-დასავლური დაქანების აზიმუტით, დახრის კუთხე - 60° .

IV ნაპრალთა სისტემის მიმართების აზიმუტია ჩრდ-დას, სამხ-აღმოსავლური, ჩრდ-აღმოსავლური დაქანების აზიმუტით, დახრის კუთხე - 20° .







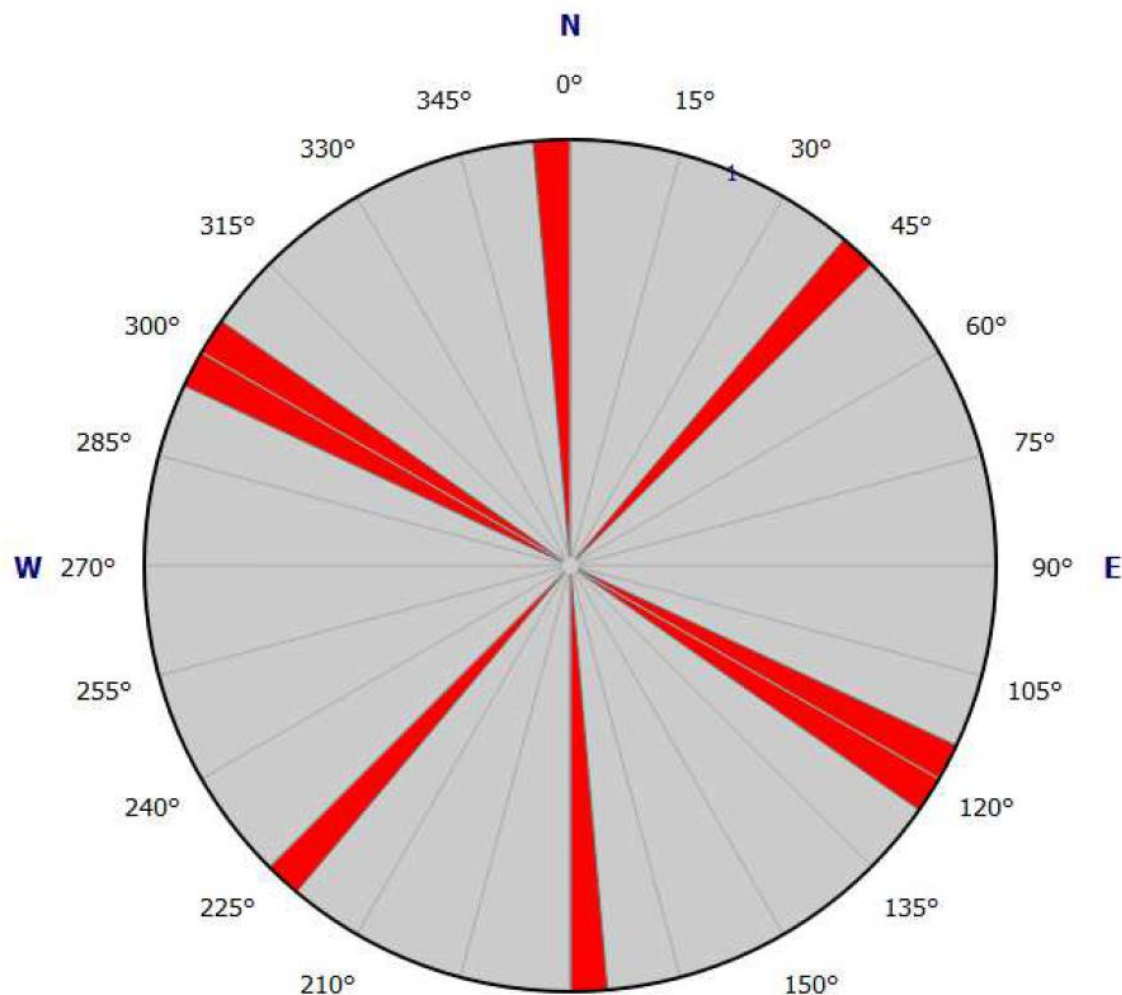
LS-03 (0479424;4722319)

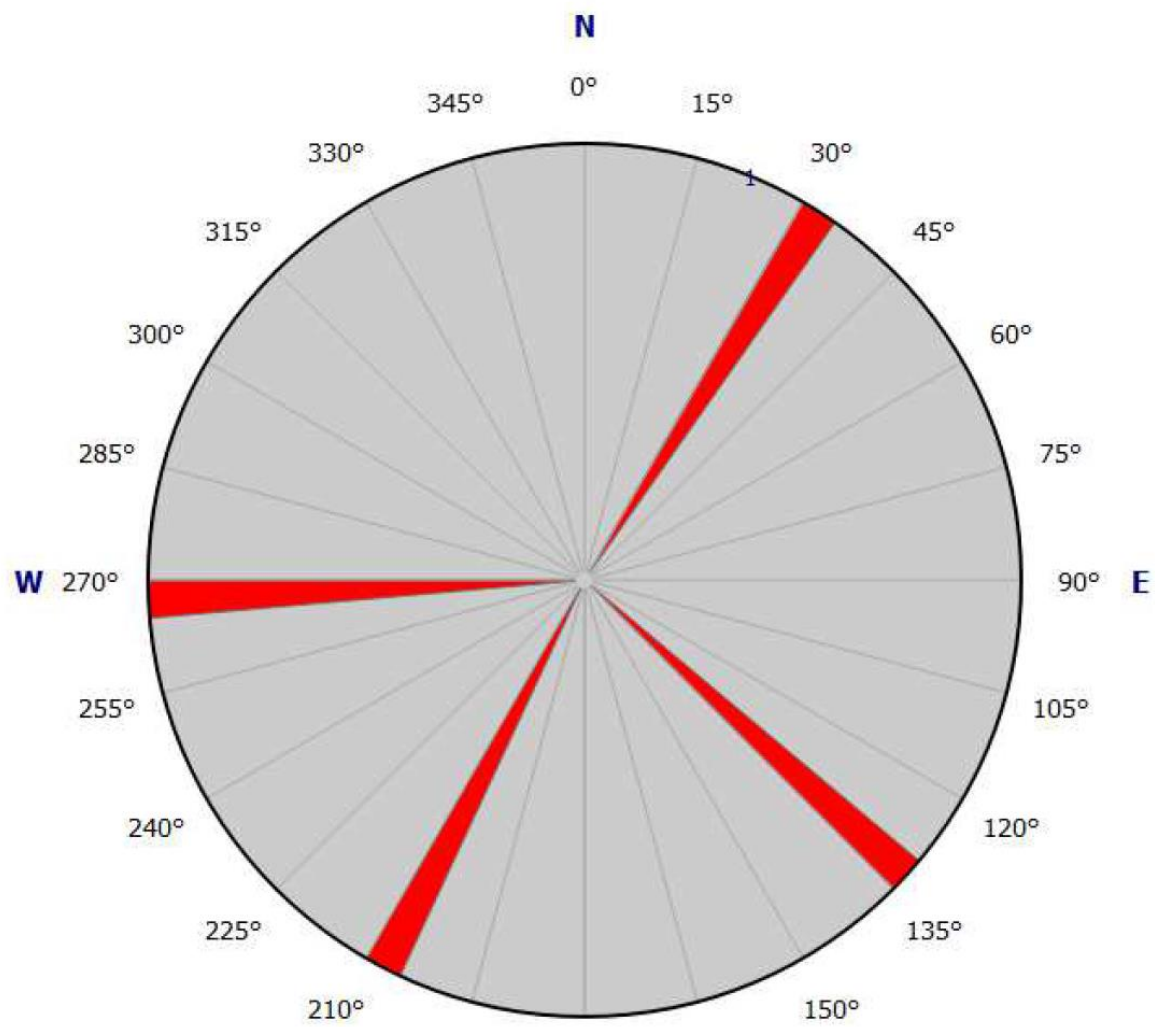
I წაპრალთა სისტემის მიმართების აზიმუტია ჩრდ-დას, სამხ-აღმოსავლური, ჩრდ-აღმოსავლური დაქანების აზიმუტით, დახრის კუთხე - 25° .

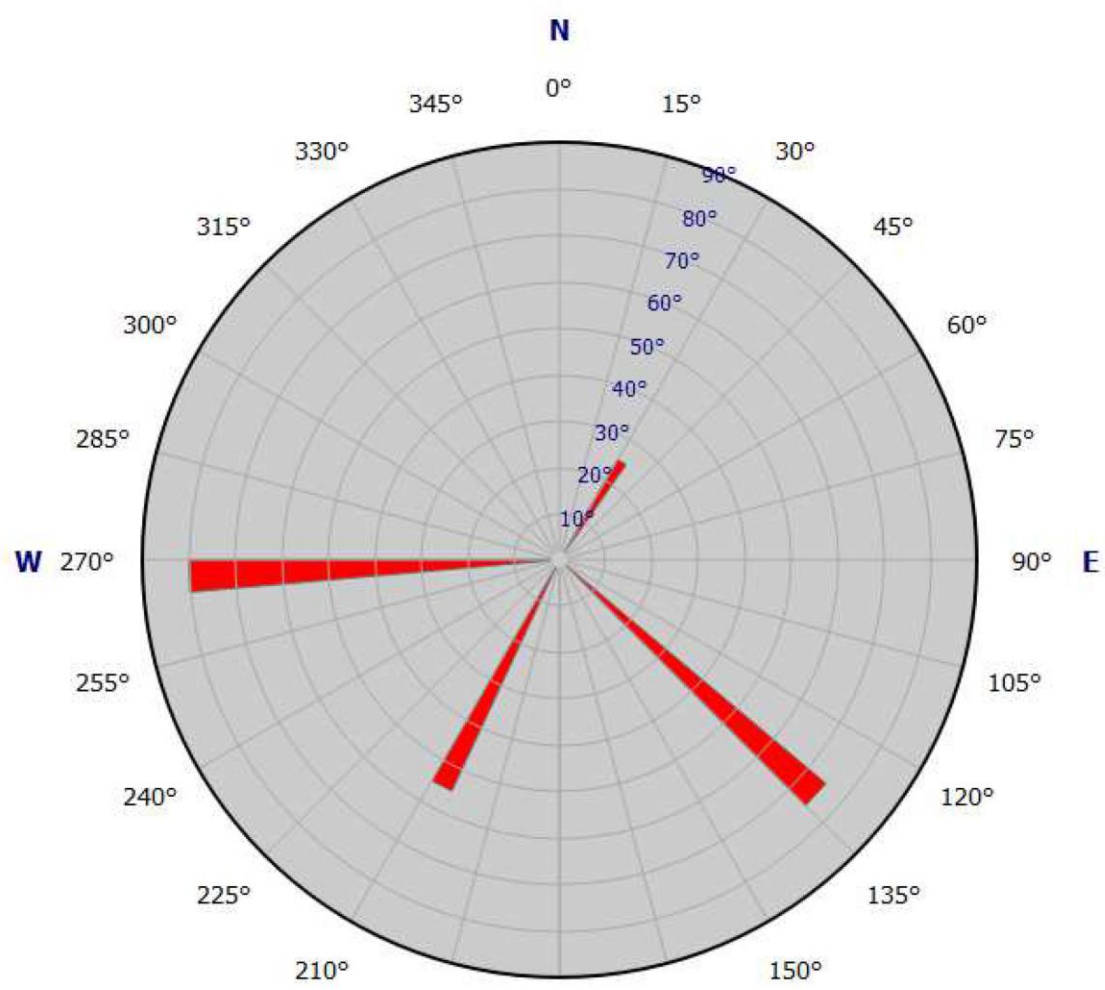
II წაპრალთა სისტემის მიმართების აზიმუტია ჩრდ-აღმ, სამხ-დასავლური, სამხ-აღმოსავლური დაქანების აზიმუტით, დახრის კუთხე - 75° .

III წაპრალთა სისტემის მიმართების აზიმუტია ჩრდ-დას, სამხ-აღმოსავლური, სამხ-დასავლური დაქანების აზიმუტით, დახრის კუთხე - 80° .

IV წაპრალთა სისტემის მიმართების აზიმუტია ჩრდ-დას, სამხ-აღმოსავლური, ჩრდ-აღმოსავლური დაქანების აზიმუტით, დახრის კუთხე - 55°







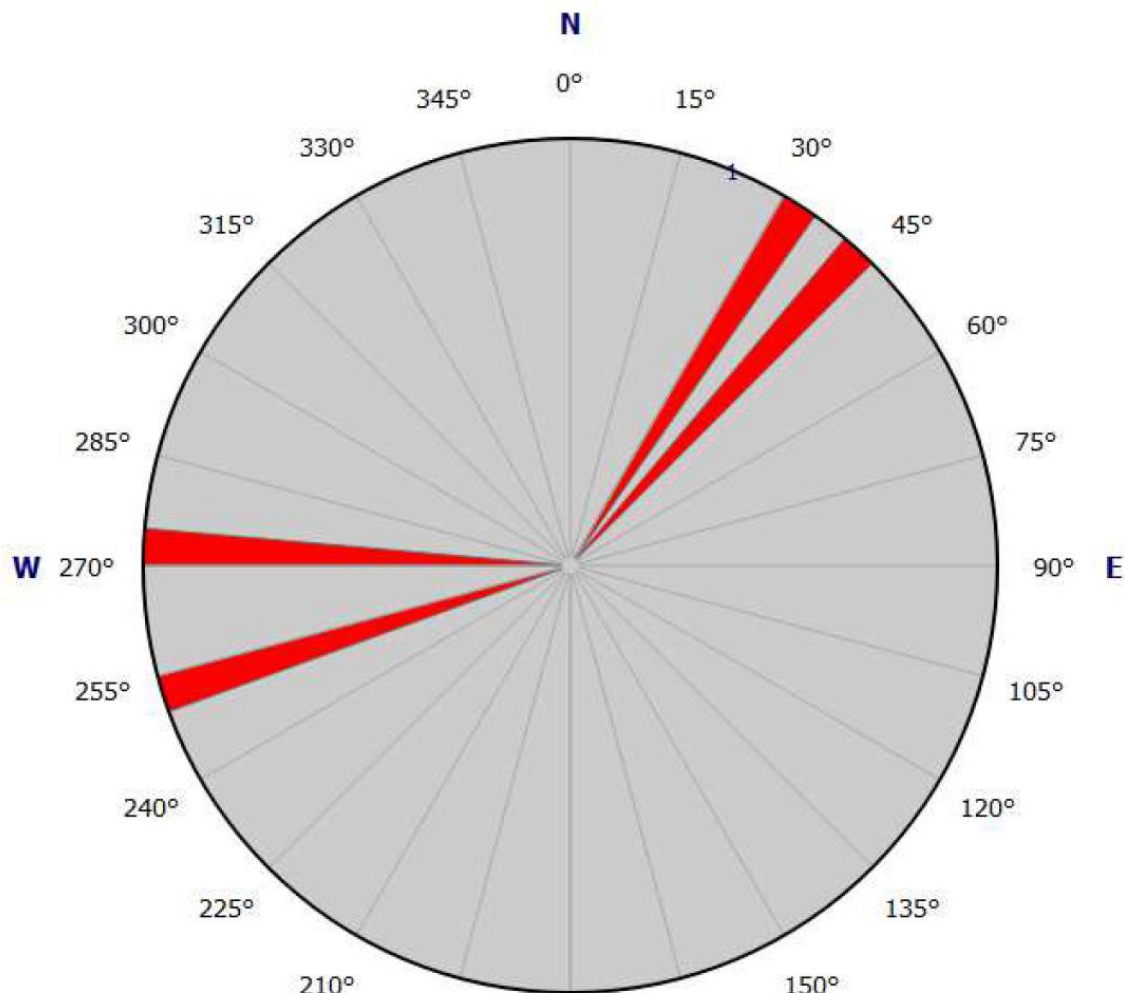
LS-04 (0479564;4622216)

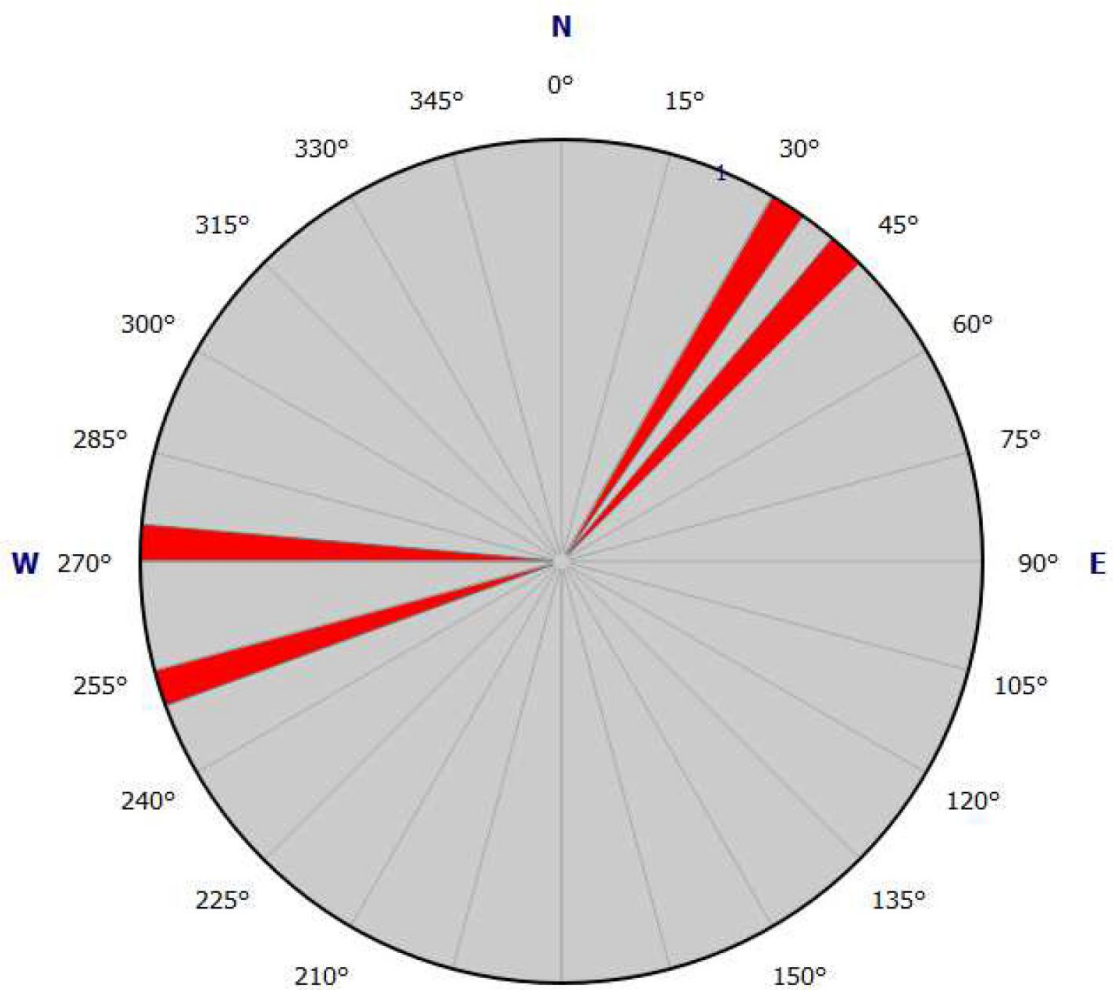
I ნაპრალთა სისტემის მიმართების აზიმუტია ჩრდ-დას, სამხ-აღმოსავლური, ჩრდ-აღმოსავლური დაქანების აზიმუტით, დახრის კუთხე - 25° .

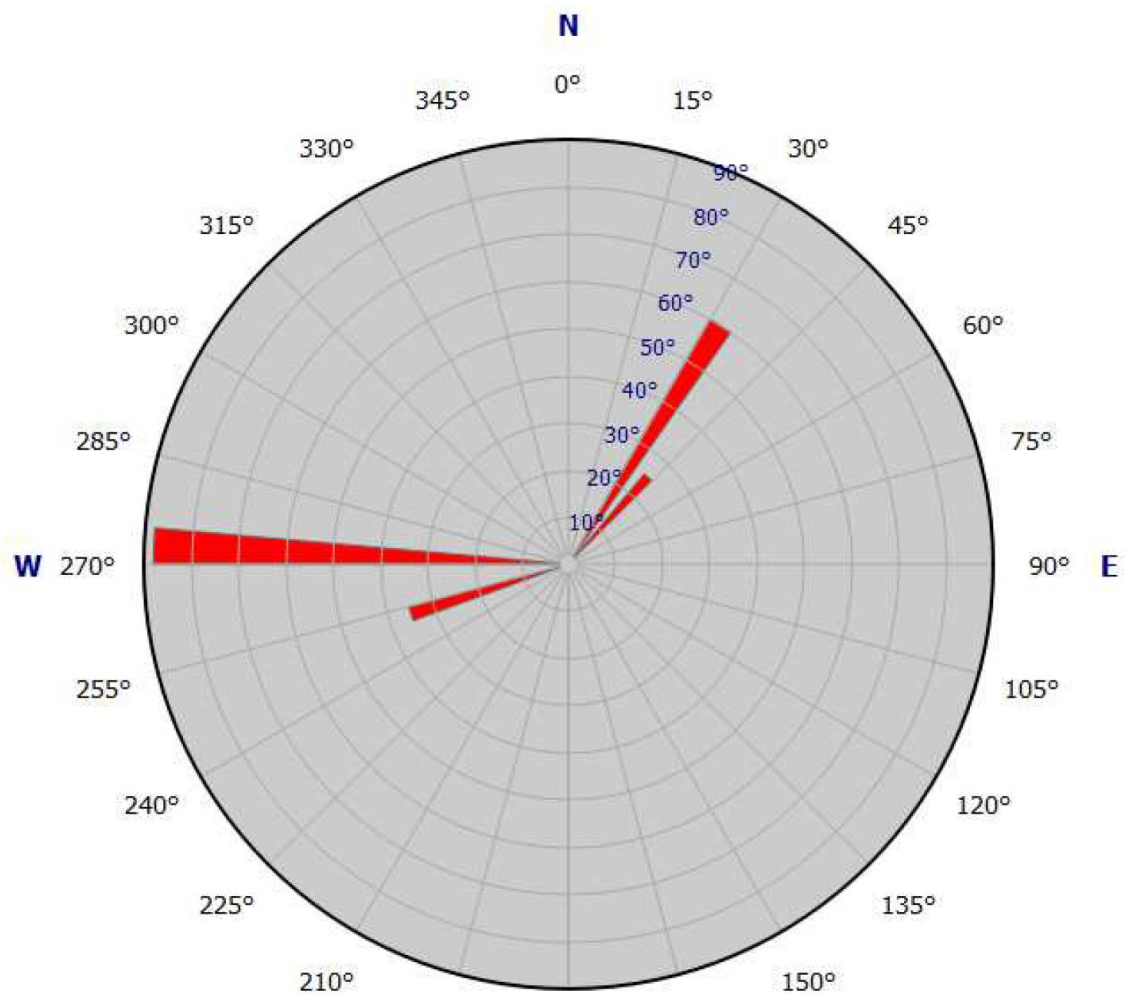
II ნაპრალთა სისტემის მიმართების აზიმუტია ჩრდ-დას, სამხ-აღმოსავლური, სამხ-დასავლური დაქანების აზიმუტით, დახრის კუთხე - 35° .

III ნაპრალთა სისტემის მიმართების აზიმუტია ჩრდ-დას, სამხ-აღმოსავლური, ჩრდ-აღმოსავლური დაქანების აზიმუტით, დახრის კუთხე - 60° .

IV ნაპრალთა სისტემის მიმართების აზიმუტია ჩრდ-აღმ, სამხ-დასავლური, ჩრდ-დასავლური დაქანების აზიმუტით, დახრის კუთხე - 88° .







3.5 დანართი 5. ჭაბურღლილები

დაწყების თარიღი:	18.08.2021	დამცავი მილის დიამეტრი (მმ):	
დაწყების დრო:		146	0 - 0.0
დასრულების თარიღი:	18.08.04.2021	127	0.0 - 0.0
დასრულების დრო:		108	0.0 - 0.0
ბურღლის მეთოდი:	სეპტური	ჭაბურღლილის დიამეტრი (მმ):	ჭაბურღლილი №:
შემსრულებელი გეოტექნიკოსი:	GTS	146	479216.136
საბურღლი დახმარება:	URB 2a2	127	4622021.427
მბურღლავი:	ზ. ქაშაშვილი	108	704.7

b0j №	ნიმუში/ადგილზე ტესტირება					შრის აღწერა	ნივების სივრცე (მ)	სიღრმე (მ)	ტიპი	ნივების სიმძირი	ნივების სიმძირი	
	საბურღლის ხილჩები (მ)	ტიპი	ნივების სიმძირი	ტიპი	ნივების სიმძირი							
0.0						მიწის ზედაპირი	0.0					
2	0.5-0.7	D	1			დორდოვანი გრუნტი, საშუალო და წერილი ზომის, ყავისფერი ნახევრად მყარი ქარბონატული თიხნარის 30-40%-მდე შემავსებლით	1.2	▽▽▽▽	▽▽▽▽			
4	2.0	2.0-2.2	U	2		გამოფიტული და დანაპრალიანგებული მუქი ნაცრისფერი არგილიტების (30%-35%) და ქვიშაქვების (65%-70%) მორიგეობა, არგილიტები თხელშრებრივი და ზოგან ფურცლოვანი, ქვიშაქვები თხელ და საშუალო შრებრივი	3.3	████████	████████			
5	4.0					სუსტად გამოფიტული და დანაპრალიანგებული მუქი ნაცრისფერი არგილიტების (30%-35%) და ქვიშაქვების (65%-70%) მორიგეობა, არგილიტები თხელშრებრივი და ზოგან ფურცლოვანი, ქვიშაქვები თხელ და საშუალო შრებრივი	6.0	████████	████████			
5	5.0	5.0-5.2	U	3								
6.0												

დაწყების თარიღი:	20.08.2021	დამცავი მილის დიამეტრი (მმ):	
დაწყების დრო:		146	0 - 0.0
დასრულების თარიღი:	20.08.04.2021	127	0.0 - 0.0
დასრულების დრო:		108	0.0 - 0.0

ჭაბურღლილი №.: 2

ნაკვე	ნიმუში/ადგილზე ტესტირება					მრის აღწერა	საბოლოო სივრცე (მ)	გეოლოგიური სივრცე (მ)
	ნიმუშის ნოტი	ნიმუშის ნოტი	SPT (C) A+B+C	ტიპი	სიმუშავების ნიმუში (მ)			
	0.0					მიწის ზედაპირი	0.0	
1	0.5-0.7	U	1			თიხნარი, ყავისფერი, კარბონატული, ნახევრად მყარი კონსისტენციის, სინკის 15%-მდე ჩანართებით		
4	2.5-2.7	U	2			გამოფიტული და დანაპრალიანებული მექი ნაცრისფერი არგილიტების (30%-35%) და ქვიშაქვების (65%-70%) მორიგეობა, არგილიტებით თხელმრევებრივი და ზოგან ფურცლოვანი, ქვიშაქვები თხელ და საშუალო შრეებრივი	1.0	
5	5.0-5.2	U	3			სუსტად გამოფიტული და დანაპრალიანებული მექი ნაცრისფერი არგილიტების (30%-35%) და ქვიშაქვების (65%-70%) მორიგეობა, არგილიტებით თხელმრევებრივი და ზოგან ფურცლოვანი, ქვიშაქვები თხელ და საშუალო შრეებრივი	3.5	
	6.0						6.0	

დაწყების თარიღი: 19.08.2021 დაწყების დრო: 19.08.04.2021 დასრულების თარიღი: 19.08.04.2021 დასრულების დრო:	დამკავი მილის დამკეტრი (მმ): 146 0 - 0.0 127 0.0 - 0.0 108 0.0 - 0.0	ჭაბურლილი №.: 3
პერდფის მეთოდი: სკატური მემსრულებელი გეოტექნიკის: GTS საბურლი დანადგარი: URB 2a2 მასურლავი: ხ. ჭაბურლილი	ჭაბურლილის დამკეტრი (მმ): 146 0 - 0.0 127 0.0 - 3.0 108 3.0 - 6.0	განკვდი (გ): 479046.676 გრძელი (გ): 4622100.945 სიმაღლე (გ): 712.5

№	ნიმუში/ადგილზე ტესტირება					სრის აღწერა	საბურლის სიმაღლე (მ)	კოორდინატის სიმაღლე (მ)
	გეოტექნიკის ნიმუშის ნიმუში	ნიმუშის ნიმუში	ტესტირების დრო	SPT (C) A+B+C				
	0.0					მიწის ზედაპირი	0.0	
1	0.5-0.7 1.0	U	1		თიხნარი, ფაფისფერი, გარბონატული, ნახევრად მყარი კონსისტენციის, ხეინჯის 15%-მდე ჩანართებით		1.4	
4	2.0-2.2 3.0	U	2		გამოფიტული და დანამრალიანებული მუქი ნაცრისფერი არგილიტების (30%-35%) და ქვიშაქვების (65%-70%) მორიგეობა, არგილიტები თხელშრეებრივი და ზოგან ფურცლოვანი, ქვიშაქვები თხელ და საშუალო შრეებრივი		3.8	
5	4.0 5.0 6.0 5.5-5.8	U	3		სუსტად გამოფიტული და დანამრალიანებული მუქი ნაცრისფერი არგილიტების (30%-35%) და ქვიშაქვების (65%-70%) მორიგეობა, არგილიტები თხელშრეებრივი და ზოგან ფურცლოვანი, ქვიშაქვები თხელ და საშუალო შრეებრივი		6.0	

დაწყების თარიღი:	21.08.2021	დამტვა მიღის დამტერი (მმ):	
დაწყების დრო:		146	0 - 0.0
დასრულების თარიღი:	21.08.04.2021	127	0.0 - 0.0
დასრულების დრო:		108	0.0 - 0.0
ბურდის მეთოდი: სვეტური შემსრულებელი გეოტექნიკოსი: GTS საბურდო დანადგარი: URB 2a2 აბურდავი: №. ქაშაშვილი		ჭაბურდილის დამტერი (მმ):	ჭაბურდილი №.: 4
146	0 - 0.0	განედი (მ): 479231.986	
127	0.0 - 3.0	გრძელი (მ): 4622086.154	
108	3.0 - 6.0	სიმაღლე (მ): 694.2	



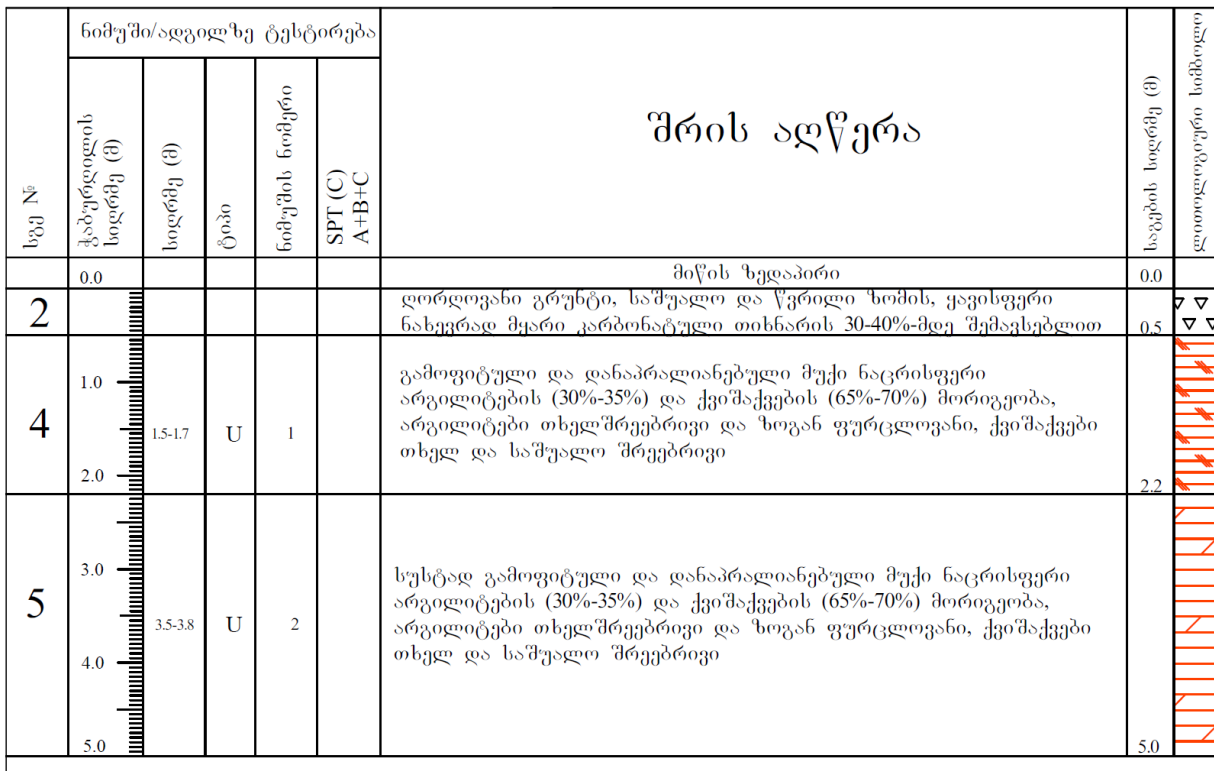
დაწესების თარიღი:	21.08.2021	დამტავი მოდის დიამეტრი (მმ):	
დაწესების დრო:	146	0 - 0.0	
დასრულების თარიღი:	21.08.04.2021	127	0.0 - 0.0
დასრულების დრო:	108	0.0 - 0.0	
ბურღვის მეთოდი:	სკანერი	ჭაბურღლის დიამეტრი (მმ):	
შემსრულებელი გაორგანიზაცია:	GTS	146	0 - 0.0
საბურღლი დანადგარი:	URB 2a2	127	0.0 - 3.0
მბერღლავი:	ზ. ქაშაშვილი	108	3.0 - 6.0
			განედი (გ): 479146.501
			გრძედი (გ): 4622148.772
			სიმაღლე (გ): 688.7

დაწყების თარიღი:	22.08.2021	დამცავი მილის დიამეტრი (მმ):	
დაწყების დრო:	146	0 - 0.0	
დასრულების თარიღი:	22.08.04.2021	127	0.0 - 0.0
დასრულების დრო:	108	0.0 - 0.0	
			ჭაბურღლილი №.: 6
ბურღვის მეოთხე: სკებაზრი შემსრულებელი გეოტექნიკურის: GTs საბურღლი დანადგარი: URB 2a2 მბურღლავი: ზ. ქაშიაშვილი	ჭაბურღლილის დიამეტრი (მმ):	განედი (მ): 479314.625 გრძედი (მ): 4622084.662 სიმაღლე (მ): 677.3	
	146	0 - 0.0	
	127	0.0 - 3.0	
	108	3.0 - 6.0	

ხაზი №	ნიმუში/აღგილებები ტესტირება		SPT (C) A+B+C	ნიმუშის ნომერი	ტესტი ნომერი	სიკერდივის სიმძლე (ტ)	სიკერდივის სიმძლე (ტ)	ტესტი ნომერი	ნიმუში/აღგილებები ტესტირება	
	ნიმუში/აღგილებები ტესტირება	სიკერდივის სიმძლე (ტ)								
მრის აღწერა										
2	0.0								მიწის ზედაპირი	
4	1.0 1.0-1.2 2.0	U	1			დორდოფანი გრუნტი, საშუალო და წერილი ზომის, ყავისფერი ნახევრად მყარი არბონატული თიხნარის 30-40%-მდე შემაგრებლით				0.0 0.3
5	3.0 4.0 4.0-4.2 5.0 5.0 6.0	U	2			გამოფიტული და დანაპრალიანებული მუქი ნაცრისფერი არგილიტების (30%-35%) და ქვიშაქვების (65%-70%) მორიგეობა, არგილიტები თხელმრევებივი და ზოგან ფურცლოვანი, ქვიშაქვები თხელ და საშუალო შრეებრივი				2.6 6.0

შრის აღწერა

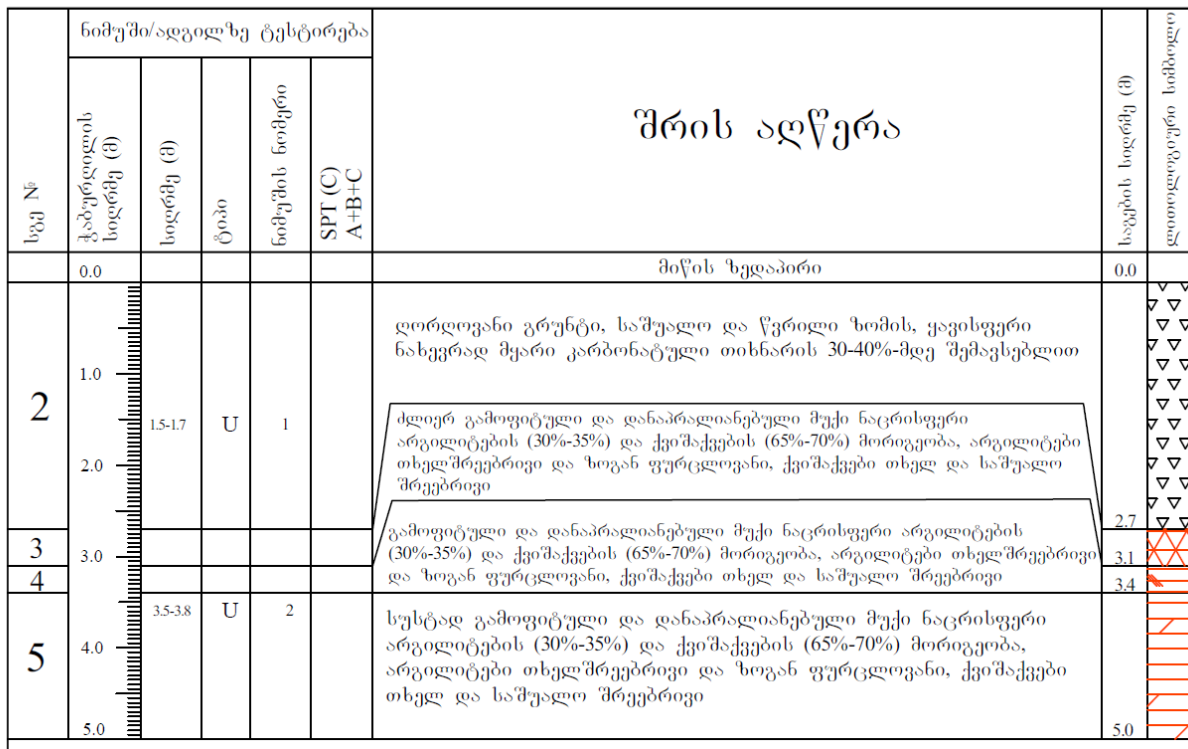
დაწყების თარიღი:	22.08.2021	დამცავი მილის დიამეტრი (მმ):	
დაწყების დრო:		146	0 - 0.0
დასრულების თარიღი:	22.08.2021	127	0.0 - 0.0
დასრულების დრო:		108	0.0 - 0.0
ბურდვის მეოდის: სკარენი ჰემისრულებელი გეოტექსილის: GTS საბურლი დანადგარი: URB 2a2 მბურდავი: ზ. ქაშაშვილი		ჭაბურლილის დამეტრი (მმ):	ჭაბურლილი №.: 7
		146	0 - 0.0
		127	0.0 - 3.0
		108	3.0 - 5.0
			განედი (მ): 479279.258 გრძედი (მ): 4622154.731 სიმაღლე (მ): 676.2



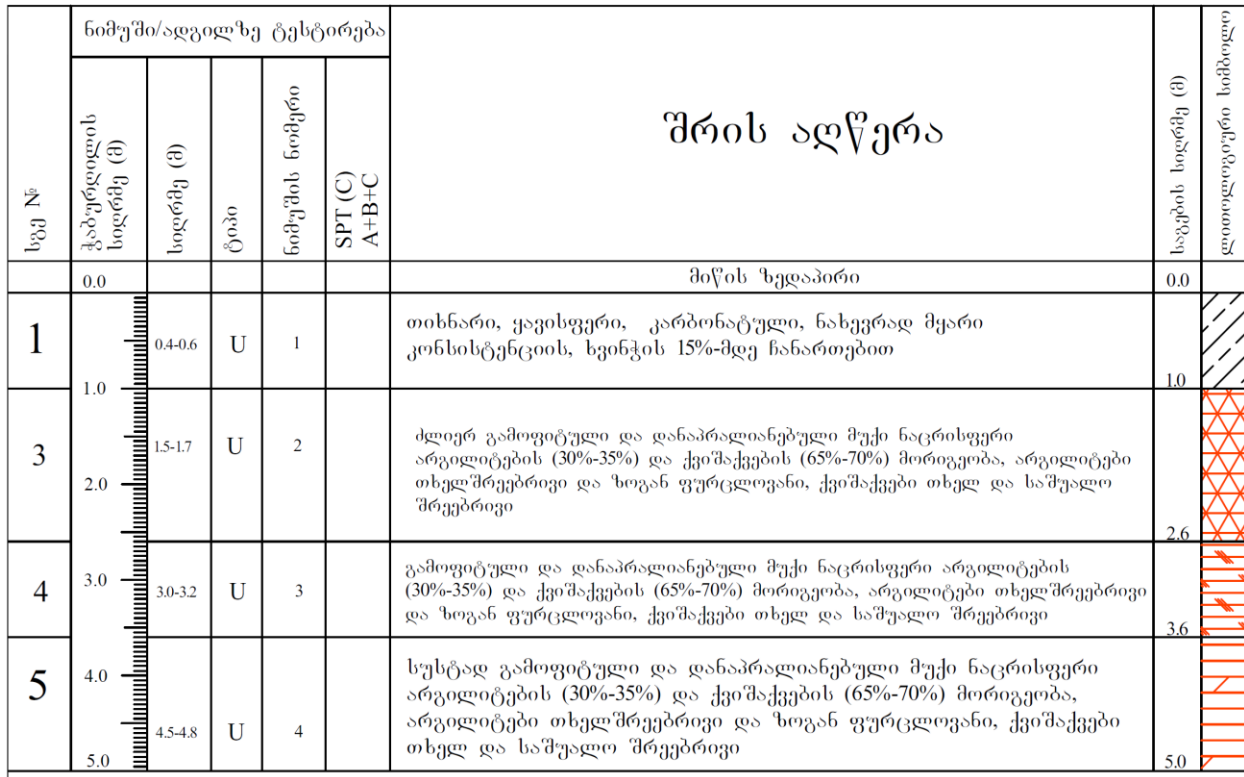
დაწების თარიღი:	22.08.2021	დამცავი მილის დამკეტი (მმ):	
დაწების დრო:	146	0 - 0.0	ჭიბურდილი №.: 8
დასრულების თარიღი:	22.08.04.2021	127	0.0 - 0.0
დასრულების დრო:	108	0.0 - 0.0	
პურდის შეითანა:	სკოტერი	ჭიბურდილის დამკეტი (მმ):	განედი (გ): 479219.884
შემსრულებელი გეოტექნიკის:	GTS	146	0 - 0.0
საბურდი დანადგარი:	URB 2a2	127	0.0 - 3.0
მშერდავი:	ს. ქაშიაშვილი	108	3.0 - 7.0
			გრძელი (გ): 4622235.378
			ხიმაღლებული (გ): 676.1

სტენოგრამის ნომერი	ნიმუში/ადგილზე ტესტირება	შრის აღწერა				სტენოგრამის ნომერი (პ)	დოკუმენტის ნომერი
		სტენოგრამის ნომერი (პ)	ტესტის დრო (მ)	ნიმუშის ნომერი	SPT (C) A+B+C		
0.0						მიწის ზედაპირი	0.0
2						დორდოვანი გრუნტი, საშუალო და წვრილი ზომის, ფავისფერი ნახევრა მქარი კარბონატული თიხნარის 30-40%-მდე შემავსებლით	0.5
3	1.0 2.5-2.7	U	1			ძლიერ გამოფიტული და დანაპრალიანებული მუქი ნაცრისფერი არგილიტების (30%-35%) და ქვიშაქვების (65%-70%) მორიგეობა, არგილიტები თხელშრებრივი და ზოგან ფურცლოვანი, ქვიშაქვები თხელ და საშუალო შრებრივი	1.8
4	2.0 3.0 2.5-2.7	U	2			გამოფიტული და დანაპრალიანებული მუქი ნაცრისფერი არგილიტების (30%-35%) და ქვიშაქვების (65%-70%) მორიგეობა, არგილიტები თხელშრებრივი და ზოგან ფურცლოვანი, ქვიშაქვები თხელ და საშუალო შრებრივი	4.8
5	5.0 6.0 7.0 2.5-2.7	U	31			სუსტად გამოფიტული და დანაპრალიანებული მუქი ნაცრისფერი არგილიტების (30%-35%) და ქვიშაქვების (65%-70%) მორიგეობა, არგილიტები თხელშრებრივი და ზოგან ფურცლოვანი, ქვიშაქვები თხელ და საშუალო შრებრივი	7.0

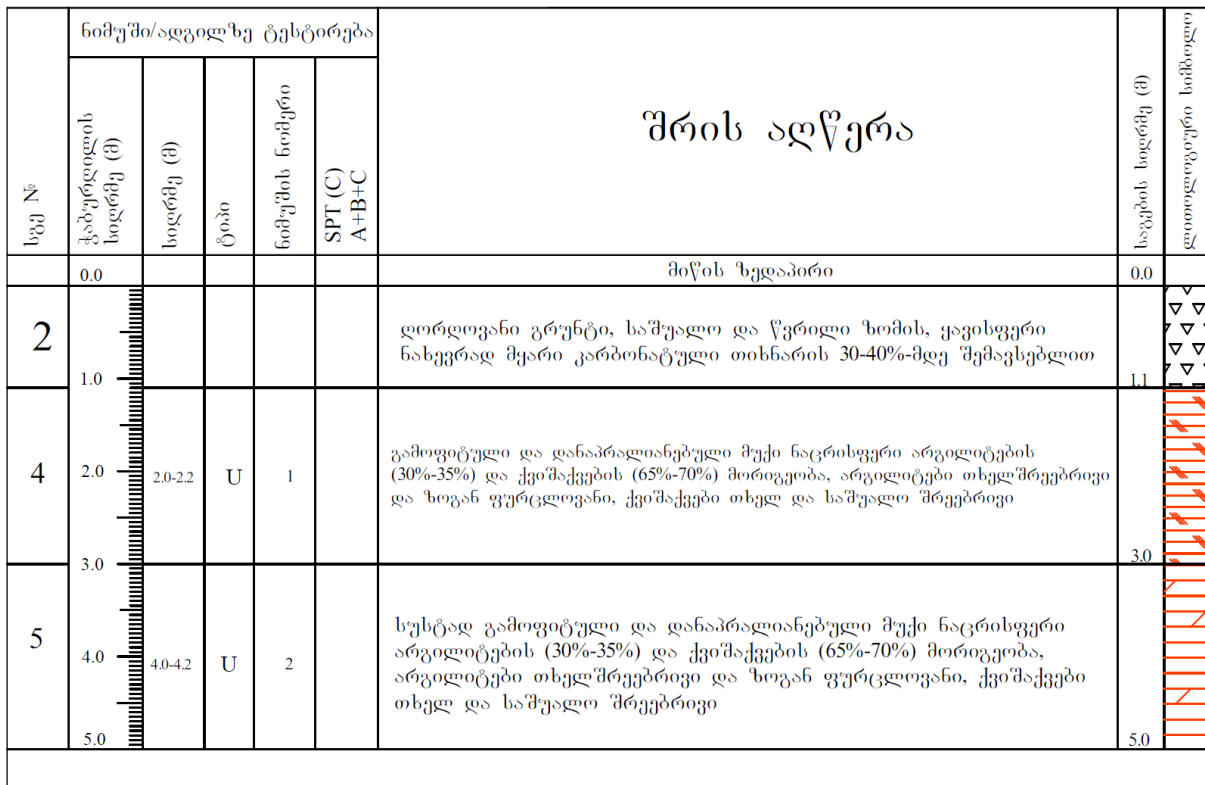
დაწევბის თარიღი:	25.11.2021	დამცავი მილის დიამეტრი (მმ):	
დაწევბის დრო:		146	0 - 0.0
დასრულების თარიღი:	25.11.2021	127	0.0 - 0.0
დასრულების დრო:		108	0.0 - 0.0
ბურლვის მეოთხე: სეეტური შემსრულებელი გეოტექნიკის: GTS საბურლი დაზღარი: URB 2a2 მბურლვი: ზ. ქაშიაშვილი		ჭაბურლილის დიამეტრი (მმ):	ჭაბურლილი №.: 9
		146	0 - 0.0
		127	0.0 - 3.0
		108	3.0 - 5.0
			განედი (მ): 479470.54 გრძელი (მ): 4622048.33 სიმაღლე (მ): 660.38



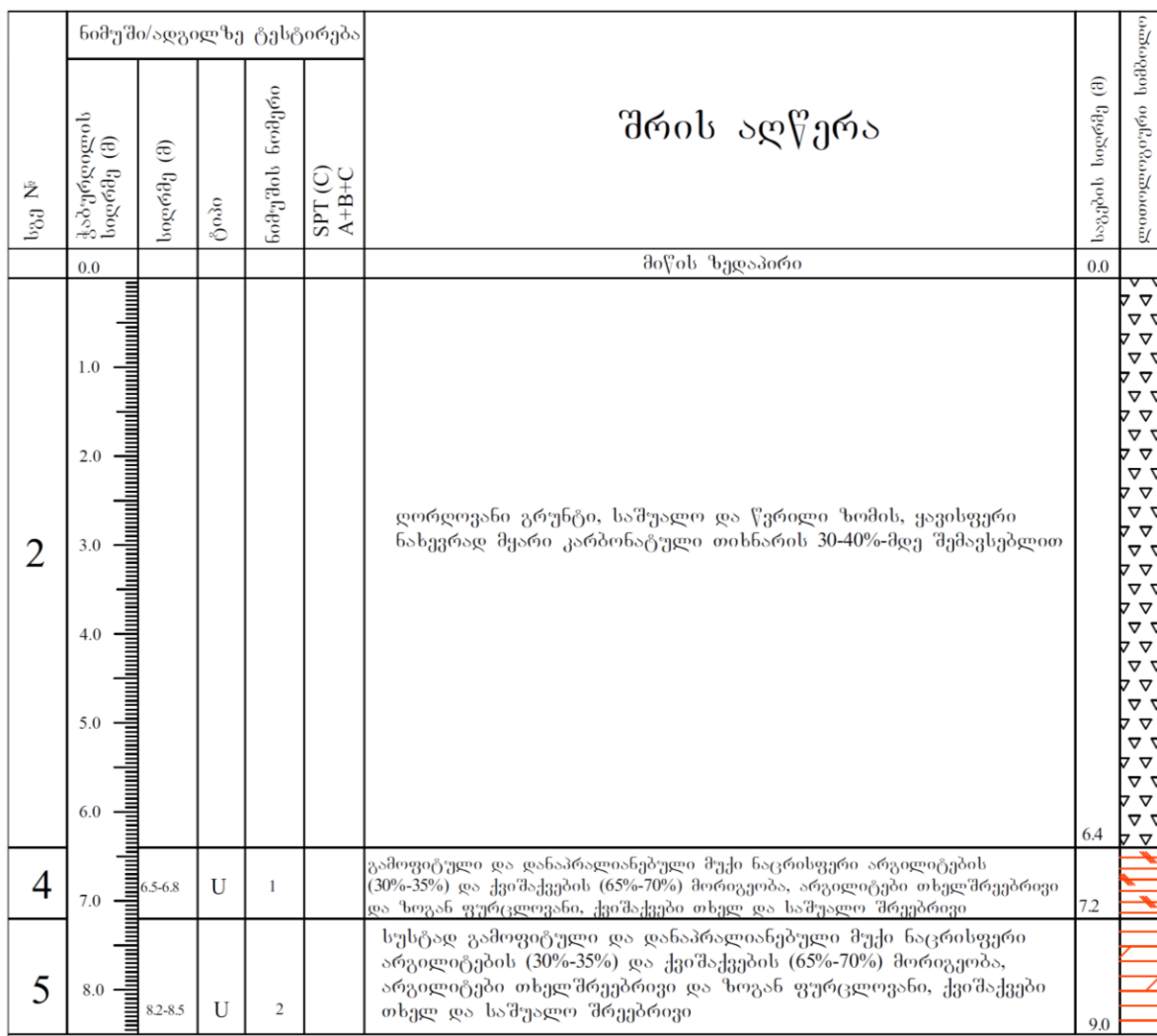
დაწყების თარიღი:	25.11.2021	დამკავი მილის დამეტრი (მმ):	
დაწყების დრო:		146	0 - 0.0
დასრულების თარიღი:	25.11.2021	127	0.0 - 0.0
დასრულების დრო:		108	0.0 - 0.0
ბურდების მეთოდი: სეპტური შემსრულებელი გეოტექნიკის: GTS საბურდი დანადგარი: URB 2a2 მბურდავი: ზ. ქაშიაშვილი		ჭაბურლის დამეტრი (მმ):	ჭაბურლის დამეტრი (მმ):
		146	0 - 0.0
		127	0.0 - 3.0
		108	3.0 - 5.0
		განედი (მ):	479368.03
		გრძედი (მ):	4622142.83
		სიმაღლე (მ):	660.91



დაწევბის თარიღი:	25.11.2021	დამცავი მილის დამტებრი (მმ):	
დაწევბის დრო:		146	0 - 0.0
დასრულების თარიღი:	25.11.2021	127	0.0 - 0.0
დასრულების დრო:		108	0.0 - 0.0
ბურლვის მეორე: სკეტური შემსრულებელი გეოტექნიკოსი: GTS საბურლი დანადგარი: URB 2a2 მაურდავი: №. ქაშაშვილი		ჭაბურლის დამტებრი (მმ):	
		146	0 - 0.0
		127	0.0 - 3.0
		108	3.0 - 5.0
		განედი (მ):	479258.25
		გრძედი (მ):	4622290.21
		სიმაღლე (მ):	656.03



დაწყების თარიღი: 26.11.2021 დაწყების დრო: დასრულების თარიღი: 26.11.2021 დასრულების დრო:	დამტკავი მილის დამეტერი (მმ): 146 0 - 0.0 127 0.0 - 0.0 108 0.0 - 0.0	ჭაბურლილი №.: 12
პურდვის მეორედი: სვეტური შემსრულებელი გეოტექნიკოსი: GTS საბურდი დანადგარი: URB 2a2 მბურდავი: ზ. ქაშაშვილი	ჭაბურლილის დამეტერი (მმ): 146 0 - 0.0 127 0.0 - 3.0 108 3.0 - 9.0	განედი (მ): 479597.21 გრძელი (მ): 4622043.49 სიმაღლე (მ): 634.0

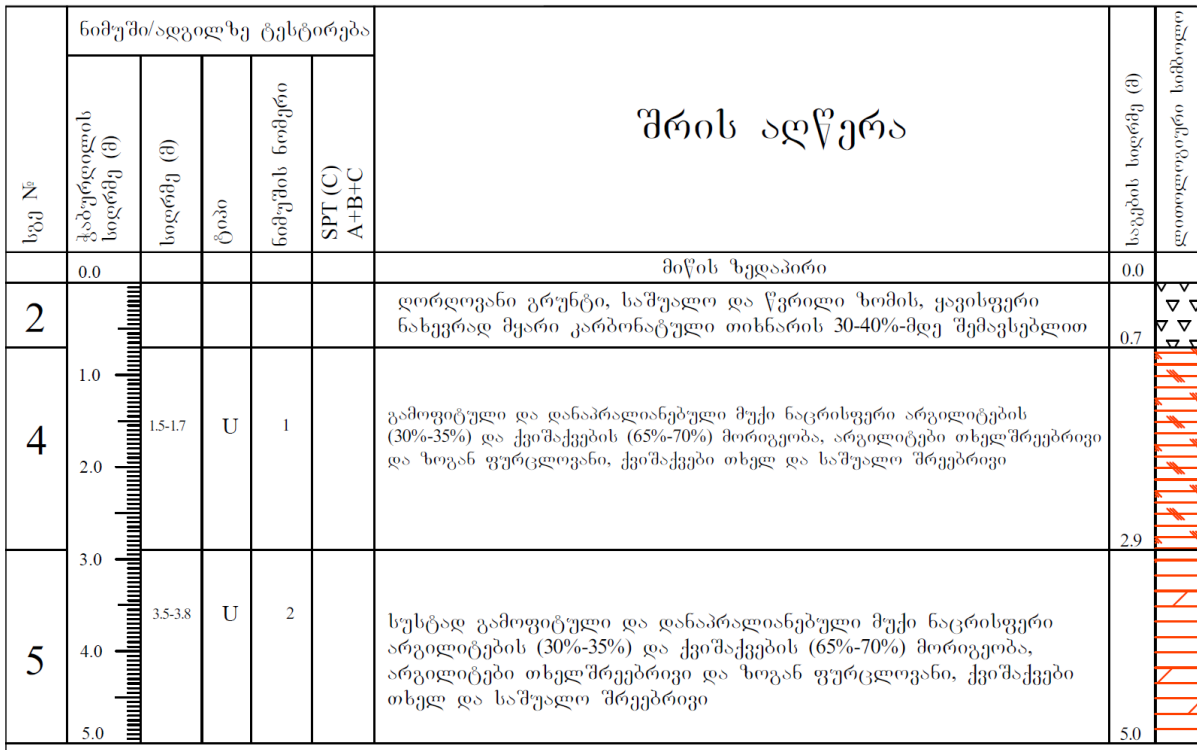


დაწყების თარიღი:	26.11.2021	დამცავი მილის დამკეტი (მმ):	
დაწყების დრო:		146	0 - 0.0
დასრულების თარიღი:	26.11.2021	127	0.0 - 0.0
დასრულების დრო:		108	0.0 - 0.0
ბურღვის მეოდი: სეტური შემსრულებელი გეოტექნიკოსი: GTS საბურღი დანადგარი: URB 2a2 მბურღავი: ზ. ქაშაშვილი		ჰაბურღლის დამკეტი (მმ):	
		146	0 - 0.0
		127	0.0 - 3.0
		108	3.0 - 5.0

13



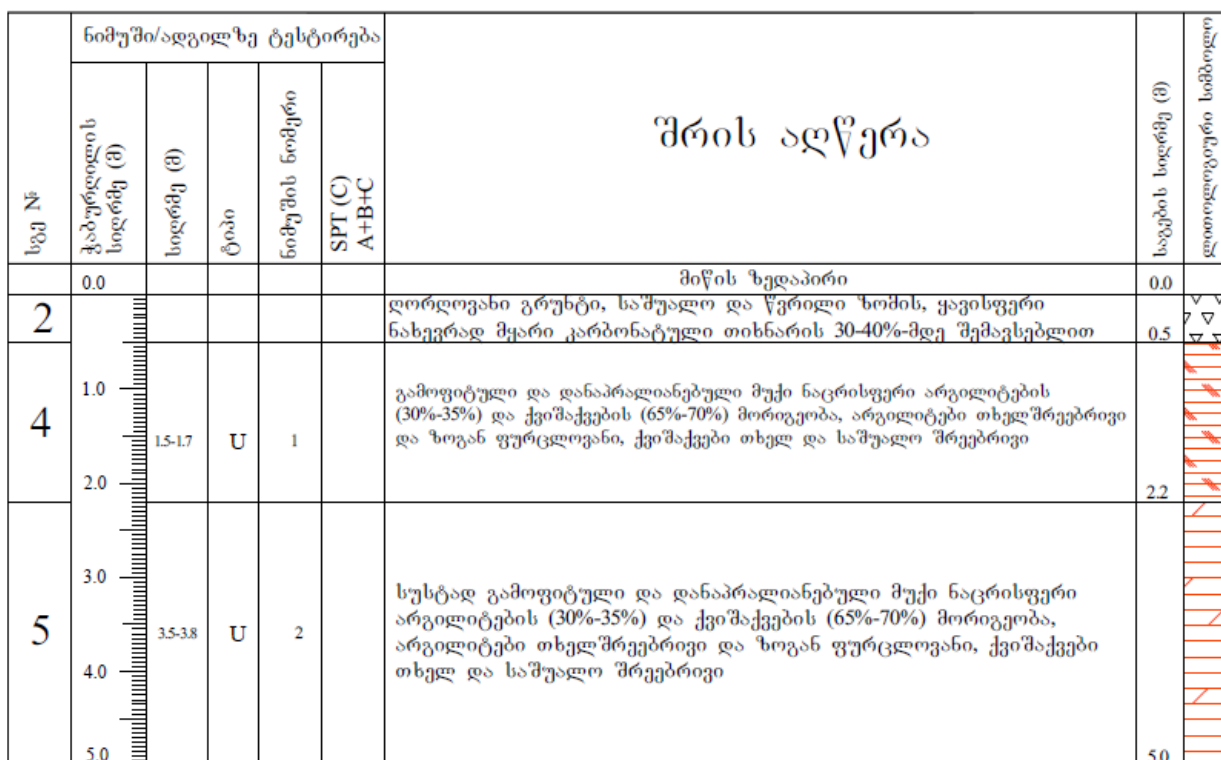
დაწესების თარიღი:	26.11.2021	დამცავი მილის დიამეტრი (მმ):	
დაწესების დრო:		146	0 - 0.0
დასრულების თარიღი:	26.11.2021	127	0.0 - 0.0
დასრულების დრო:		108	0.0 - 0.0
პურდვის მეთოდი: სვეტური შემსრულებელი გეოტექნიკისტი: GTS საბურდი დანადგარი: URB 2a2 მბურდავი: ზ. ქაშიაშვილი		ჭაბურდილის დიამეტრი (მმ):	ჭაბურდილი №.: 14
		146	0 - 0.0
		127	0.0 - 3.0
		108	3.0 - 5.0



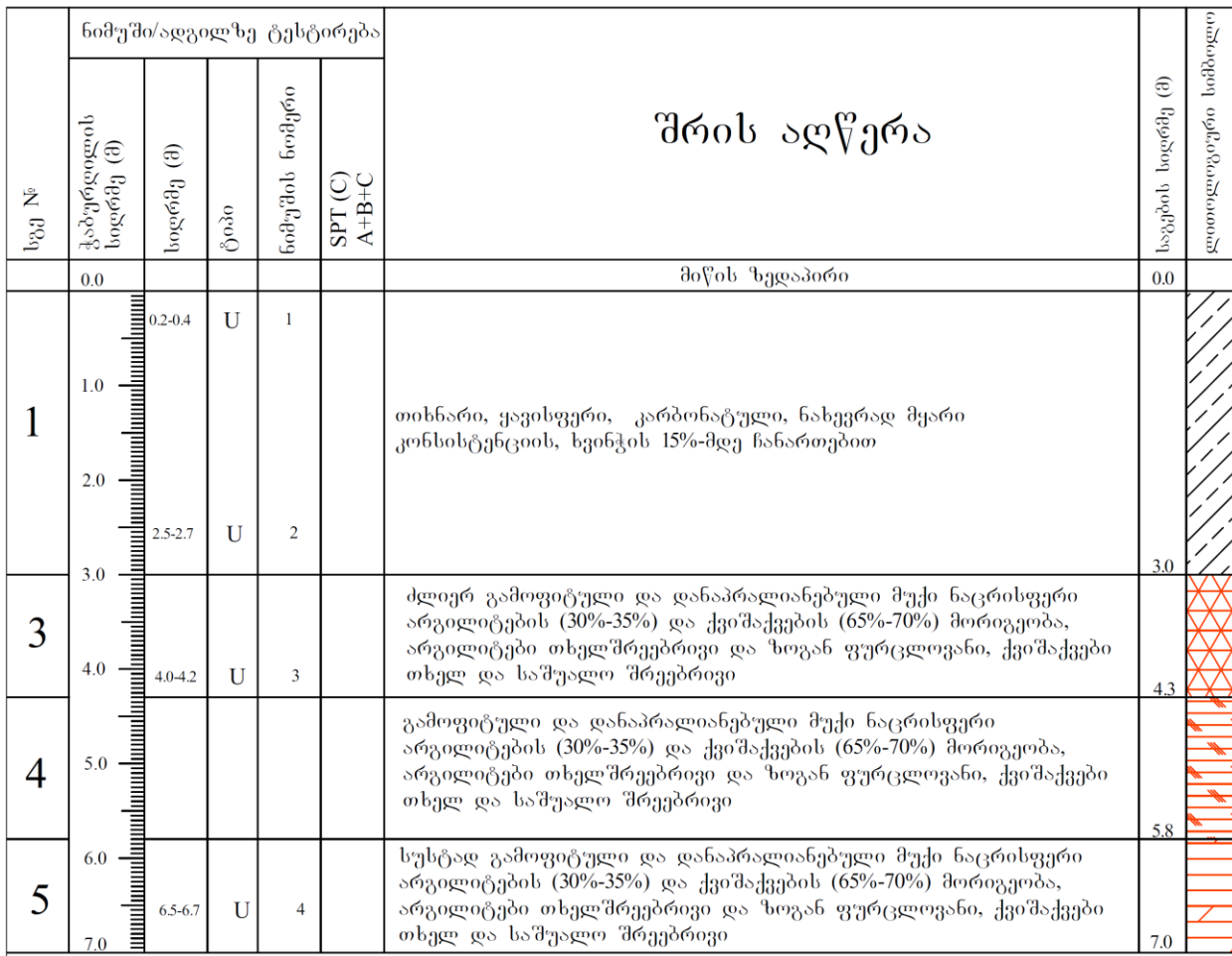
დაწესის თარიღი:	23.08.2021	დამცავი მილის დიამეტრი (მმ):	
დაწესის დრო:		146	0 - 0.0
დასრულების თარიღი:	23.08.04.2021	127	0.0 - 0.0
დასრულების დრო:		108	0.0 - 0.0
ბურდის მეთოდი: სვერული შემსრულებელი გეოტექნიკის: GTS საბურდი დანადგარი: URB 2a2 მბურდავი: ზ. ქაშაშვილი		ჭაბურდილის დიამეტრი (მმ):	ჭაბურდილი №.: 20
		146	0 - 0.0
		127	0.0 - 3.0
		108	3.0 - 7.0

სა.№	ნიმუში/აღილება ტესტირება					შრის აღწერა	საბურდის ხილებები (მ)	დასრულების ხილები (მ)
	ჭაბურდილის ხილებები (მ)	ხილებები (მ)	ტესტი	ნიმუშის ნიმუში	SPT (C) A+B+C			
	0.0					შრის ზედაპირი	0.0	
1	0.2-0.4	U	1			თიხნარი, ყავისფერი, ქარბონატული, ნახევრად მყარი კონსისტენციის, ხვინჭის 15%-მდე ჩანართებით	0.6	/\
2	1.0 1.0-1.2	D	2			დორდოვანი გრუნტი, საშუალო და წვრილი ზომის, ყავისფერი ნახევრად მყარი კარბონატული თიხნარის 30-40%-მდე შემავსებლით	1.8	▽▽▽▽
3	2.0 2.5-2.7	U	3			ძლიერ გამოფიტული და დანაპრალიანებული მუქი ნაცრისფერი არგილიტების (30%-35%) და ქვიშაქვების (65%-70%) მორიგეობა, არგილიტები თხელშრეებრივი და ზოგან ფურცლოვანი, ქვიშაქვები თხელ და საშუალო შრეებრივი	3.0	████████
4	4.0-4.2	U	4			გამოფიტული და დანაპრალიანებული მუქი ნაცრისფერი არგილიტების (30%-35%) და ქვიშაქვების (65%-70%) მორიგეობა, არგილიტები თხელშრეებრივი და ზოგან ფურცლოვანი, ქვიშაქვები თხელ და საშუალო შრეებრივი	4.7	████████
5	6.0 6.5-6.7	U	5			სუსტად გამოფიტული და დანაპრალიანებული მუქი ნაცრისფერი არგილიტების (30%-35%) და ქვიშაქვების (65%-70%) მორიგეობა, არგილიტები თხელშრეებრივი და ზოგან ფურცლოვანი, ქვიშაქვები თხელ და საშუალო შრეებრივი	7.0	████████

დაწყების თარიღი:	26.11.2021	დამცავი მილის დიამეტრი (მმ):	
დაწყების დრო:		146	0 - 0.0
დასრულების თარიღი:	26.11.2021	127	0.0 - 0.0
დასრულების დრო:		108	0.0 - 0.0
ბურლვის მეთოდი: სკეტური შემსრულებელი გეოტექნიკოსი: GTS საბურლი დანადგარი: URB 2a2 მპურლავი: ზ. ქაშაშვილი		ჭაბურლილის დიამეტრი (მმ):	ჭაბურლილი №.: 16
146	0 - 0.0	განედი (მ): 479537.33	
127	0.0 - 3.0	გრძედი (მ): 4622241.96	
108	3.0 - 5.0	სიმაღლე (მ): 612.80	



დაწესის თარიღი:	23.08.2021	დამცავი მილის დიამეტრი (მმ):	
დაწესის დრო:		146	0 - 0.0
დასრულების თარიღი:	23.08.04.2021	127	0.0 - 0.0
დასრულების დრო:		108	0.0 - 0.0
ბურდის მეოთხი: სვერული შემსრულებელი გეოტექნიკის: GTS საბურდი დანადგარი: URB 2a2 მტკრდავი: ზ. ქაშაშვილი		ჭაბურდილის დიამეტრი (მმ):	ჭაბურდილი №.: 24
		146	0 - 0.0
		127	0.0 - 3.0
		108	3.0 - 7.0



3.6 დანართი 6. შეთანხმება სს „თელასთან“



საქართველო, თბილისი 0119, ვანის ქ. 3
ტელ: +995 (32) 277 99 99
www.telasi.ge

ნომერი: 1108/333/21
თარიღი: 08/11/2021

სს „ლისი ლეიქ დეველოპმენტის“ (ს/ნ: 404857534)
უძრავი ქონების განვითარების დირექტორს
ბ-ნ სანდრო კაკალაშვილს (პ/ნ 01019067069)
მისამართი: ქ.თბილისი, ტირიფების ქ.2
საკონტაქტო ტელეფონი: 593 56 08 66

თქვენი ა/წ 27 ოქტომბრის წერილის პასუხად (სს „თელასში“ შემოსვლის № 1029/828/21), რომელიც ეხება ქ.თბილისში, ლისის ტბის მიმდებარედ მდებარე მიწის ნაკვეთებზე (ს/კ 01.10.18.005.062; 01.10.18.007.007; მოთხოვნილი სიმძლავრე - 798 კვტ.) დაგეგმილი მშენებლობის - ინდივიდუალური კერძო სახლების ელ.მომარაგების საკითხს, მინდა გაცნობოთ, რომ აღნიშნულ ტერიტორიაზე სს „თელასის“ ქსელიდან მითითებული სიმძლავრის მიწოდება შესაძლებელია. ასევე მინდა გაცნობოთ, რომ სს „თელასის“ მხრიდან ტექნიკური პირობა გაიცემა საქართველოს ენერგეტიკისა და წყალმომარაგების მარეგულირებელი ეროვნული კომისიის 2021 წლის 28 ივნისის #19 დადგენილებით განსაზღვრული წესით, სს „თელასისადმი“ სათანადო განაცხადით მომართვის შემდგომ.

პატივისცემით,

სს „თელასის“ ტექნიკური დირექტორის მ.შ.

ზვიად ვაშავიძე

შემსრ.

საწარმოო-ტექნიკური სამსახურის უფროსი

თეიმურაზ გამრეკელაშვილი

ტელ: 2779999 1-7882

3.7 დანართი 7. შეთანხმება შპს „თბილის ენერგიისთან“



თბილისი
ენერგეტიკი



მიცვევინის ქ. №18^ა, თბილისი 0194, საქართველო
+995 (32) 237 64 93; info@te.ge; www.te.ge

№ 02-13-92939-21
06 / 12 / 2021

სს „ლისი ლეიქ დეველოპმენტის“
უძრავი ქონების განვითარების დირექტორს
ბატონ სანდრო კაკალაშვილს

ბატონო სანდრო,

თქვენი მომდინარე წლის 24 ნოემბრის №02-13-92939-21 განცხადების პასუხად გაცნიბებთ,
რომ შპს „თბილისი ენერგია“ თანასმართული მითითებულ ტერიტორიაზე (ს/კ №01.10.18.005.062
და №01.10.18.007.007) წარმოდგენილი სქემის მიხედვით განხორციელდეს სამშენებლო
სამუშაოები შემდეგი პირობით:

1. აუცილებელია შექმნებლობის დაწყებამდე გაზსადენთან მიმართებაში შეზღუდვის ზონა
დაიტვირთოს სერვიტუტით;
2. საჭიროა მიღლადენის გადაკვეთა სხვადასხვა საკომუნიკაციო ქსელით (მათ შორის
საავტომობილო გზების (შემთხვევაში) განხორციელდეს არანაკლებ 45° კუთხით;
3. საავტომობილო გზების გადაკვეთის დროს მიღლადებზე უნდა მოეწყის შესაბამისი
დამცავი გარსაცმი;
4. დაუშენებელია ნაკვეთზე არსებულ D=500 მმ-იან მაღალი წნევის გაზსადენებზე
მრავალწლიანი ხე-ნარგავების დარგა, ასფალტ-ბეტონის საფარისა და ბეტონის
კონსტრუქციების მოწყიათ.

გთხოვთ, გაითვალისწინოთ რომ აღნიშნული თანხმობა ძალაში შევა მას შემდეგ, რაც
ტერიტორიაზე არსებული მიღლადენის შეზღუდვის ზონა, მათ შორის თქვენს მიერ
განაშნანიებულ ნაკვეთებზე (ს/კ №01.10.18.005.062; №01.10.18.004.047; №01.10.18.004.044;
№01.10.18.006.317; №01.10.18.006.207; №01.10.18.006.249; №01.10.18.007.049; №01.14.17.001.225;
№01.10.18.007.046; №01.10.18.007.047; №01.10.18.004.054; №01.10.18.004.046; №01.10.18.004.045;
№01.10.18.004.041; №01.10.18.004.043; №01.10.18.004.048; №01.10.18.004.042; №01.10.18.006.321;
№ 01.14.17.001.245) დაიტვირთება სერვიტუტით.

რაც შეეხა გაზიფიცირების საკითხს, ვინაიდან ტერიტორია მდებარეობს შპს „თბილისი
ენერგია“-ს მფლობელობაში არსებული გამანაწილებელი ქსელიდან 300 მეტრის რადიუსში,
საქართველოს ენერგეტიკისა და წყალმომარაგების მარეგულირებელი ეროვნული კომისიის 2009
წლის 9 ივნისის №12 დადგენილებით დამტკიცებული „ბუნქერივი გაზის მიწოდებისა და
მოხმარების წესები“ თანახმად, განწილების ლიცენზიანტი უზრუნველყოფს ასალი
მომხმარებლის (დაბალი წნევის, <0,005მპა) გამანაწილებელ ქსელზე მიერთებას წესებით
დადგენილი საფასურის და ვადების გათვალისწინებით, შესაბამისი განაცხადით მომართვის და
დადგენილი საფასურის ანაზღაურების შემდეგ.

პატივისცემით,

გიორგი თამაზაშვილი
დარექტორი ტექნიკურ საკითხებში

3.8 დანართი 8. შეთანხმება შპს „ჯორჯიან უოტერ ენდ ფაუნდი“-სთან



№ 0G21-0582932

D 7. 12. 2021

წყალარინების ტექნიკური პირობა

ტექნიკური პირობის მომთხოვნი: სს „ლისი ლეიქ დეველოპმენტი“

ობიექტის მისამართი: ლისის ტბის მიმდებარედ (ს.კ: #01.10.18.005.062; # 01.10.18.007.007

ობიექტის დანიშნულება: კერძო განაშენიანება

საკადასტრო ერთეულების წყალარინების ქსელი (დ=500/400/250 მმ) შესაძლებელია ჩაირთოს გონიაშვილის ქუჩაზე გამავალ 500 მმ დიამეტრის ქსელში, ჩაღრმავება 2,5 მ. წინამდებარე ტექნიკური პირობა მოქმედებს მისი გაცემიდან 2 (ორი) წლის ვადით.

პატივისცემით,

გიორგი სვანიშვილი

კომიტეტის დამსახური

შემს: მ.ცომია
ტ: 2 93 11 11 (1534)

შპს ჭორვილი უოტერ ენდ ფაუნდი

GEORGIAN WATER AND POWER LTD



მედეა (მზა) ტურელის ქ №10

ტელ / Tel: +995 (32) 293 11 11; ფაქსი / Fax: +995 (32) 298 26 07
საიდენტიფიკაციო კოდი 203826002

№10 Medea (Mzia) Jugeli str.

ელ-ფოსტა / E-mail: info@gwp.ge / www.gwp.ge
Identification Code 203826002